

วิธีการวิวัฒนาการโดยใช้ผลต่างสำหรับแก้ปัญหา  
การจัดสมดุลส่ายการประกอบแบบเส้นตรง ประเภทที่ 1

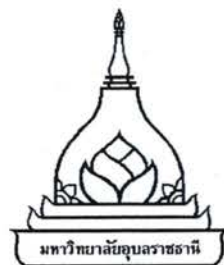
ภาณุกัณฑ์ ภาระเวช

วิทยานิพนธ์นี้เป็นส่วนหนึ่งของการศึกษาตามหลักสูตรปริญญาวิศวกรรมศาสตร์มหาบัณฑิต  
สาขาวิชาวิศวกรรมอุตสาหการ คณะวิศวกรรมศาสตร์

มหาวิทยาลัยอุบลราชธานี

พ.ศ. 2556

ลิขสิทธิ์เป็นของมหาวิทยาลัยอุบลราชธานี



**DIFFERENTIAL EVOLUTION ALGORITHM TO SOLVE SIMPLE  
ASSEMBLY LINE BALANCING PROBLEM TYPE 1**

**PANUPUN PARAWECH**

**A THESIS SUBMITTED IN PARTIAL FULFILLMENT OF THE REQUIREMENTS  
FOR THE DEGREE OF MASTER OF ENGINEERING  
MAJOR IN INDUSTRIAL ENGINEERING  
FACULTY OF ENGINEERING  
UBON RATCHATHANI UNIVERSITY  
YEAR 2013**

**COPYRIGHT OF UBON RATCHATHANI UNIVERSITY**



ในรับรองวิทยานิพนธ์  
มหาวิทยาลัยอุบลราชธานี  
ปริญญาวิศวกรรมศาสตรมหาบัณฑิต  
สาขาวิชาวิศวกรรมอุตสาหการ คณะวิศวกรรมศาสตร์

เรื่อง วิธีการวิวัฒนาการ โดยใช้ผลต่างสำหรับปัญหาการจัดสมดุลส่ายการประกอบแบบเส้นตรง  
ประเภทที่ 1

ผู้จัด นายภาณุกันท์ ภาระเวช

คณะกรรมการสอน

ผู้ช่วยศาสตราจารย์ ดร.สมบัติ สินธุเชawan

ประธานกรรมการ

รองศาสตราจารย์ ดร.ระพีพันธ์ ปิตาคະໂສ

กรรมการ

ดร.นพดล พงษ์ นันทสำเริง

กรรมการ

อาจารย์ที่ปรึกษา

(รองศาสตราจารย์ ดร.ระพีพันธ์ ปิตาคະໂສ)

(ผู้ช่วยศาสตราจารย์ ดร.นพ. แสงเทียน)

คณะศึกษาศาสตร์

.....

(รองศาสตราจารย์ ดร.อุทิศ อินทร์ประสิทธิ์)

รองอธิการบดีฝ่ายวิชาการ

ลิขสิทธิ์ของมหาวิทยาลัยอุบลราชธานี

ปีการศึกษา 2556

## กิตติกรรมประกาศ

วิทยานิพนธ์ฉบับนี้ สามารถสำเร็จลุล่วงได้เนื่องด้วยความช่วยเหลือและความกรุณา  
อย่างดีเยี่ยมจาก รองศาสตราจารย์ ดร. ระพีพันธ์ ปิตาคະໂສ อาจารย์ที่ปรึกษาวิทยานิพนธ์ รวมถึง  
ผู้ช่วยศาสตราจารย์ ดร. สมบัติ สินธุเชawan และ ดร. นัทธพงศ์ นันทสำเริง คณะกรรมการสอบ  
วิทยานิพนธ์ ที่กรุณาสละเวลาอันมีค่าสั่งสอนและช่วยเหลือให้คำแนะนำนำเสนอข้อคิดเห็น  
ข้อมูลพร่องที่เป็นประโยชน์ ในการทำวิทยานิพนธ์ฉบับนี้จนสำเร็จลงได้ด้วยดี ผู้วิจัยจึง  
ขอขอบพระคุณท่านอาจารย์ ทุกท่านเป็นอย่างสูง ๆ โอกาสนี้

นอกจากนี้ข้าพเจ้าขอขอบพระคุณกลุ่ม Metaheuristics for Logistics Optimization  
Laboratory ที่มี รองศาสตราจารย์ ดร. ระพีพันธ์ ปิตาคະໂສ เป็นที่ปรึกษา ซึ่งได้ช่วยเหลือให้  
ดำเนินการต่างๆ เป็นอย่างดีเสมอมาทุกท่าน รวมถึง โรงงานกรณีศึกษาที่เอื้อเฟื้อข้อมูลและสถานที่ใน  
การเก็บข้อมูลและให้การสนับสนุนเป็นอย่างดี

ขอขอบพระคุณบิรา มารดาและภรรยา ที่ได้ให้การสนับสนุนทุนการศึกษา ดำเนินการ  
และกำลังใจแก่ข้าพเจ้าเสมอมาจนสำเร็จการศึกษา ท้ายนี้ผู้วิจัยหวังว่า วิทยานิพนธ์ฉบับนี้จะเป็น  
ประโยชน์สำหรับผู้ที่สนใจทุกท่าน ในการนำข้อมูลไปใช้ให้เกิดประโยชน์ต่างๆ



( นายภานุกัณฑ์ ภาระเวช )

ผู้วิจัย

## บทคัดย่อ

**ชื่อเรื่อง :** วิธีการวิวัฒนาการ โดยใช้ผลต่างสำหรับแก้ปัญหาการจัดสมดุลสายการประกอบแบบเส้นตรงประเภทที่ 1

**โดย :** ภาณุภัณฑ์ ภาระเวช

**ชื่อปริญญา :** วิศวกรรมศาสตรมหาบัณฑิต

**สาขาวิชา :** วิศวกรรมอุตสาหการ

**ประธานกรรมการที่ปรึกษา :** รองศาสตราจารย์ ดร. ระพีพันธ์ ปิตาภรณ์

**คำที่สำคัญ :** การจัดสมดุลสายการประกอบแบบเส้นตรงประเภทที่ 1

วิธีการวิวัฒนาการ โดยใช้ผลต่าง

งานวิจัยฉบับนี้นำเสนอวิธีการวิวัฒนาการ โดยใช้ผลต่าง (Differential Evolution: DE) เพื่อเพิ่มประสิทธิภาพสายการประกอบแบบเส้นตรง โดยมีวัตถุประสงค์เพื่อหาจำนวนสถานีงาน น้อยที่สุด จึงจัดเป็นปัญหาการจัดสมดุลสายการประกอบแบบเส้นตรงประเภทที่ 1 (Simple Assembly Line Balancing Problem Type 1: SALBP-1) ซึ่งวิธีการวิวัฒนาการ โดยใช้ผลต่าง จะทำการสร้างเวลาเทอร์ริ่มตันโดยการสุ่มจำนวนจริง จากนั้นจะทำการปรับปรุงค่าตอบโดยการปรับเปลี่ยนพิกัด แลกเปลี่ยนพิกัด และทำการคัดเลือก โดยงานวิจัยนี้ได้ประยุกต์ใช้วิธีปรับเปลี่ยนพิกัด 3 วิธีคือ “DE/rand”, “DE/Best/1” และ “DE/rand-to-best/1” มาใช้ร่วมกับวิธีแลกเปลี่ยนพิกัด 2 วิธี คือ Binomial Crossover และ Exponential Crossover 2 Position ในการจัดสมดุลสายการประกอบแบบเส้นตรงประเภทที่ 1 สำหรับชุดปัญหาของ Talbot สามารถพบค่าตอบที่ดีที่สุดครบถ้วน 64 ปัญหา สำหรับชุดปัญหาของ Scholl สามารถพบค่าตอบที่ดีที่สุด 100 ปัญหา จาก 168 ปัญหา และปัญหารณีศึกษา สามารถลดค่าตอบที่ดีที่สุด 13 สถานี จาก 19 สถานี ซึ่งจากการทดลองพบว่า สำหรับปัญหาที่มีขนาดใหญ่และมีความซับซ้อนของปัญหามาก การนำวิธี “DE/rand-to-best/1” มาใช้ร่วมกับวิธี Exponential Crossover 2 Position มีประสิทธิภาพมากที่สุด

## ABSTRACT

PTITLE : DIFFERENTIAL EVOLUTION ALGORITHM TO SOLVE SIMPLE ASSEMBLY LINE BALANCING PROBLEM TYPE 1

BY : PANUPUN PARAWECH

DEGREE : MASTER ENGINEERING

MAJOR : INDUSTRIAL ENGINEERING

CHAIR : ASSOC. PROF.RAPEERAN PITAKASO, Ph.D.

KEYWORDS : SIMPLE ASSEMBLY LINE BALANCING PROBLEM TYPE 1

DIFFERENTIAL EVOLUTION

This thesis presents differential evolution (DE) for enhancing simple assembly line balancing efficiency. We aimed to obtain minimum workstations ( $m$ ); thus, this problem is categorized as simple assembly line balancing problem type 1 (SALBP-1). The algorithm will begin by randomly generation initial vector from real numbers, then optimizing the obtained vectors by mutation, crossover, and selection. In this thesis, we applied 3 mutation methods: “DE/rand”, “DE/Best/1”, and “DE/rand-to-best/1” accompanied by 2 crossover methods: Binomial Crossover and Exponential Crossover 2 Position. Our simple assembly line balancing problem type 1 (SALBP-1) gets optimized results from all of 64 problems from data set of Talbot’s problems, 100 of 168 from data set of scholl’s problems. In a case study, we can minimize workstations from 19 to 13. From the experiments, we found that large-scaled problems were efficiently solved by an application of “DE/rand-to-best/1” together with Exponential Crossover 2 Position.

## สารบัญ

|   | หน้า |
|---|------|
| กิตติกรรมประกาศ   | ก    |
| บทคัดย่อภาษาไทย   | ข    |
| บทคัดย่อภาษาอังกฤษ  | ค    |
| สารบัญ  | ง    |
| สารบัญตาราง   | ช    |
| สารบัญภาพ   | ฉ    |
| บทที่   | ณ    |
| <b>1 บทนำ</b>   |      |
| 1.1 ความเป็นมาและความสำคัญของปัญหา  | 1    |
| 1.2 วัตถุประสงค์  | 2    |
| 1.3 สมมุติฐานของการวิจัย  | 2    |
| 1.4 ขอบเขตของการวิจัย   | 3    |
| 1.5 ขั้นตอนการดำเนินการวิจัย  | 3    |
| 1.6 ประโยชน์ที่ได้รับจากการวิจัย  | 3    |
| 1.7 ระยะเวลาการดำเนินการวิจัย   | 4    |
| <b>2 ทฤษฎีและงานวิจัยที่เกี่ยวข้อง</b>  |      |
| 2.1 การผลิต   | 5    |
| 2.1.1 แบ่งประเภทตามลักษณะระบบการผลิต  | 5    |
| 2.1.2 แบ่งประเภทตามลักษณะกระบวนการผลิต  | 6    |
| 2.1.3 แบ่งประเภทตามจำนวนชนิดของสินค้า   | 7    |
| 2.2 หลักการและทฤษฎีที่เกี่ยวข้องกับการจัดสมดุลสายการประกอบ                                      | 9    |
| 2.2.1 การจัดสมดุลสายการประกอบ (Assembly Line Balancing) 9                                       | 9    |
| 2.2.2 ประเภทของปัญหาการจัดสมดุลสายการประกอบ   | 11   |
| 2.2.3 ปัญหาการจัดสมดุลสายการประกอบแบบเส้นตรง<br>(Simple Assembly Line Balancing Problem: SALBP) | 11   |

## สารบัญ (ต่อ)

| หน้า   |    |
|--|----|
| 2.2.4 ปัญหาการจัดสมดุลสายการประกอบแบบทั่วไป<br>(General Assembly Line Balancing Problem: GALBP)          | 12 |
| 2.3 งานวิจัยที่เกี่ยวข้องกับการจัดสมดุลสายการประกอบ  | 14 |
| 2.4 ทฤษฎีที่เกี่ยวข้องกับวิธีการวิวัฒนาการ โดยใช้ผลต่าง  | 21 |
| 2.5 งานวิจัยที่เกี่ยวข้องกับวิธีการวิวัฒนาการ โดยใช้ผลต่าง   | 22 |
| <b>3 วิธีดำเนินการวิจัย</b>  |    |
| 3.1 ขั้นตอนการดำเนินงานวิจัย   | 24 |
| 3.2 ศึกษาปัญหา SALBP-1 ของโรงงานกรณีศึกษา  | 25 |
| 3.3 ศึกษาทฤษฎีและงานวิจัยที่เกี่ยวข้อง   | 25 |
| 3.4 ปรับปรุงและพัฒนาวิธีการปรับปรุงคำตอบ<br>ของวิธีการวิวัฒนาการ โดยใช้ผลต่าง                            | 26 |
| 3.5 ทดสอบและเปรียบเทียบวิธีการปรับปรุงคำตอบ<br>ของวิธีการวิวัฒนาการ โดยใช้ผลต่าง                         | 26 |
| 3.6 สรุปและวิเคราะห์ผลการทดลอง   | 27 |
| <b>4 วิธีการวิวัฒนาการโดยใช้ผลต่างสำหรับการจัดสมดุลสายการประกอบ</b>                                      |    |
| <b>แบบเลียนประเภทที่ 1</b>   |    |
| 4.1 “DE/rand” ร่วมกับ Binomial crossover   | 30 |
| 4.2 “DE/Best/1” ร่วมกับ Binomial crossover   | 35 |
| 4.3 “DE/rand-to-best/1” ร่วมกับ Binomial crossover   | 38 |
| 4.4 “DE/rand/” ร่วมกับ Exponential crossover 2 position  | 40 |
| 4.5 “DE/Best/1” ร่วมกับ Exponential crossover 2 position   | 42 |
| 4.6 “DE/rand-to-best/1” ร่วมกับ Exponential crossover 2 position   | 44 |
| 4.7 ผลการทดลองวิธีการวิวัฒนาการ โดยใช้ผลต่างสำหรับชุดปัญหา<br>การจัดสมดุลสายการประกอบแบบเลียนประเภทที่ 1 | 46 |
| 4.7.1 ชุดปัญหาของ Talbot   | 46 |
| 4.7.2 ชุดปัญหาของ Scholl   | 49 |

## สารบัญ (ต่อ)

|   | หน้า |
|---|------|
| <b>5 วิธีการวิัฒนาการโดยใช้ผลต่างสำหรับการจัดสมดุลสายการประกอบกรณีศึกษา</b>             |      |
| 5.1 กรณีศึกษา   | 57   |
| 5.2 ผลการทดลองวิธีการวิัฒนาการโดยใช้ผลต่างสำหรับปัญหาการจัดสมดุลสายการประกอบกรณีศึกษา   | 60   |
| <b>6 สรุปผลการวิจัย</b>   |      |
| 6.1 เปรียบเทียบวิธีการวิัฒนาการโดยใช้ผลต่างที่ประยุกต์ขึ้นโดยทดลองกับชุดปัญหาของ Talbot | 64   |
| 6.2 เปรียบเทียบวิธีการวิัฒนาการโดยใช้ผลต่างที่ประยุกต์ขึ้นโดยทดลองกับชุดปัญหาของ Scholl | 66   |
| 6.3 เปรียบเทียบวิธีการวิัฒนาการโดยใช้ผลต่างที่ประยุกต์ขึ้นโดยทดลองกับปัญหากรณีศึกษา     | 67   |
| 6.4 สรุปผลการวิจัย  | 69   |
| <b>เอกสารอ้างอิง</b>  | 72   |
| <b>ภาคผนวก</b>  | 76   |
| <b>ประวัติผู้วิจัย</b>  | 83   |

## สารบัญตาราง

| ตารางที่   | หน้า |
|--|------|
| 1.1 แผนการดำเนินการวิจัย   | 4    |
| 4.1 ผลการสร้างคำตอนเริ่มต้นของปัญหา โดยกำหนดให้มี 5 เวกเตอร์   | 30   |
| 4.2 ผลการ Mutation เวกเตอร์ที่ 1 โดยใช้วิธี “DE/rand”  | 32   |
| 4.3 ผลการ Binomial crossover เวกเตอร์ที่ 1 ที่ใช้ร่วมกับวิธี “DE/rand”   | 33   |
| 4.4 ผลการจัดสมดุลสายการประกอบโดยใช้ค่า Trial Vector จากตารางที่ 4.3  | 33   |
| 4.5 ผลการเปรียบเทียบเวลาที่พนคำตอนที่ดีที่สุดระหว่างการเลือก Trial Vector<br>หรือ Target Vector เป็นประชากรในรุ่นต่อไป | 34   |
| 4.6 ผลการ Mutation เวกเตอร์ที่ 1 โดยใช้วิธี “DE/Best/1”  | 36   |
| 4.7 ผลการ Binomial crossover เวกเตอร์ที่ 1 ที่ใช้ร่วมกับวิธี “DE/best/1”   | 37   |
| 4.8 ผลการจัดสมดุลสายการประกอบโดยใช้ค่า Trial Vector จากตารางที่ 4.7  | 37   |
| 4.9 ผลการ Mutation เวกเตอร์ที่ 1 โดยใช้วิธี “DE/rand-to-best/1”  | 38   |
| 4.10 ผลการ Binomial crossover เวกเตอร์ที่ 1 ที่ใช้ร่วมกับ<br>วิธี “DE/rand-to-best/1”                                  | 39   |
| 4.11 ผลการจัดสมดุลสายการประกอบโดยใช้ค่า Trial Vector จากตารางที่ 4.10  | 40   |
| 4.12 ผลการ Exponential crossover 2 position เวกเตอร์ที่ 1 ที่ใช้ร่วมกับ<br>วิธี “DE/rand”                              | 41   |
| 4.13 ผลการจัดสมดุลสายการประกอบโดยใช้ค่า Trial Vector จากตารางที่ 4.12  | 42   |
| 4.14 ผลการ Exponential crossover 2 position เวกเตอร์ที่ 1 ที่ใช้ร่วมกับ<br>วิธี “DE/Best/1”                            | 43   |
| 4.15 ผลการจัดสมดุลสายการประกอบโดยใช้ค่า Trial Vector จากตารางที่ 4.14  | 43   |
| 4.16 ผลการ Exponential crossover 2 position เวกเตอร์ที่ 1 ที่ใช้ร่วมกับ<br>วิธี “DE/rand-to-best/1”                    | 44   |
| 4.17 ผลการจัดสมดุลสายการประกอบโดยใช้ค่า Trial Vector จากตารางที่ 4.16  | 45   |
| 4.18 ผลเปรียบเทียบระหว่างทั้ง 6 วิธีสำหรับชุดปัญหาของ Talbot   | 47   |
| 4.19 ผลการจัดจัดสมดุลสายการประกอบชุดปัญหาของ Scholl ของทั้ง 6 วิธี   | 50   |

## สารบัญตาราง (ต่อ)

| ตารางที่   | หน้า |
|--|------|
| 5.1 เวลาและลำดับงานก่อนหลังแต่ละขั้นตอนงานของสายการผลิตกรณีศึกษา             | 59   |
| 5.2 สถานีงานของสายการประกอบกรณีศึกษาก่อนปรับปรุง                             | 60   |
| 5.3 ผลการจัดสมดุลสายการประกอบกรณีศึกษาด้วย<br>วิธีการวิจัยและการโดยใช้ผลต่าง | 61   |
| 5.4 ผลเบริกเทียนเวลาระหว่าง 6 วิชี ที่พนักงานต้องที่เหมาะสม                  | 62   |
| 6.1 จำนวนปัญหาที่พนักงานต้องที่ดีที่สุดในเวลาที่เร็วที่สุดระหว่างทั้ง 6 วิชี | 65   |
| 6.2 จำนวนปัญหาที่มีผลต้องที่ดีกว่าในระหว่างทั้ง 6 วิชี                       | 66   |
| 6.3 เวลาเฉลี่ยที่พนักงานต้องที่ 13 สถานี ระหว่างทั้ง 6 วิชี                  | 68   |
| ผ.1 ผลการทดลองหาค่า Weighting Factor (F) ที่เหมาะสม                          | 77   |
| ผ.2 ผลการทดลองหาค่า Crossover rate (Cr) ที่เหมาะสม                           | 79   |
| ผ.3 ผลการทดลองหาค่า Number population (Np) ที่เหมาะสม                        | 81   |

## สารบัญภาพ

| ภาพที่  | หน้า |
|---|------|
| 2.1 การผลิตแบบต่อเนื่อง   | 6    |
| 2.2 สาขาระบกอนที่แบ่งกระบวนการผลิตตามจำนวนชนิดของสินค้า   | 7    |
| 2.3 สาขาระบกอนเข็นเดือผ้าโรงงานกรณีศึกษาเป็นการผลิตแบบสินค้าชนิดเดียว   | 8    |
| 2.4 สาขาระบกอนชั้นส่วนเครื่องปรับอากาศเป็นการผลิตแบบสินค้าหลายชนิด  | 8    |
| 2.5 สาขาระบกอนเครื่องปรับอากาศที่มีความหลากหลายของรุ่น<br>เป็นการผลิตสินค้าแบบผสม   | 8    |
| 2.6 แผนภาพลำดับงานก่อน-หลัง   | 10   |
| 2.7 ประเภทของปัญหาการจัดสมดุลสายการประกอบ   | 11   |
| 2.8 ตัวอย่างการจัดสมดุลสายการประกอบแบบเส้นตรงและการคำนวณประสิทธิภาพ   | 13   |
| 3.1 ลำดับขั้นตอนดำเนินงานวิจัย  | 24   |
| 4.1 Flow chart ขั้นตอนการทำงานของวิธีการวิพัฒนาการ โดยใช้ผลต่าง   | 29   |
| 4.2 แผนภาพลำดับงานก่อน-หลังของปัญหาตัวอย่าง   | 30   |
| 5.1 แผนภาพลำดับงานก่อนหลังของปัญหาการจัดสมดุลสายการประกอบกรณีศึกษา  | 58   |
| 5.2 กราฟแสดงเวลาที่พนักงานที่ดีที่สุดสำหรับปัญหากรณีศึกษาของ ห้อง 6 วิชี  | 63   |
| 6.1 เปรียบเทียบผลกระทบว่างวิธีการวิพัฒนาการ โดยใช้ผลต่างที่ผู้วิจัย กับ Andreas<br>นำเสนอดำรงชุดปัญหาของ Talbot                       | 64   |
| 6.2 เปรียบเทียบจำนวนปัญหาที่พนักงานที่ดีที่สุดในเวลาที่เร็วที่สุดระหว่างห้อง 6 วิชี   | 65   |
| 6.3 เปรียบเทียบผลกระทบว่างวิธีการวิพัฒนาการ โดยใช้ผลต่างของผู้วิจัย<br>กับวิธีเดิมแบบการอบอ่อนที่ Predro นำเสนอดำรงชุดปัญหาของ Scholl | 66   |
| 6.4 เปรียบเทียบจำนวนปัญหาที่มีผลพนักงานที่ดีกว่าในระหว่างห้อง 6 วิชี  | 67   |
| 6.5 จำนวนสถานีงานของปัญหากรณีศึกษาก่อนและหลังการปรับปรุง<br>ด้วยวิธีการวิพัฒนาการ โดยใช้ผลต่าง  | 68   |
| 6.6 เปรียบเทียบเวลาเฉลี่ยที่ใช้ในการค้นพนักงานที่ 13 สถานี ระหว่างห้อง 6 วิชี   | 68   |

### สารบัญภาพ (ต่อ)

| ภาพที่  | หน้า |
|---|------|
| ผ.1 ผลวิธีการทางสถิติ Two-way ANOVA ของการหาค่า F ที่เหมาะสม  | 78   |
| ผ.2 กราฟแสดงเวลาเฉลี่ยของค่า F แต่ละค่า                       | 78   |
| ผ.3 ผลวิธีการทางสถิติ Two-way ANOVA ของการหาค่า Cr ที่เหมาะสม | 80   |
| ผ.4 กราฟแสดงเวลาเฉลี่ยของค่า Cr แต่ละค่า                      | 80   |
| ผ.5 ผลวิธีการทางสถิติ Two-way ANOVA ของการหาค่า Np ที่เหมาะสม | 82   |
| ผ.6 กราฟแสดงเวลาเฉลี่ยของค่า Np แต่ละค่า                      | 82   |

## บทที่ 1

### บทนำ

#### 1.1 ความเป็นมาและความสำคัญของปัญหา

ในสภาพปัจจุบันธุรกิจในอุตสาหกรรมมีการแข่งขันสูงขึ้นเพื่อตอบสนองความต้องการของลูกค้า โดยเฉพาะในปี พ.ศ. 2558 ที่จะมีก่อตั้งประชาคมอาเซียน (Asean Economic Community: AEC) ซึ่งจะทำให้โรงงานอุตสาหกรรมประสบกับปัจจัยความเสี่ยงต่างๆ ไม่ว่าจะเป็นต้นทุนการผลิตที่เพิ่มขึ้น ค่าเงินบาทที่มีการเปลี่ยนแปลงอยู่ตลอดเวลา ค่าขนส่ง รวมถึงค่าแรงขั้นต่ำในประเทศไทยที่ปรับตัวสูงขึ้น จึงทำให้เกิดค่าใช้จ่ายจากประเทศเพื่อนบ้านที่มีค่าแรงต่ำกว่า เช่น เวียดนาม พม่า กัมพูชา ดังนั้นองค์กรที่มีการบริหารจัดการที่ดีย่อมได้เปรียบทางการค้าและคู่แข่งมากกว่า ซึ่งในโรงงานอุตสาหกรรมนั้นกระบวนการผลิตในสายงานการประกอบถือเป็นกิจกรรมหลักขององค์กรที่ก่อให้เกิดมูลค่า การจัดสมดุลสายการประกอบในกระบวนการผลิตที่ดีย่อมส่งผลให้องค์กรมีประสิทธิภาพ สามารถตอบสนองความต้องการของลูกค้าและลดต้นทุนให้กับองค์กร

การจัดสมดุลสายการประกอบ คือ การกำหนดขั้นตอนงานให้กับแต่ละสถานีงาน โดยมีเงื่อนไขให้เวลาในแต่ละสถานีงานต้องไม่เกินรอบเวลาการผลิต (Cycle Time) และไม่ขาดต่อลำดับ ความสัมพันธ์ก่อน-หลัง ซึ่งการจัดสมดุลสายการประกอบที่มีประสิทธิภาพนั้นสามารถทำให้ไม่เกิดคอกห杵และเวลาว่างงานในสายการผลิต รวมถึงใช้เวลาในการผลิตที่สั้นกว่าทำให้สามารถลดต้นทุนการผลิตในองค์กรที่ก่อให้เกิดมูลค่า ผู้วิจัยจึงเลือกศึกษาสายการผลิตเสื้อแจ็คเก็ตเด็กในโรงงานกรณีศึกษาแห่งหนึ่งในจังหวัดอุบลราชธานี ซึ่งเป็นสายการผลิตที่มีประสิทธิภาพต่ำผลิตสินค้าไม่ได้ตามเป้าหมายที่ลูกค้าต้องการและพบว่ามีระบบการผลิตแบบต่อเนื่องและสายการผลิตเป็นแบบเส้นตรงที่มีขั้นตอนงาน 52 งาน มีรอบเวลาการผลิต 2.95 นาที จึงจัดเป็นปัญหาการจัดสมดุลสายการประกอบแบบเส้นตรงประเภทที่ 1 (Simple Assembly Line Balancing Problem Type 1: SALBP-1)

จากการทบทวนงานวิจัยที่เกี่ยวข้องพบว่าวิธีการเชิงพันธุกรรม (Genetic Algorithm: GA) เป็นวิธีที่มีผู้วิจัยนิยมนำมาใช้อย่างแพร่หลายกับปัญหาทางด้านวิศวกรรม รวมถึงปัญหาการจัดสมดุลสายการประกอบ ได้แก่ การประยุกต์ใช้เจนเนติกอัลกอริทึมในการจัดสมดุลสายการประกอบ

แบบผลิตภัณฑ์ผสม (จงกล เอี่ยมมิ, 2543) การแก้ปัญหาการจัดสมดุลสายการประกอบโดยวิธี TSGA (สุภาพรนี สุวรรณรังสี และคณะ, 2550) การเพิ่มผลิตภาพด้วยเทคนิคการจัดสมดุลสายการประกอบโดยวิธีการทางพันธุกรรม (กษิติ แสงเดือน และคณะ, 2550) การจัดสมดุลสายงานการประกอบโดยใช้วิธีการทางพันธุกรรมร่วมกับเทคนิคการสลับที่แบบสุ่ม (สุภาพรนี สุวรรณรังสี และคณะ, 2551)

ซึ่งจากการศึกษาเพิ่มเติมพบว่าวิธีการวิจัยการวิวัฒนาการ โดยใช้ผลต่างนี้สามารถให้คำตอบที่ดีเทียบเท่ากับวิธีการเชิงพันธุกรรม แต่จะใช้เวลาที่เร็วกว่า ผู้วิจัยจึงได้เลือกศึกษาทบทวนที่ใช้วิธีการวิวัฒนาการ โดยใช้ผลต่าง ซึ่งพบว่ามีผู้ออกแบบไว้สำหรับปัญหาการจัดสมดุลสายการประกอบแบบเส้นตรงประเภทที่ 1 แต่ยังไม่มีประสิทธิภาพมากนัก เนื่องจากวิธีที่มีผู้ออกแบบไว้นั้นจะมีโอกาสทำให้คำตอบเริ่มต้นเป็นคำตอบที่ไม่เป็นจริงและต้องมีการพัฒนาซ่อนแซมคำตอบในภายหลัง ดังนั้น ผู้วิจัยจึงพัฒนาวิธีการวิวัฒนาการ โดยใช้ผลต่าง เพื่อให้มีประสิทธิภาพมากขึ้นกว่าอัลกอริทึมเดิมที่มีผู้ออกแบบไว้ โดยมีการสร้างคำตอบที่เป็นจริงตั้งแต่คำตอบเริ่มต้นทำให้ไม่ต้องมีการซ่อนแซมคำตอบในภายหลัง ซึ่งจะช่วยลดเวลาในการหาคำตอบและสามารถใช้แก้ปัญหาสายการผลิตของโรงงานกรณีศึกษาดังกล่าวอีกด้วย

## 1.2 วัตถุประสงค์

เพื่อปรับปรุงและประยุกต์ใช้วิธีการวิวัฒนาการ โดยใช้ผลต่างสำหรับแก้ปัญหาและหาคำตอบที่ดีที่สุดในปัญหาการจัดสมดุลสายการประกอบแบบเส้นตรงประเภทที่ 1 สำหรับชุดปัญหาของ Talbot ชุดปัญหาของ Scholl และปัญหาสายการประกอบกรณีศึกษา

## 1.3 สมมติฐานของการวิจัย

วิธีการวิวัฒนาการ โดยใช้ผลต่างที่ประยุกต์ขึ้นสามารถแก้ปัญหาการจัดสมดุลสายการประกอบได้อย่างมีประสิทธิภาพ สามารถพบผลคำตอบที่ดีกว่าหรือเทียบเท่ากับวิธีการวิวัฒนาการ โดยใช้ผลต่างที่มีผู้ออกแบบไว้สำหรับชุดปัญหาของ Talbot และให้ผลคำตอบที่ดีกว่าหรือเทียบเท่ากับวิธีเลียนแบบการอบอ่อน (Simulated Annealing: SA) สำหรับชุดปัญหาของ Scholl รวมถึงสามารถให้ผลคำตอบที่เหมาะสมและดีกว่าสายการผลิตปัจจุบันของโรงงานกรณีศึกษา

#### 1.4 ขอบเขตของการวิจัย

ทำการศึกษาเฉพาะปัญหาการจัดสมดุลสายการประกอบแบบเส้นตรงประเภทที่ 1 ซึ่งมีการผลิตสินค้าชนิดเดียว ของโรงงานผลิตกรณีศึกษาโดยเลือกศึกษาสายการผลิตเสื้อแจ็คเก็ต เด็กมีหมวก รุ่น 660284 และใช้ระยะเวลาในการเก็บข้อมูลตั้งแต่เดือนพฤษภาคม พ.ศ. 2555 ถึงเดือนกุมภาพันธ์ พ.ศ. 2556 จากนั้นทำการปรับปรุงและพัฒนาวิธีการวิวัฒนาการ โดยใช้ผลต่างแล้วนำไปแก้ปัญหาการจัดสมดุลสายการประกอบแบบเส้นตรงประเภทที่ 1 สำหรับชุดปัญหา Talbot ชุดปัญหาของ Scholl ( ข้อมูลจาก [www.assembly-line-balancing.de](http://www.assembly-line-balancing.de) ) และปัญหารณีศึกษาเพื่อวิเคราะห์และเปรียบเทียบระหว่างวิธีการวิวัฒนาการ โดยใช้ผลต่างที่ปรับปรุงและประยุกต์ขึ้นทั้ง 6 วิธี โดยพิจารณาจำนวนปัญหาและเวลาที่ใช้ในการกันพับคำตอบที่ดีที่สุดในระหว่างทั้ง 6 วิธี

#### 1.5 ขั้นตอนการดำเนินการวิจัย

โดยมีขั้นตอนการดำเนินงานดังนี้

- 1.5.1 ศึกษาสายการผลิตของโรงงานกรณีศึกษา
- 1.5.2 ศึกษาทฤษฎีและงานวิจัยที่เกี่ยวข้อง
- 1.5.3 ประยุกต์ใช้วิธีการวิวัฒนาการ โดยใช้ผลต่าง
- 1.5.4 ทดสอบวิธีการวิวัฒนาการ โดยใช้ผลต่างกับชุดปัญหา Talbot ชุดปัญหาของ Scholl และปัญหารณีศึกษา
- 1.5.5 สรุปและวิเคราะห์ผลการทดลอง
- 1.5.6 จัดทำรูปเล่มวิทยานิพนธ์ และนำเสนองานวิจัย

#### 1.6 ประโยชน์ที่คาดว่าจะได้รับจากการวิจัย

- 1.6.1 สามารถวิเคราะห์และนำวิธีการวิวัฒนาการ โดยใช้ผลต่างที่ปรับปรุงและประยุกต์ขึ้นใช้กับลักษณะของปัญหาที่มีความซับซ้อนและขนาดที่ต่างกันได้อย่างเหมาะสม
- 1.6.2 ลดความยุ่งยากซับซ้อนในการแก้ปัญหาการจัดสมดุลสายการประกอบแบบเส้นตรงประเภทที่ 1
- 1.6.3 สามารถใช้วิธีการวิวัฒนาการ โดยใช้ผลต่างเพิ่มประสิทธิภาพให้กับสายการผลิตของโรงงานกรณีศึกษา
- 1.6.4 เป็นแนวทางในการตัดสินใจจัดสถานีงานและจัดระบบสายงานการประกอบในโรงงานกรณีศึกษาให้มีประสิทธิภาพมากยิ่งขึ้น

#### 1.7 ระยะเวลาในการดำเนินการวิจัย

### ตารางที่ 1.1 แผนการดำเนินงานวิจัย

## บทที่ 2

### ทฤษฎีและงานวิจัยที่เกี่ยวข้อง

ในบทนี้จะกล่าวถึงทฤษฎีและงานวิจัยที่เกี่ยวข้องกับการจัดสมดุลสาขาระบบประกอบและวิธีการวิวัฒนาการโดยใช้ผลต่าง

#### 2.1 การผลิต

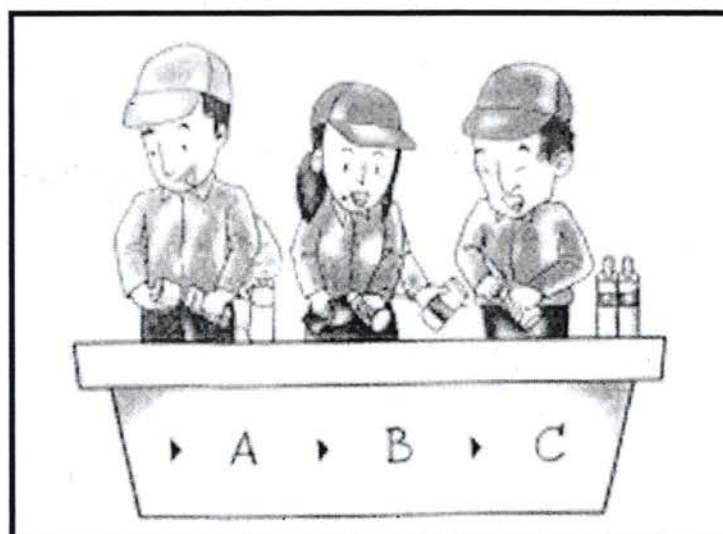
สามารถแบ่งประเภทตามลักษณะระบบการผลิต กระบวนการผลิต และจำนวนชนิดของสินค้า ดังนี้

##### 2.1.1 แบ่งประเภทตามลักษณะระบบการผลิต

2.1.1.1 การผลิตแบบไม่ต่อเนื่อง (Intermittent Production) เป็นการผลิตที่วัดฤดูใบไม่เลือนไหลดไปตามสายการผลิต การผลิตจะผลิตเป็นช่วง ๆ สามารถจะผลิตสินค้าได้หลายชนิด โดยจะจัดซื้อเครื่องจักร เครื่องมือเป็นกลุ่ม ๆ เช่น งานเจาะจะอยู่กลุ่มงานเจาะ งานทำสีก็จะอยู่กลุ่มของงานสี เป็นต้น จะผลิตสินค้าครั้งละมาก ๆ ก็ได้ ไม่นากก็ได้ ผลิตภัณฑ์จะทำเป็นชิ้น ๆ จะทำทีละชิ้นตอน เมื่อเสร็จเรียบร้อยในแต่ละชิ้นตอนแล้วก็นำมาประกอบกันเป็นสินค้าที่ต้องการ เช่น การทำเฟอร์นิเจอร์ ตู้ เตียง เก้าอี้ การซ่อมรถยนต์ อุปกรณ์นักความงาม งานก่อสร้างต่าง ๆ เป็นต้น ระบบการผลิตเป็นไปตามความเหมาะสมของผู้ดำเนินงานการติดตั้งเครื่องจักร ก็จะติดตั้งตามกรรมวิธีการผลิต จึงเป็นผลทำให้มีความต้องการการใช้พื้นที่ในการเก็บวัสดุในการผลิตมากขึ้น ทั้งนี้เพราะการผลิตระบบนี้มีจุดพักงานหลายจุดและในการผลิตแบบนี้ผู้ผลิตจะต้องกำหนดวิธีการขนย้ายวัสดุให้เหมาะสมซึ่งจะทำให้การผลิตมีประสิทธิภาพและการวางแผนการผลิตแบบช่วงตอนนี้จะก่อให้เกิดประสิทธิภาพที่ผู้ผลิตจะต้องกำหนดแนวทางการวางแผนผังโรงงานให้สอดคล้องกับระบบการผลิตด้วย

2.1.1.2 การผลิตแบบต่อเนื่อง (Continuous Production) เป็นกระบวนการผลิตแบบต่อเนื่องหรือการผลิตที่ลักษณะ คือ แนวคิดในการผลิตและเคลื่อนย้ายงานที่ต่อเนื่อง โดยไม่มีการหยุดการรอ หรือการสะสมของงานระหว่างผลิต ทำให้ระยะเวลาระหว่างการผลิตสั้นลง ต่างจากการผลิตแบบเดิม คือ กระบวนการผลิตแบบไม่ต่อเนื่อง ซึ่งผลิตเป็นรุ่นจำนวนมาก และใช้เวลาระหว่างการผลิตนานกว่า สำหรับการผลิตแบบต่อเนื่อง เมื่อพนักงานที่รับผิดชอบกระบวนการ A ทำงานเสร็จ ก็จะส่งชิ้นงานต่อไปยังกระบวนการ B และ C ซึ่งอยู่ถัดไปทันทีโดย

ไม่ต้องรอให้ครบจำนวน โดยไม่ต้องนำไปใส่รวมในระบบ การผลิตแบบนี้เรียกว่า “การผลิตแบบไม่ต่อเนื่องทีละชิ้น” (One Piece Flow) ดังแสดงในภาพที่ 2.1



ภาพที่ 2.1 การผลิตแบบต่อเนื่อง (วิลาสินี ศรีธาร และสุธินี พันธุจิต, 2552)

ซึ่งการผลิตแบบต่อเนื่องขึ้นสามารถแบ่งกระบวนการผลิตตามชนิดของการผลิตและตามจำนวนชนิดของสินค้า ได้ดังนี้

### 2.1.2 แบ่งประเภทตามลักษณะกระบวนการผลิต

#### 2.1.2.1 สายการผลิตแบบส่งถ่าย (Transfer Line)

จะอาศัยการทำงานของเครื่องจักรอัตโนมัติ เพื่อส่งถ่ายวัสดุและชิ้นงาน แรงงานคนที่ใช้ส่วนใหญ่จะเป็นการควบคุมการทำงานของเครื่องจักร ไม่ว่าแผนการผลิตจะมีการเปลี่ยนแปลงอย่างไร สายการผลิตจะไม่มีการเปลี่ยนแปลง กำลังการผลิตจะคงที่และผลผลิตขึ้นอยู่ กับช่วงเวลาการทำงานของเครื่องจักร เช่น การผลิตสุรา การกลั่นน้ำมัน เป็นต้น

#### 2.1.2.2 สายการผลิตแบบงานประกอบ (Assembly Line)

สายการผลิตแบบงานประกอบ ส่วนใหญ่จะใช้แรงงานคนเป็นหลักในการประกอบชิ้นส่วนต่างๆเข้าด้วยกัน โดยใช้คนประจำในสถานีต่างๆและสามารถปรับเปลี่ยนชนิด ของเครื่องจักรในแต่ละสถานีงาน ได้ตามลักษณะการทำงานและพื้นที่ในการทำงาน ซึ่งการผลิตแบบนี้สามารถเปลี่ยนแปลงสายการผลิตในสถานีต่างๆ เพื่อให้สอดคล้องกับแผนการผลิต เช่น โรงงานตัดเย็บเสื้อผ้า เครื่องใช้ไฟฟ้า เป็นต้น

### 2.1.3 แบ่งประเภทตามจำนวนชนิดของสินค้า

#### 2.1.3.1 การผลิตแบบสินค้านิคเดียว (Single Model line)

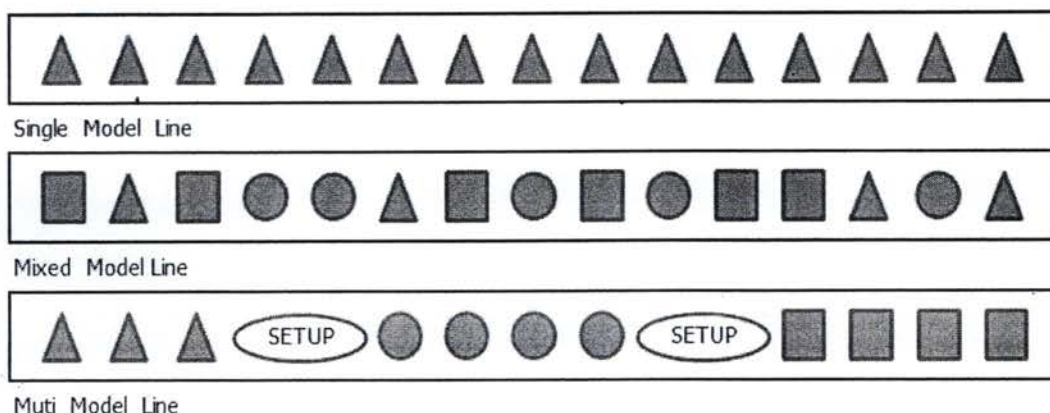
จะเป็นสาขาระบบผลิตที่มีความต้องการจากลูกค้ามากจึงทำให้สาขาระบบผลิตสามารถผลิตสินค้านิคเดียวได้ตลอดเวลา

#### 2.1.3.2 การผลิตแบบสินค้าแบบผสม (Mixed Model line)

เป็นสาขาระบบผลิตที่ผลิตผลิตภัณฑ์ตั้งแต่ 2 ชนิดขึ้นไปเหมือนกับการผลิตแบบสินค้าหลายชนิด แต่จะต่างกันตรงที่วัสดุคุณภาพต่างๆจะเข้าไปในสาขาระบบผลิตพร้อมๆกันและจะผลิตสินค้าต่างชนิดพร้อมๆกัน ไม่มีการแบ่งว่าต้องทำผลิตภัณฑ์ชุดไหนก่อน และระหว่างการผลิตจะไม่มีการปรับเปลี่ยนสาขาระบบผลิตใหม่

#### 2.1.3.3 การผลิตแบบสินค้าแบบหลายชนิด (Multi Model line)

เป็นสาขาระบบผลิตที่ผลิตผลิตภัณฑ์ตั้งแต่ 2 ชนิดขึ้นไป ซึ่งผลิตภัณฑ์แต่ละชนิดจะมีกระบวนการผลิตที่ไม่ต้องรบกวนกัน สามารถผลิตบนสายงานประกอบเดียวกันได้ โดยในการผลิตจะผลิตที่ละชุดผลิตภัณฑ์ และในช่วงที่มีการเปลี่ยนผลิตภัณฑ์อาจจะต้องมีการปรับเปลี่ยนสาขาระบบผลิตใหม่

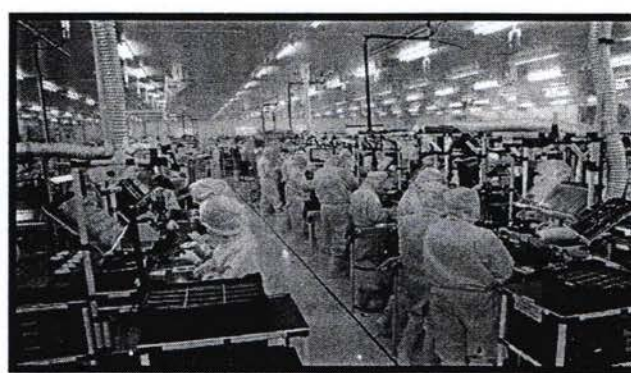


ภาพที่ 2.2 สาขาระบบการผลิตตามจำนวนชนิดของสินค้า

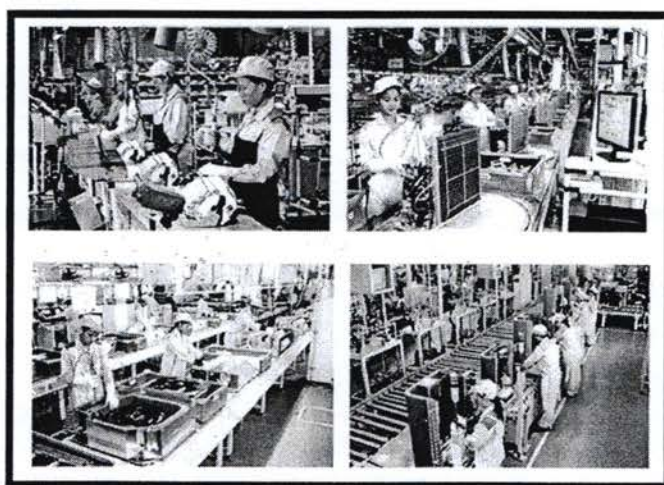
(นุชสรา เกรียงกรղู และคณะ, 2553)



ภาพที่ 2.3 สาขาระบบเย็บเลือผ้าโรงงานกรณีศึกษาเป็นการผลิตแบบสินค้าชนิดเดียว



ภาพที่ 2.4 สาขาระบบชิ้นส่วนเครื่องปรับอากาศเป็นการผลิตแบบสินค้าหลายชนิด  
(daikinthai, 2012)



ภาพที่ 2.5 สาขาระบบเครื่องปรับอากาศที่มีความหลากหลายของรุ่น  
เป็นการผลิตสินค้าแบบผสม (daikinthai, 2012)

## 2.2 หลักการและทฤษฎีที่เกี่ยวข้องกับการจัดสมดุลสายการประกอบ

### 2.2.1 การจัดสมดุลสายการประกอบ (Assembly Line Balancing)

การจัดสมดุลสายการประกอบ หมายถึง การจัดรูปแบบสถานีงานในระบบสายงาน การประกอบแบบต่อเนื่อง ชิ้นส่วนผลิตภัณฑ์ที่จะทำการประกอบจะเคลื่อนเข้ามาร่วมกันในสถานีงานต่างๆ เมื่อชิ้นส่วนผลิตภัณฑ์ดังกล่าวเข้าสู่สถานีงานและมีการประกอบในสถานีนั้นก็จะมีความลำดับงาน ก่อนหลัง เมื่อหมดขั้นตอนการประกอบในสถานีนั้นแล้วชิ้นส่วนนั้นจะเคลื่อนเข้าไปยังสถานีถัดไป ในขณะเดียวกันที่สถานีเดิมก็จะมีชิ้นส่วนผลิตภัณฑ์หน่วยถัดไปเข้ามายัง

ดังนั้นการจัดสมดุลสายการประกอบจึงเป็นการพยายามจัดสถานีงานต่างๆให้มี อัตราการผลิตให้ใกล้เคียงกันมากที่สุด ซึ่งอัตราการผลิตนั้นจะถูกกำหนดโดยเวลาการทำงานของ สถานีที่ใช้เวลานานที่สุดหรือใช้เวลาในการผลิตช้าที่สุด เรียกว่า รอบเวลาการผลิต (Cycle Time) ซึ่งหมายถึงเวลาระหว่างที่สินค้าเสร็จออกมานแต่ละชิ้น โดยในองค์กรที่สูงค่าระบุความต้องการหรือ เป้าหมายในการผลิตอาจจะใช้เป้าหมายนั้นมาใช้เป็นรอบเวลาการผลิต เช่น ลูกค้าต้องการ 155 ตัว/วัน 1 วันทำงาน 8 ชั่วโมง ดังนั้นจะต้องผลิตสินค้า 3.1 ตัวต่อนาที คิดค่าสูญเสีย 5 เปอร์เซ็นต์ ทำให้ ได้รอบเวลาการผลิตขององค์กรนี้คือ 2.95 นาที ฉะนั้นสถานีงานที่ใช้เวลาน้อยกว่าจะทำให้เกิดการ คงอยู่เป็นจุดควบคุมที่มีบริมาณชิ้นส่วนผลิตภัณฑ์ถ้ารอที่จะผ่านสถานีที่ช้านั้น เกิดเวลาว่างงาน (Idle Time : ID) ซึ่งเราจะต้องพยายามทำให้เกิดชิ้นน้อยที่สุด

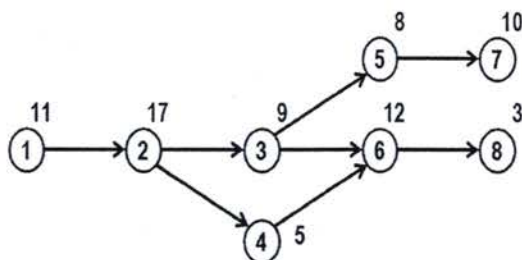
ในการจัดสมดุลสายการประกอบ จะเป็นการพยายามจัดสถานีงานต่างๆให้มีอัตรา การทำงานหรือเวลาที่ใช้ในการผลิตสินค้าแต่ละชิ้นเท่าๆกันมากที่สุด ซึ่งจะเริ่มต้นด้วยการกำหนด รอบเวลาการผลิตตามลำดับขั้นงานต่างๆ และเวลามาตรฐานของการทำงานแต่ละขั้นตอนนั้นๆ จากนั้นจะพยายามรวมขั้นงานเข้าด้วยกันให้เป็นสถานีงาน โดยจัดให้มีเวลาว่างงานน้อยที่สุดและจัด ให้แต่ละสถานีงานมีเวลาการทำงานไม่เกินรอบเวลาการผลิต ถ้าสามารถจัดให้แต่ละสถานีงานมี ความสมดุลกันก็ส่งผลให้สายการประกอบนั้นมีประสิทธิภาพสูง ซึ่งมีองค์ประกอบต่างๆดังนี้

#### 2.2.1.1 ระบบสายการประกอบ มีส่วนประกอบต่างๆดังนี้

- 1) สถานีการประกอบ
- 2) อัตราการผลิตหรือเวลาระหว่างที่สินค้าเสร็จออกมานแต่ละชิ้น เรียกว่า รอบเวลาการผลิต (Cycle Time)
- 3) โดยในกิจกรรมใดๆจะประกอบด้วยหลายงานย่อยๆ
- 4) เวลาที่ใช้ในการทำงานของแต่ละงานย่อย ซึ่งควรเป็นเวลามาตรฐาน เรียกว่าเวลาขั้นงาน (Task Time)

### 2.2.1.2 แผนภาพลำดับขั้นตอนการทำงาน (Precedence Diagram)

แผนภาพแสดงลำดับขั้นตอนการทำงาน ซึ่งจะสามารถบอกลำดับขั้นตอนงานก่อน-หลัง โดยมีลูกศรกำหนดทิศทางการดำเนินงานและวงกลมหมายถึงงาน ซึ่งการดำเนินงานจะเริ่มจากค่าน้ำหนักสุดของผู้ต่อไปในกระบวนการประกอบต่างๆจนเป็นผลิตภัณฑ์ที่อยู่ค้านขวามือ ดังตัวอย่างภาพที่ 2.6



ภาพที่ 2.6 แผนภาพลำดับงานก่อน-หลัง (Bowman problem, 1960)

หมายเลขอ่วงกลมหมายถึงชื่อของแต่ละขั้นตอนงานจำนวน 8 งาน และหมายเลขนอกวงกลมหมายถึงเวลาของแต่ละงาน

### 2.2.1.3 ประสิทธิภาพสายการผลิต (Line Efficiency or Efficiency of Balance: E)

ประสิทธิภาพของสายการผลิต จะเป็นค่านิพัทธิ์ที่แสดงให้เห็นความสามารถของการจัดงานลงในสถานีงานเพื่อให้เกิดเวลาสูญเปล่าน้อยที่สุด

$$E = \left( \sum t / mc \right) \times 100 \quad (2.1)$$

โดย E เป็นค่าเบอร์เซ็นต์ ,  $\sum t$  = เวลาขั้นงานรวม ; m = จำนวนสถานีงาน ; c = รอบเวลาการผลิต

### 2.2.1.4 การสูญเสียความสมดุล (Balance delay: D)

เป็นเครื่องชี้วัดประสิทธิภาพที่เกิดความสูญเสียไม่สามารถทำงานได้เต็มประสิทธิภาพ โดยพิจารณาที่เวลาสูญเปล่า (Idle time) ของการจัดงานลงสถานีงาน

$$D = \left( (mc - \sum t) / mc \right) \times 100 \quad (2.2)$$

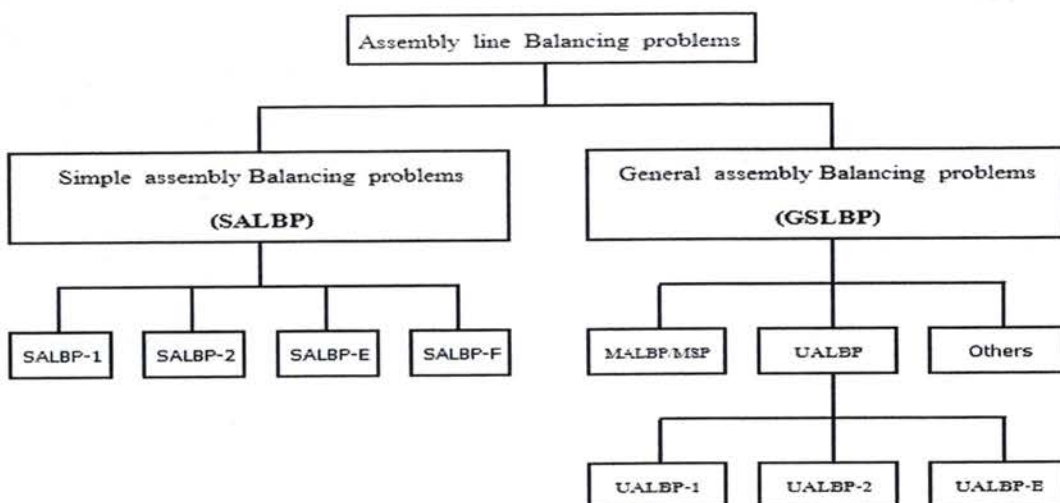
$$\text{หรือ } D = 100 - E \quad (2.3)$$

โดย D เป็นค่าเบอร์เซ็นต์ ;  $\sum t$  = เวลาขั้นงานรวม ; m = จำนวนสถานีงาน ; c = รอบเวลาการผลิต

### 2.2.1.5 เวลาสูญเปล่า (Idle Time: ID)

$$I = mc - \sum t \quad (2.4)$$

### 2.2.2 ประเภทของปัญหาการจัดสมดุลสายการประกอบ สามารถแบ่งได้ดังภาพที่ 2.7



ภาพที่ 2.7 ประเภทของปัญหาการจัดสมดุลสายการประกอบ

ที่มา : ปรับปรุงจาก นุชสรา เกiergeingกรกฎ (2550)

### 2.2.3 ปัญหาการจัดสมดุลสายการประกอบแบบเส้นตรง

#### (Simple Assembly Line Balancing Problem: SALBP)

เป็นปัญหาการจัดสมดุลสายการประกอบแบบเส้นตรงที่มีการผลิตสินค้าชนิดเดียวและผลิตคราวละมากๆ มีหลายขั้นตอนงาน มีรับเวลาการผลิตคงที่และมีเวลาการทำงานแน่นอนหรือมีเวลามาตรฐานของงานนั้นๆ ไม่มีข้อจำกัดของการกำหนดงานออกจากเงื่อนไขลำดับงานก่อนหลัง สายการผลิตเป็นแบบต่อเนื่อง ทุกสถานีงานจะมีจำนวนคนงานและเครื่องจักรที่เท่าๆ กัน มีอัตราการปล่อยชิ้นงานคงที่หรือทราบรอบเวลาการผลิตที่แน่นอน ซึ่งสามารถแบ่งประเภทของปัญหา SALBP ได้อีก 4 ประเภทคือ

2.2.3.1 SALBP-1 กรณีทราบค่ารอบเวลาการผลิต (c) และหารจำนวนสถานีงาน (m) น้อยที่สุด

2.2.3.2 SALBP-2 กรณีทราบค่าจำนวนสถานีงาน (m) และหารอบเวลาการผลิต (c) น้อยที่สุด

2.2.3.3 SALBP-E กรณีหาค่าประสิทธิภาพของสายการผลิตสูงที่สุด (E) โดยที่ทราบค่ารับเวลาการผลิต (c) และจำนวนสถานีงาน (m) เป็นตัวแปร

2.2.3.4 SALBP-F กรณีกำหนดค่ารับเวลาการผลิต (c) และจำนวนสถานีงาน (m) ถ้า feasible แสดงว่าเป็นปัญหาที่สามารถหาคำตอบได้

#### 2.2.4 ปัญหาการจัดสมดุลสายการประกอบแบบทั่วไป

(General Assembly Line Balancing Problem ; GALBP)

เป็นปัญหาที่มีความยุ่งยากซับซ้อนขึ้นและสามารถแบ่งออกได้ 3 ชนิด ดังนี้

2.2.4.1 ปัญหา Mixed model Assembly Line Balancing Problem and Mixed Model Sequencing Problem ( MALBP/MSP )

ปัญหา MALBP คือ ปัญหาการจัดสมดุลสายการประกอบที่มีการผลิตผลิตภัณฑ์แบบผสม มีเวลาการทำงานที่แน่นอน โดยการจัดงานลงสถานีงานจะทำการพิจารณาเวลาที่ต่างกันสำหรับสินค้าแต่ละอย่าง เพื่อหาสถานีงานหรือรอบเวลาการผลิตที่เหมาะสมที่สุด

ปัญหา MSP คือ ปัญหาการจัดสมดุลสายการประกอบที่มีการจัดลำดับการผลิตให้สินค้าทุกรุ่นที่จะทำการผลิตให้เกิดความเหมาะสมที่สุด เพื่อลดเหตุการณ์ต่างๆที่ไม่มีประสิทธิภาพในสายการผลิต เช่น การหยุดชั่วโมง เป็นต้น

2.2.4.2 UALBP (U-line Assembly Line Balancing Problem)

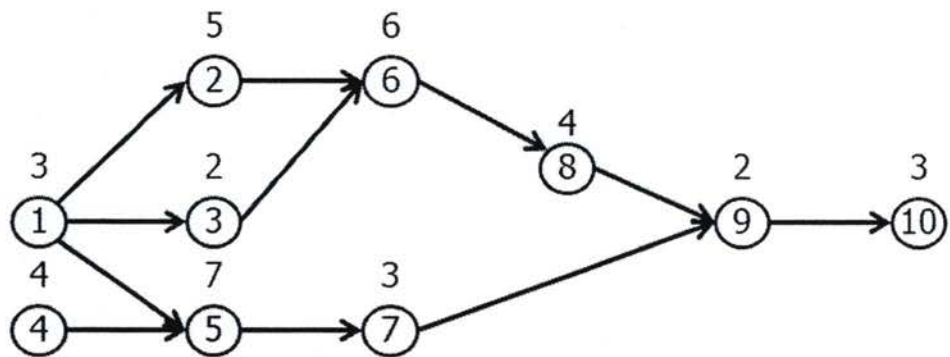
เป็นปัญหาการจัดสมดุลสายการประกอบแบบตัวยู ที่มีการผลิตสินค้าชนิดเดียว สายการประกอบจะถูกจัดเป็นรูปตัวยู โดยสามารถจัดงานเริ่มต้นและงานสุดท้ายของแผนภูมิลำดับงานก่อน-หลัง ลงในสถานีเดียวกันได้ และจะมีการทำงานในสถานีทั้งสองฝั่ง ทำให้จำนวนของสถานีงานมีจำนวนน้อยกว่าหรือเท่ากับ SALB เมื่อเปรียบเทียบค่าที่เหมาะสมของปัญหา UALB และ SALB จะได้ว่า UALB นั้นจะมีประสิทธิภาพของสายการประกอบ (Efficiency line) ที่ดีกว่าหรือเท่ากับ SALB ซึ่งในปัญหาการจัดสมดุลสายการประกอบแบบตัวยู สามารถแบ่งปัญหาออกได้ 3 ประเภท ดังนี้

1) UALABP-1 กรณีทราบค่ารับเวลาการผลิต (c) และหารจำนวนสถานีงาน (m) น้อยที่สุด

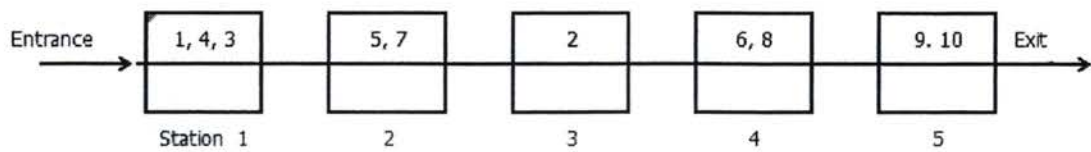
2) UALABP-2 กรณีทราบจำนวนสถานีงาน (m) และหารอบเวลาการผลิต (c) น้อยที่สุด

3) UALABP-E กรณีหาค่าประสิทธิภาพของสายการผลิตสูงที่สุด (E) โดยที่ทราบค่ารับเวลาการผลิต (c) และจำนวนสถานีงาน (m) เป็นตัวแปร

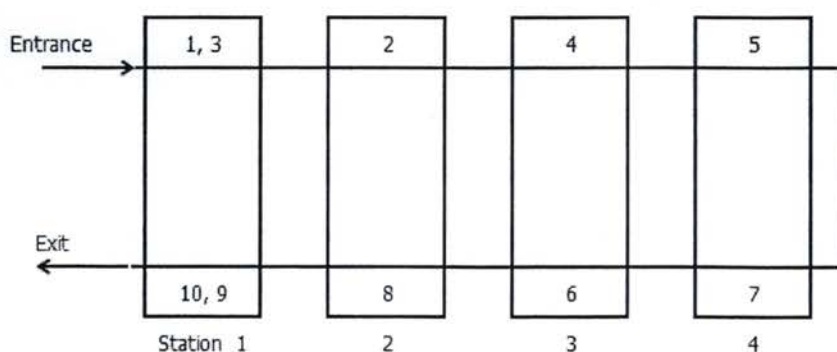
ตัวอย่างผังลำดับขั้นตอนงานและตัวอย่างการจัดสมดุลสายการประกอบแบบเส้นตรง และแบบตัวยู แสดงได้ดังภาพที่ 2.8



(ก) รูปแบบแผนผังลำดับขั้นตอนงาน



(a)



(b)

ภาพที่ 2.8 ตัวอย่างการจัดสมดุลสายการประกอบแบบเส้นตรงและการคำนวณประสิทธิภาพ

(ข) ผลของการจัดสมคุลงาน (a) แบบเส้นตรงและ (b) แบบตัวยู

สมมติ cycle time = 10 , total tasks time = 39

(a) Straight line m = 5 สถานีงาน

$$E = \frac{\sum t}{m \times c} \times 100 = \frac{39}{5(10)} \times 100 \\ = 78\%$$

(b) U-line m = 4 สถานีงาน

$$E = \frac{39}{4(10)} \times 100 \\ = 97.5\%$$

ภาพที่ 2.8 ตัวอย่างการจัดสมคุลสายการประกอบแบบเส้นตรงและการคำนวณประสิทธิภาพ (ต่อ)

จากภาพที่ 2.8 แสดงตัวอย่างซึ่งอธิบายได้ว่าการจัดสมคุลสายการประกอบแบบเส้นตรงจะมีประสิทธิภาพของสายการผลิตน้อยกว่าการจัดสมคุลสายการประกอบแบบตัวยู และมีจำนวนสถานีงานมากกว่าส่งผลให้มีค่าเวลาว่างงาน (Idle Time : ID) มากกว่า

### 2.3 งานวิจัยที่เกี่ยวข้องกับการจัดสมคุลสายการประกอบ

ผู้วิจัยได้ศึกษางานวิจัยที่เกี่ยวข้องกับการจัดสมคุลสายการประกอบซึ่งมีสายการประกอบแบบเส้นตรงที่มีทั้งผลิตภัณฑ์แบบผสมและแบบชนิดเดียวโดยใช้ทั้งวิธีเชิงปริมาณและเมตตาชีวิตรสติก

Talbot, F. B., J.H. Patterson and W.V. Gehrlein (1986) ได้ทำการวิจัยและหาวิธีการแก้ปัญหาจัดสมคุลสายการประกอบเพื่อให้มีจำนวนสถานีงานน้อยที่สุด เมื่อกำหนดรอบเวลาการผลิตที่ต้องการมาให้ โดยใช้เทคนิค Integer Programming Algorithm ผลการวิจัยพบว่าสามารถให้คำตอบที่ดีที่สุดได้ภายในเวลาที่เหมาะสม โดยใช้คอมพิวเตอร์ที่ทันสมัยที่สุดในขณะนั้น เพื่อใช้แก้ปัญหาที่มีจำนวนขั้นงาน 50-100 ขั้นงาน

จงกล เอี่ยมมิ (2543) ได้วิจัยและนำเสนอแนวทางในการนำเอาระบบเชิงพันธุกรรม (Genetic Algorithms: GA) มาประยุกต์ใช้ในการหาคำตอบของปัญหาการจัดสมคุลสายการประกอบแบบผลิตภัณฑ์ผสม โดยมีวัตถุประสงค์เพื่อให้มีจำนวนสถานีงานน้อยที่สุดและเกิดเวลาว่างงานรวมน้อยที่สุดด้วย นอกจากนี้ยังได้ศึกษาและทดสอบหาพารามิเตอร์ที่มีผลต่อประสิทธิภาพของวิธีการเชิงพันธุกรรม ซึ่งได้แก่ ขนาดประชากร วิธีการครอสโอเวอร์ความนำจะเป็นในการครอสโอเวอร์ และความนำจะเป็นในการมิวเทชั่น แล้วนำพารามิเตอร์ที่ได้ไปแก้ปัญหาตัวอย่างของการจัดสมคุลสายการประกอบผลิตภัณฑ์แบบผสม จากงานวิจัยนี้พบว่าพารามิเตอร์ที่มีผลอย่างมีนัยสำคัญต่อประสิทธิภาพในการจัดสมคุลสายการประกอบแบบผลิตภัณฑ์ผสมคือ จำนวนประชากร วิธีการ

ครอสโซ่ออร์และความน่าจะเป็นในการมีวิธีชั้น ดังนี้ในการนำวิธีการเชิงพันธุกรรมไปใช้จริงต้องมีการกำหนดค่าพารามิเตอร์ที่เหมาะสม ซึ่งอาจจะนำค่าที่เหมาะสมที่ได้จากการทดลองในงานวิจัยนี้ เป็นแนวทางเบื้องต้น ได้ผลจากการเปรียบเทียบคำตอบที่ได้จากการเชิงพันธุกรรมกับวิธีการของ COMSOAL พบว่าวิธีการเชิงพันธุกรรมจะให้ผลลัพธ์ที่ดีกว่า ซึ่งสามารถสรุปได้ว่าวิธีการเชิงพันธุกรรมเป็นวิธีการหาคำตอบสำหรับปัญหาการจัดสมดุลสายการประกอบแบบผลิตภัณฑ์ผสมที่มีประสิทธิภาพ และสามารถให้คำตอบที่ดีภายในระยะเวลาที่กำหนดให้ได้

Pedro M. Vilarinho and Ana Sofia Simaria (2002) ได้นำเสนอวิธีการเดียนแบบอนุ่ม (Simulated Annealing : SA) ในการจัดสมดุลสายการประกอบแบบเส้นตรงประเภทที่ 1 ชุดปัญหาของ Scholl พบว่าสามารถพบคำตอบที่ดีที่สุด 76 ปัญหาจาก 168 ปัญหา ซึ่งคำตอบที่ได้ที่ไม่ใช่คำตอบที่ดีที่สุดคิดเป็น 14 %

กษิศ แสงเดือน และคณะ (2550) ได้ศึกษาและวิจัยเพื่อเพิ่มประสิทธิภาพสายการประกอบของโรงงานตัวอย่าง โดยการประยุกต์ใช้เทคนิคการจัดสมดุลสายการประกอบด้วยวิธีการเชิงพันธุกรรม โรงงานดังกล่าวเป็นโรงงานผลิตเครื่องใช้ไฟฟ้าภายในบ้าน เช่น หม้อต้มน้ำไฟฟ้า หม้อหุงข้าวไฟฟ้า และกระทะไฟฟ้า วิธีการศึกษาประกอบไปด้วย 6 ขั้นตอน ขั้นแรกใช้หลักการพาราโตในการเลือกสินค้าตัวอย่าง ขั้นที่สองแผนภูมิการไหลของงานถูกวิเคราะห์โดยเทคนิคการศึกษางาน ขั้นที่สามเวลามาตรฐานได้ถูกคำนวณขึ้นด้วยเทคนิคการศึกษาเวลา ขั้นที่สี่แสดงแผนภาพโครงข่ายงานประกอบ ขั้นที่ห้าสร้างโปรแกรมการจัดสมดุลสายการผลิตบนวิธีการเชิงพันธุกรรม และดำเนินการประมวลผล สุดท้ายนำผลการประมวลไปออกแบบสายการประกอบใหม่ จากการดำเนินงานพบว่า ประสิทธิภาพของสายการประกอบเพิ่มขึ้นจาก 46.32 % เป็น 85.56 % เพิ่มความสามารถในการผลิตของสายการประกอบจาก 996 ชุดต่อวัน เป็น 1,187 ชุดต่อวัน ลดจำนวนคนงานในสายการประกอบลงได้ 6 คน ทั้งหมดนี้ส่งผลให้โรงงานลดต้นทุนการผลิตลงได้ 28,800 บาทต่อเดือน

นุชตรา เกรียงกราก (2550) ได้วิจัยและพัฒนาวิธีอิหริสติกและวิธีเมตาอิหริสติก โดยวิธีระบบดแม็กนิค วิธี Max. task time และ Min. task time ร่วมกับวิธีโลโกอลาร์ช ในการแก้ปัญหาการจัดสมดุลสายการประกอบแบบเส้นตรงและตัวยู สำหรับการจัดสมดุลสายการประกอบแบบเส้นตรง ได้ทำการทดลองในชุดปัญหาตัวอย่างที่เป็นปัญหานาดใหญ่มี 45-111 งาน และชุดปัญหาปัญหาตัวอย่างของ Lapierre โดยวิธีทานูเริร์ช ซึ่งเป็นปัญหานาดใหญ่มี 297 งาน ส่วนในการแก้ปัญหาการจัดสมดุลสายการประกอบแบบตัวยู ได้ทำการทดลองในชุดปัญหาตัวอย่างในกราฟโดยวิธี Max. RPW กับปัญหานาดกลางที่มี 21-45 งาน และชุดปัญหาปัญหาตัวอย่าง ข้อมูลบางส่วนที่เป็นปัญหานาดใหญ่มี 75-297 งาน จากการวิจัยสรุปผลได้ว่าวิธีระบบดแม็กนิค

ที่พัฒนาขึ้นเป็นวิธีที่มีประสิทธิภาพดีที่สุดเมื่อเปรียบเทียบกับวิธีชีวิสติก และวิธี Max. RPW ของ Miltenburg และ Wijngaard โดยจากการทดลองวิธี Min. task time เป็นวิธีที่ให้ค่าคำตอบที่เบี้ยที่สุด เมื่อเปรียบเทียบกับวิธีการอื่นๆ และเมื่อมีการเปลี่ยนแปลงของค่ารอบเวลาการผลิตที่เพิ่มขึ้นผลปรากฏว่า ไม่มีผลต่อความสามารถของการหาคำตอบของวิธีระบบแนวแม่กมนิ ดังนั้นสรุปได้ว่า วิธีการที่พัฒนาขึ้นเป็นวิธีที่มีประสิทธิภาพมากกวิธีหนึ่ง

สุภารณ์ สุวรรณรังสี และคณะ (2550) ได้นำเสนอวิธีการเพื่อแก้ปัญหาการจัดสมดุลสายงานการประกอบโดยนำวิธีการค้นหาแบบตาม (Tabu Search: TS) และวิธีการเชิงพันธุกรรม (Genetic Algorithm: GA) งานร่วมกัน โดยให้ชื่อว่าวิธี TSGA เพื่อแก้ปัญหาการจัดสมดุลสายงานการประกอบ ค่าความแปรปรวนของการงานถูกกำหนดให้เป็นฟังก์ชันวัตถุประสิทธิ์ของกระบวนการค้นหา จากวิธีการที่นำ เสนอ TS สามารถจัดสรรจำนวนขั้นงานที่เหมาะสมให้กับแต่ละสถานีงาน ในขณะที่ GA สามารถจัดลำดับของขั้นงานที่เหมาะสมให้กับแต่ละสถานีงาน โดยสอดคล้องกับเงื่อนไขลำดับความสัมพันธ์ก่อนหลังของขั้นงาน ปัญหาการจัดสมดุลสายงานการประกอบแบบผลการทดสอบเมื่อเปรียบเทียบกับวิธีการดึงเดินพบว่าวิธี TSGA สามารถให้คำตอบที่ดีกว่า ค่าความแปรปรวนของการงานที่ลดลงมากที่สุดจากคำตอบที่ได้จากวิธี TSGA เปรียบเทียบกับวิธีการดึงเดินมีค่าเท่ากับ 88.55% ซึ่งสรุปได้ว่าวิธี TSGA เป็นอัลกอริทึมที่มีศักยภาพ และเป็นทางเลือกหนึ่งในการแก้ปัญหาการจัดสมดุลสายงานการประกอบ

สุภารณ์ สุวรรณรังสี และคณะ (2551) ได้นำเสนอวิธีการแก้ปัญหาการจัดสมดุลสายงานการประกอบโดยใช้วิธีการเชิงพันธุกรรมร่วมกับเทคนิคการสลับที่แบบสุ่ม จากวิธีการที่นำเสนอค่าความแปรปรวนของการงานถูกกำหนดให้เป็นฟังก์ชันวัตถุประสิทธิ์ของกระบวนการเชิงพันธุกรรมถูกใช้เพื่อกำหนดจำนวนขั้นงานให้กับแต่ละสถานีงาน ขณะที่เทคนิคการสลับที่แบบสุ่มถูกใช้เพื่อจัดลำดับของขั้นงานให้กับแต่ละสถานีงาน โดยสอดคล้องกับเงื่อนไขลำดับความสัมพันธ์ก่อนหลังของขั้นงาน วิธีการที่นำเสนอยังทดสอบกับกรณีศึกษาสายงานการประกอบ รถ omnidirectional ซึ่งมีขั้นงานจำนวน 60 ขั้นงาน จากผลที่ได้พบว่าวิธีการที่นำเสนอมีความสามารถให้คำตอบที่เหมาะสมและดีกว่าวิธี COMSOAL ค่าความแปรปรวนของการงานมีค่าลดลง 63.87 % สรุปได้ว่าวิธีการที่นำเสนอมีความสามารถจัดสมดุลสายงานการประกอบได้อย่างมีประสิทธิภาพ

สุภารณ์ สุวรรณรังสี และคณะ (2551) ได้นำเสนอวิธีการเพื่อแก้ปัญหาการจัดสมดุลสายงานการประกอบ โดยนำวิธี การค้นหาแบบตามเชิงปรับตัว (Adaptive Tabu Search: ATS) และ เทคนิคการสลับที่แบบสุ่ม (Random Permutation: RP) มาใช้งานร่วมกันเพื่อแก้ปัญหาการจัดสมดุลสายงานการประกอบ โดยที่ ATS จะทำหน้าที่จัดสรรจำนวนขั้นงานที่เหมาะสมให้กับแต่ละ

สถานีงาน ในขณะที่เทคนิค RP จะทำหน้าที่จัดลำดับของขั้นงานที่เหมาะสมให้กับแต่ละสถานีงาน โดยสอดคล้องกับเงื่อนไขลำดับความสัมพันธ์ก่อนหลังของขั้นงาน ค่าความแปรปรวน ของการงานถูกกำหนดให้เป็นฟังก์ชันวัตถุประสงค์ของกระบวนการการค้นหา วิธีการที่นำเสนอยุકตทดสอบกับปัญหาการจัดสมดุลสายงานการประกอบแบบผลิตภัณฑ์เดียวมาตรฐานจำนวน 4 ปัญหาซึ่งได้รับการรวมไว้โดย Scholl ได้แก่ปัญหา Roszeg, Buxey, Sawyer, และ Warnecke จากผลการทดสอบพบว่าวิธีการที่นำเสนอนำมาลดลงมากที่สุดจากคำตอบที่ได้จากการที่นำเสนอเปรียบเทียบกับวิธี COMSOAL พบว่าวิธีการที่นำเสนอมีความสามารถให้คำตอบที่ดีกว่า ค่าความแปรปรวน ของการงานที่ลดลงมากที่สุดจากคำตอบที่ได้จากการที่นำเสนอเปรียบเทียบกับวิธี COMSOAL มีค่าเท่ากับ 96.73%

ปราเมศ ชุตินา และคณะ (2552) ได้วิจัยและนำเสนออัลกอริทึมในการแก้ปัญหาการจัดสมดุลสายการประกอบลักษณะตัวยู ที่มีการผลิตผลิตภัณฑ์ผสมที่มีหลากหลายวัตถุประสงค์ในระบบผลิตแบบทันเวลาพอดี ภายใต้ปัญหาประเภทที่ 1 โดยจะพิจารณาฟังก์ชันวัตถุประสงค์ทั้งหมด 3 วัตถุประสงค์พร้อมกันคือ จำนวนสถานีงานมีจำนวนน้อยที่สุด งานมีผลต่างความสัมพันธ์ในสถานีงานมีค่าน้อยที่สุดและความผันแปรของเวลาในสถานีงานทั้งหมดมีค่าน้อยที่สุด ซึ่งจะทำการเปรียบเทียบประสิทธิภาพของอัลกอริทึมที่นำเสนอกับอัลกอริทึมที่เป็นที่นิยมและได้คำตอบที่ดีในขณะนี้ คือ Non-dominated Sorting Genetic Algorithm II (NSGA-II) ผลที่ได้จากการเปรียบเทียบพบว่าอัลกอริทึมที่นำเสนอเป็นอัลกอริทึมที่มีประสิทธิภาพที่ดีกว่า อัลกอริทึม NSGA-II ในด้านคำตอบที่มีการถูกเข้าไปลักลุ่มคำตอบที่ดีที่สุดที่แท้จริงได้คิดเป็น 45.145% ด้านอัตราส่วนของจำนวนกลุ่มคำตอบที่หาได้เทียบเท่ากับกลุ่มคำตอบที่แท้จริง 100 % และด้านเวลาในการประมวลผลที่เร็วกว่าอัลกอริทึม NSGA-II

อ้วกิน ลักษณ์ และคณะ (2553) ได้นำเสนอวิธีชีวิตรสติก 4 วิธีคือ วิธีการของ Kilbridge & Wester (K&W), Ranked Positional Weight; (RPW), Maximum Task Time (Max. T.) และ Total Maximum Number of Following Tasks (Max. N.F.) เพื่อใช้ในการจัดสมดุลสายการประกอบซึ่งมีจำนวน 17 ขั้นงาน ผลที่ได้จากการจัดสมดุลสายการผลิต ด้วยวิธีชีวิตรสติก ทั้ง 4 วิธี ของผลิตภัณฑ์ตัวอย่างที่ศึกษานั้น คือ สถานีงานลดเหลือ 14 สถานี ประสิทธิภาพสายการผลิตเพิ่มขึ้นจาก 55.48 % เป็น 67.37 %

เดชา พวงดวงรีวงศ์ และสุภาภรณ์ สุวรรณรังสี (2552) ได้นำเสนอวิธีชีวิตรสติก M-COMSOAL ซึ่งพัฒนามาจากวิธี COMSOAL ที่เป็นวิธีที่ใช้โปรแกรมทาง Computer มาใช้ในการแก้ปัญหา โดยนำวิธีการดังกล่าวมาทดสอบกับปัญหาการจัดสมดุลสายการประกอบแบบผลิตภัณฑ์เดียวที่ถูกเสนอโดย Scholl จำนวน 4 ปัญหาผลการทดสอบพบว่าวิธี M-COMSOAL

สามารถดำเนินการแก้ไขปัญหาได้สะดวกและให้คำตอบที่น่าพึงพอใจทุกรูปแบบ เมื่อเปรียบเทียบวิธี COMSOAL พบว่าวิธีที่นำเสนอให้ค่าประสิทธิภาพของสายการประกอบเพิ่มขึ้นและให้ค่าความแปรปรวนของการงานลดลงมากที่สุดเมื่อเปรียบเทียบวิธี COMSOAL มีค่าเท่ากับ 97.09 %

นุชสรา เกรียงกรากุ และคณะ (2553) ได้นำเสนอวิธีชีวิสติก 4 วิธีคือ วิธีการของ Kilbridge & Wester (K&W), วิธีการใช้เกณฑ์นำหน้าเป็นตัวกำหนดตำแหน่ง (Ranked Positional Weight; RPW), วิธีการใช้เกณฑ์เวลามากที่สุด (Maximum Task Time; Max. T.) และวิธีการที่ใช้เกณฑ์จำนวนงานย่อที่ตามมาหั้งหมวดมากที่สุด (Total Maximum Number of Following Tasks; Max. N.F.) เพื่อใช้ในการจัดสมดุลสายการประกอบในโรงงานตัดเย็บเสื้อผ้าสำเร็จรูปแห่งหนึ่ง ซึ่งมีจำนวนขั้นงาน 17 งาน ผลที่ได้จากการจัดสมดุลสายการผลิต ด้วยวิธีชีวิสติก ทั้ง 4 วิธี ของผลิตภัณฑ์ตัวอย่างที่ศึกษานี้ ให้ผลลัพธ์ที่เท่ากัน ดังนั้นในตัวอย่างกรณีศึกษาในโรงงานดังกล่าวสามารถเลือกวิธีใดก็ได้ เพื่อนำไปปรับปรุงการจัดสมดุลสายการผลิต ทั้งนี้จะต้องพิจารณาองค์ประกอบอื่นๆ ร่วมด้วย เช่น ความยาก-ง่ายในการทำงานการโยกข้ายเครื่องจักร เป็นต้น และนอกจากนี้ ยังต้องอาศัยประสบการณ์ของผู้ที่รับผิดชอบในสายการผลิตนั้นๆด้วย จึงจะส่งผลให้การจัดสมดุลสายการผลิตเป็นไปอย่างเหมาะสมทั้งในทางทฤษฎีและปฏิบัติ

นรินทร์ จึงจำเริญกิจ และสมเกียรติ ตั้งจิตสิตเจริญ (2553) ได้นำเสนอวิธีการพัฒนาประสิทธิภาพกระบวนการผลิตเสื้อผ้าสำเร็จรูปภายใต้เงื่อนไขเวลาไม่คงที่ โดยใช้การจัดสมดุลการผลิตแบบหลายผลิตภัณฑ์ด้วยวิธีชีวิสติกและสอดคล้องกับเงื่อนไขที่สำคัญสองเงื่อนไขคือเวลาการทำงานรวมของแต่ละสถานีงานจะต้องน้อยกว่าหรือเท่ากับรอบเวลาการผลิตที่ยอมรับได้ (Acceptable Time) และขั้นงานที่ได้รับการจัดสรรให้กับแต่ละสถานีงานจะต้องสอดคล้องกับลำดับความสัมพันธ์ก่อนหลัง โดยมีวัตถุประสงค์เพื่อทำให้ความแปรปรวนของการงานน้อยที่สุด เวลาว่างงานน้อยที่สุด และประสิทธิภาพของสายการผลิตมากที่สุด รวมถึงการมอบหมายงานให้เหมาะสมกับทักษะฝีมือของพนักงานในโรงงานผลิตเสื้อผ้าสำเร็จรูปแห่งหนึ่งในจังหวัดฉะเชิงเทรา ซึ่งมีวัตถุประสงค์การศึกษาเพื่อเปรียบเทียบประสิทธิภาพการจัดสมดุลการผลิตระหว่างการจัดสมดุลการผลิตแบบหลายผลิตภัณฑ์ด้วยวิธีชีวิสติกและการจัดสมดุลการผลิตแบบผลิตภัณฑ์เดียวด้วยวิธี COMSOAL ซึ่งวิธีชีวิสติกที่ใช้คือ การปรับเรียนการงานโดยการโยกข้ายและสลับงานระหว่างสถานี (Trade and Transfer) หลักการของวิธีการแลกเปลี่ยนกระบวนการผลิตระหว่างสถานีคือ การพยายามทำให้สถานีงานทุกๆสถานีมีเวลาว่างงานที่ใกล้เคียงกัน จากการแลกเปลี่ยนงานระหว่างสองสถานีให้มีเวลางานรวมของสถานีใกล้เคียงกันมากที่สุดไปทีละคู่ จนเกิดการปรับเรียนตลอดสายการประกอบ หลักการของวิธีการโยกข้ายกระบวนการระหว่างสถานีคือการพยายามให้

สถานีงานทุกๆ สถานีมีเวลาว่างงานที่ใกล้เคียงกัน เนื่องจากมีการกระจายงานจากสถานีงานที่มีเวลา งานรวมของสถานีมาก ไปสู่สถานีที่มีเวลางานรวมของสถานีน้อย จากการศึกษาพบว่าในการจัด สมดุลสายการผลิตเสื้อโปโล 42 ชิ้นตอน ด้วยวิธีเชิงตัวเลข ให้ค่าประสิทธิภาพสายการผลิตสูงกว่า วิธี COMSOAL 8 % และลดจำนวนแรงงานได้ 2 คน

จากการศึกษาที่เกี่ยวข้องพบว่าวิธีเมตาเชิงตัวเลขมีประสิทธิภาพมากกว่าวิธี เชิงตัวเลขพื้นฐาน และมีหลักการเบื้องต้นของเมตาเชิงตัวเลขดังนี้

2.3.1 เมตาเชิงตัวเลขมีระเบียบวิธีในการค้นหาคำตอบที่คือภายในเขตของคำตอบที่เป็นไป ได้ (Feasible Region)

2.3.2 เมตาเชิงตัวเลขมีจุดประสงค์เพื่อหาคำตอบที่ดีที่สุดหรือคำตอบที่ใกล้เคียงที่ดีที่สุด ภายใน ระยะเวลาที่เหมาะสม

2.3.3 วิธีเมตาเชิงตัวเลขมีขั้นตอนแบบขั้นช้อนและไม่ขั้นช้อน เช่น วิธีโคลอเดริช (Local Search) วิธีระบบมด (Ant System) วิธีการเชิงพันธุกรรม (Genetic Algorithm) วิธีการค้นหา ต้องห้าม (Tabu Search) และวิธีเลียนแบบการอบอ่อน (Simulated Annealing) เป็นต้น

2.3.4 เมตาเชิงตัวเลขอาจเกิดจากการรวมหลากหลายวิธีเทคนิคเพื่อค้นหาคำตอบที่ดีที่สุด ภายในพื้นที่คำตอบที่เป็นไปได้

2.3.5 เมตาเชิงตัวเลขมีระเบียบขั้นตอนที่แน่นอนและสามารถปรับเปลี่ยนในรายละเอียด เมื่อนำไปใช้แต่ละปัญหา

2.3.6 เมตาเชิงตัวเลขมีการใช้ความจำชั่วคราวมากขึ้น ซึ่งในการจดจำคำตอบ เดิน เพื่อให้การค้นหาคำตอบที่ไม่ซ้ำที่เดิน

ซึ่งสามารถแบ่งเมตาเชิงตัวเลขได้ 6 ประเภทดังนี้

ประเภทที่ 1 เป็นเมตาเชิงตัวเลขที่เกิดจากแรงบันดาลใจจากรธรรมชาติและไม่ได้เกิด จากแรงบันดาลใจจากรูปแบบธรรมชาติ ได้แก่ วิธีระบบมด (Ant System) วิธีการเชิงพันธุกรรม (Genetic Algorithm) วิธีการเลียนแบบการอบอ่อน (Simulated Annealing) และวิธีการแกะกลุ่ม ประชากรแบบ Particle Swarm Optimization (PSO) เป็นต้น ส่วน เมตาเชิงตัวเลขที่ไม่ได้เกิดจากแรง บันดาลใจจากรธรรมชาติ ได้แก่ วิธีการค้นหาต้องห้าม (Tabu Search) เป็นต้น

ประเภทที่ 2 เป็นเมตาเชิงตัวเลขแบบใช้ประชากรหรือแบบไม่ใช้ประชากร แบบใช้ ประชากรคือในหนึ่งรอบของการค้นหาคำตอบจะ ได้คำตอบมากกว่าหนึ่งคำตอบให้เลือก เช่น วิธีระบบมด (Ant System) วิธีระบบมด (Ant System) วิธีการลอกแบบ (Memetic Algorithm) และวิธีการแกะกลุ่มประชากรแบบ Particle Swarm Optimization (PSO) เป็นต้น ส่วนเมตาเชิงตัวเลข แบบไม่ใช้ประชากร คือในหนึ่งรอบของการค้นหาคำตอบจะ ได้คำตอบออกมากเพียงหนึ่งคำตอบ

เท่านั้น เช่น วิธีเลียนแบบการอบอ่อน (Simulated Annealing) วิธีการค้นหาต้องห้าม (Tabu Search) และวิธีการค้นหาในพื้นที่คำตอบที่เป็นไปได้ในแบบวนซ้ำ (Iterated Local Search) เป็นต้น

ประเภทที่ 3 เป็นแมต้าชิวริสติกแบบสมการเป้าหมายคงที่หรือไม่คงที่ คือในหนึ่งรอบของการคำนวณอาจมีการเปลี่ยนแปลงสมการเป้าหมาย เพื่อให้ได้คำตอบใหม่ๆ เกิดขึ้นหรือไม่มีแบบสมการเป้าหมายคงที่ เช่น วิธี Guided Local Search เป็นต้น ประเภทที่ ส่วนแบบไม่มีขั้นตอน วิธีการเปลี่ยนแปลงสมการเป้าหมาย เช่น วิธีระบบมด (Ant System) วิธีการเชิงพันธุกรรม (Genetic Algorithm) วิธีเลียนแบบการอบอ่อน (Simulated Annealing) และวิธีการลอกแบบ (Memetic Algorithm) เป็นต้น

ประเภทที่ 4 เป็นวิธีแมต้าชิวริสติกแบบเปลี่ยนวิธีการหาคำตอบที่ใกล้เคียงคำตอบปัจจุบัน (Neighborhood) คงที่และไม่คงที่ กรณีคงที่ ได้แก่ วิธีระบบมด (Ant System) วิธีทางพันธุกรรม (Genetic Algorithm) เป็นต้น ส่วนกรณีไม่คงที่ ได้แก่ วิธีการค้นหาคำตอบใกล้เคียงแบบมีเงื่อนไข

ประเภทที่ 5 เป็นแมต้าชิวริสติกแบบมีและไม่มีหน่วยความจำ แบบที่มีหน่วยความจำจะมีการจดจำว่ามีคำตอบใดบ้างที่ผ่านมาแล้วเพื่อเป็นข้อมูลในการหาคำตอบถัดไป เช่น วิธีระบบมด (Ant System) วิธีการค้นหาต้องห้าม (Tabu Search) ส่วนวิธีที่ไม่ใช้หน่วยความจำ เช่น วิธีการค้นหาคำตอบเฉพาะที่แบบวนรอบซ้ำ เป็นต้น

ซึ่งจากการทบทวนงานวิจัยที่เกี่ยวข้องจะพบว่าวิธีเชิงพันธุกรรม เป็นวิธีที่มีผู้นิยมนำมาใช้ในการจัดสัมคุลสัยการประกอบซึ่งถือได้ว่าเป็นวิธีที่มีประสิทธิภาพมากวิธีหนึ่ง และเมื่อศึกษางานวิจัยที่เกี่ยวกับวิธีเชิงพันธุกรรม ก็พบว่าวิธีที่สามารถให้คำตอบได้เทียบเท่ากับวิธีเชิงพันธุกรรมแต่ใช้เวลาในการคำตอบได้เร็ว คือ วิธีการวิวัฒนาการ โดยใช้ผลต่าง (Differential Evolution: DE) จากนักความของ Dervis and Selcuk (2004) ได้อธิบายว่า Differential Evolution Algorithms (DEA) เป็นหนึ่งในวิธีการ Evolutionary Algorithms (EA) ที่มีขั้นตอนวิธีการวิวัฒนาการที่เป็นเทคนิคใหม่ในการเพิ่มประสิทธิภาพ ความสามารถในการจัดการที่เป็นลักษณะของปัญหา Non-Differentiable, Non-Linear และ Multimodal Objective Functions ในการทำงานสำหรับปัญหาขนาดใหญ่ที่ซับซ้อน ถือเป็นว่าความเร็วในการคำตอบของวิธีการวิวัฒนาการ โดยใช้ผลต่าง มีนัยสำคัญที่วิธีเชิงพันธุกรรม ดังนั้นวิธีการวิวัฒนาการ โดยใช้ผลต่างน่าจะเป็นวิธีการที่มีแนวโน้มในการแก้ปัญหาและช่วยเพิ่มประสิทธิภาพทางด้านวิศวกรรม ดังนั้นผู้วิจัยจึงได้ศึกษาทฤษฎีและงานวิจัยที่เกี่ยวข้องกับวิธีการวิวัฒนาการ โดยใช้ผลต่างดังต่อไปนี้

## 2.4 ทฤษฎีที่เกี่ยวข้องกับวิธีการวิวัฒนาการโดยใช้ผลต่าง

หลักการในการค้นหาคำตอบด้วยวิธีการวิวัฒนาการ โดยใช้ผลต่าง (Differential Evolution Algorithm: DE) ที่เสนอโดย Storn, R. and Price, K (1997) ได้อธิบายว่า กระบวนการทฤษฎีของวิธีการเป็นรูปแบบง่ายๆ และมีระยะเวลาในการคำนวนที่น้อย การวิวัฒนาการของวิธีการวิวัฒนาการโดยใช้ผลต่าง ถูกประยุกต์ใช้อย่างแพร่หลายและมีการแสดงจุดแข็งในหลายพื้นที่ที่มีการประยุกต์ใช้ในวิธีการค้นหาที่ยึดตามหลักประชากร การวิวัฒนาการจะเริ่มสู่ประชากรเริ่มต้นในขนาด N ของ เวกเตอร์มิติ การแก้ไขปัญหาการวิวัฒนาการอัลกอริทึมจะไปแทนที่มิติของเวกเตอร์ซึ่งค่าของตัวแปรแต่ละตัวในพื้นที่ของมิติจะถูกแสดงเป็นเลขในระบบจำนวนจริง ลักษณะที่เด่นชัดของกระบวนการ คือ กลไกใหม่สำหรับการสร้างเวกเตอร์ของการทดลองการวิวัฒนาการ จะสร้างเวกเตอร์การทดลองโดยการเปลี่ยนแปลงและมองข้ามหลักการคำนึงงาน จากนั้นจะคำนึงการคัดเลือก เมื่อเวกเตอร์การทดลองนี้มีประสิทธิภาพมากกว่าเวกเตอร์ที่สอดคล้องกัน กระบวนการเหล่านี้จะถูกคำนึงการอิกซ์จันก์ว่าจะมีเกณฑ์ขึ้นบังให้มีการหดหุด ทั้งนี้การวิวัฒนาการของประชากรก็จะถูกคำนึงการโดยผ่านวิธีการทำซ้ำของ 3 ขั้นตอน คือ การกลายพันธุ์ การครอสโอเวอร์ และการคัดเลือกด้วยกระบวนการทำงานในการวิวัฒนาการแบบคลาสสิก ซึ่งได้สรุปการแบ่งลำดับขั้นตอนที่สำคัญของการวิวัฒนาการแบบคลาสสิกไว้ดังนี้

**2.4.1 Initial population** คือ ขั้นตอนวิธีการสุ่มจำนวนจริง 0-1 ให้กับแต่ละขั้นตอนงาน เป็นการสร้างค่า Target Vector หรือคำตอบเริ่มต้นเพื่อเป็นค่าตัวสินໃในการจัดขั้นตอนงานลงสถานีงานและเป็นค่าเริ่มต้นของเวกเตอร์ที่นำไปใช้ในการ Mutation และ Crossover ต่อไป

**2.4.2 Mutation** คือ ขั้นตอนวิธีการปรับเปลี่ยนพิกัดให้ได้คำตอบใหม่ที่เปลกแตกต่างไปจากกลุ่มจำนวนประชากร เรียกว่า Weighting Factor: F หรือ เรียกว่า Mutation Factor: F เพื่อจุดประสงค์เดียวกับเปลี่ยนพิกัดภายในเวกเตอร์

**2.4.3 Crossover หรือ Recombination** คือ ขั้นตอนวิธีการแลกเปลี่ยนพิกัดระหว่างเวกเตอร์ ซึ่งจะได้เวกเตอร์ใหม่และมีคำตอบที่มีหักดิกกว่าและแยกกว่าอย่างหลากหลาย โดยมีการสร้าง Trial Vector เพื่อใช้ในการเปรียบเทียบและพิจารณาในการแลกเปลี่ยนพิกัดระหว่างเวกเตอร์

**2.4.4 Selection** คือ ขั้นตอนวิธีการคัดเลือกประชากรในรุ่นต่อไป (G+1) ซึ่งคัดเลือกเอาแต่เฉพาะ คำตอบที่ดีกว่า โดยการเปรียบเทียบผลของ Target Vector กับ Trial Vector ในกรณีที่จำนวนสถานีงานที่ได้ของ Trial Vector ต่ำกว่าหรือเท่ากับ (คำตอบดีกว่าหรือเท่ากับ) Target Vector จะถูกแทนที่ด้วย Trial Vector

## 2.5 งานวิจัยที่เกี่ยวข้องกับวิธีการวิวัฒนาการโดยใช้ผลต่าง

Andreas C. Nearchou (2005) "ได้วิจัยและนำเสนอวิธีการวิวัฒนาการ โดยใช้ผลต่าง ใน การแก้ปัญหาการจัดสมดุลสายการประกอบแบบเส้นตรง (SALB)" จากตัวอย่างปัญหาที่มาจาก <http://www.assembly-line-balancing.de> ที่มีขั้นงาน 7-111 ขั้นงาน ซึ่งมีวัตถุประสงค์เพื่อที่จะหา จำนวนสถานีงานน้อยที่สุด โดยที่เวลาของแต่ละสถานีจะต้องไม่เกินรอบเวลาการผลิต (Cycle time) และเป็นไปตามเงื่อนไขลำดับงานก่อนหลัง ซึ่งมีขั้นตอนการสุ่มตัวเลขค่าจริง 0 ถึง 1 เพื่อสร้าง เวกเตอร์เริ่มต้น ตัวอย่าง เช่น 0.23, 0.82, 0.03, 0.47, 0.62 และทำการ Mutation โดยนำหมายเลข ตำแหน่งของแต่ละงานหารด้วยจำนวนงาน จะได้ว่า งานตำแหน่งที่ 1 มีค่าที่ได้จากการ Mutation เท่ากับ 1/5 เท่ากับ 0.2 ดังนั้นจากตัวอย่างที่มี 5 งาน จะทำการ Mutation ให้ 0.2, 0.4, 0.6, 0.8, 1.0 ตามลำดับจากนั้นทำการ Crossover โดยการนำตัวเลขที่ได้จากการสุ่มโครน โอมเริ่มต้นมาพิจารณา ว่าอยู่ในช่วงใดของค่าที่ได้จากการ Mutation เรียกว่าค่า Sub-Rage (SR) หากอยู่ในช่วงใดให้ใช้ค่า ตำแหน่งงานในช่วงนั้นที่มีค่ามากกว่าหรือเท่ากับในช่วงนั้นมาใช้เป็นค่าตอบใหม่เพื่อใช้ใน ประชากรรุ่นถัดไป เช่น 0.23 อยู่ในช่วง 0.2 ถึง 0.4 ( $SR = 0.2 \leq 0.23 \leq 0.4$ ) ดังนั้นค่าตอบที่ได้จากการ Crossover คือ งานในตำแหน่งที่มีค่าจากการกลยุทธ์ 0.4 นั้นคืองานตำแหน่งที่ 2 ดังนั้นค่าตอบที่ได้คือ งานที่ 2, \_, \_, \_, \_ และ 0.82 อยู่ในช่วง 0.8 ถึง 0.1 ค่าตอบที่ได้คือ 2, 5, \_, \_, \_ เมื่อพิจารณาจนครบทุกงานจะได้ค่าตอบเป็น 2, 5, 1, 3, 4 เป็นต้น ผลจากการวิจัยพบว่าวิธีที่นำเสนอ ให้ค่าตอบที่เหมาะสมและใช้เวลาอ้อยในการหา ซึ่งจากการศึกษาพบว่าขั้นตอนดังกล่าวบังมีจุดที่ไม่ สอดคล้องในการทำงานเมื่อใช้กับปัญหาที่มีหลายงานหรือตัวเลขสุ่มเริ่มต้นมีค่าที่ใกล้เคียงกันมากๆ เช่น 0.3, 0.23, 0.24, 0.26, 0.8 เมื่อทำการ Crossover จะพบว่า 0.3, 0.23, 0.24, 0.26 จะอยู่ในช่วง 0.2 ถึง 0.4 ทั้งหมด และช่วงที่ 0 ถึง 0.2 จะไม่มีตัวเลขที่สุ่มเริ่มต้นอยู่ในช่วงนั้นเลย ซึ่งจะทำให้ค่าตอบ เริ่มต้นเป็นค่าตอบที่ไม่เป็นจริง แต่จะมีการซ้อมเช่นค่าตอบในภายหลัง

Xianhui Zeng, Wai-Keung Wong and Sunney Yung-Sun Leung (2012) "ได้นำเสนอวิธี PUDDE หรือ วิธีพาราได้วิวัฒนาการแบบไม่ต่อเนื่อง ในการจัดการกับปัญหาการจัดสรรผู้ปฏิบัติงาน ที่เรียกว่าปัญหา Operator Allocation Problems (OAP) เพื่อการจัดสรรงานที่เหมาะสมกับการ ควบคุมความสมดุลของสายการประกอบเมื่อมีการสร้างฟังก์ชันเป้าหมายโดยวัตถุประสงค์และ เงื่อนไข และไม่สามารถตัดสินใจได้ในวัตถุประสงค์เดียวได้ มีขั้นตอนคือใช้ วิธี DES Model ในการ จำลองสถานการณ์ทั่วไปและใช้ PUDDE ในการแก้ปัญหา OAP โดยการปรับปรุงผู้ปฏิบัติงานมีสอง แบบคือ ลดจำนวนหรือเพิ่มจำนวน ผลการทดลองสรุปได้ว่าวิธีการ PUDDE สามารถหาค่าตอบได้ อย่างมีประสิทธิภาพแต่อย่างไรก็ตามวิธีการนี้เหมาะสมกับการจัดสรรลดจำนวนผู้ปฏิบัติงาน

หากเปรียบเทียบกับวิธี DE แบบเดิมแล้ว วิธีการ PUDDE จะมีประสิทธิภาพที่ดีกว่าในการหาราชคุณประสงค์ที่มีการทดสอบของสายงานการประกอบในปัญหาเดียวกัน

Dexuan zou et al. (2011) ได้ทำการพัฒนาวิธีการวิวัฒนาการโดยใช้ผลต่าง สำหรับการแก้ปัญหาการนับหมายงานโดยได้ทำการปรับปรุง 2 ส่วนที่สำคัญของพารามิเตอร์ในขั้นตอนของวิธีการวิวัฒนาการโดยใช้ผลต่าง คือ Weighting Factor (F) และค่าของ Crossover Rate (CR) โดยใช้วิธีที่เรียกว่า Improve Differential Evolution (IDE) โดยให้ค่าของ F สามารถปรับค่าได้และค่าของ CR มีการเปลี่ยนค่าเป็นลักษณะเป็นขั้นๆ โดยได้อ้าตัวอย่างของปัญหานาเปรียบเทียบคำตอบกับวิธีการวิวัฒนาการ โดยใช้ผลต่างสองวิธีได้แก่ ODE และ JADE ผลปรากฏว่า IDE ที่พัฒนาขึ้นให้คำตอบดีกว่าทั้งสองวิธี ไม่ว่าจะเป็นลักษณะการลดต้นทุนและประสิทธิภาพที่เพิ่มขึ้นในระบบ

A.K. Qim, V. L. Huang and P.N. Suganthan (2009) ได้นำเสนอวิธีการวิวัฒนาการโดยใช้ผลต่าง โดยมีวิธีการ Mutation ที่นำพิกัดของเวกเตอร์ที่ดีที่สุดในประชากรแต่ละรุ่นเข้ามาเกี่ยวข้อง และใช้วิธี Crossover หรือ Recombination ที่มีการแลกเปลี่ยนพิกัดระหว่างเวกเตอร์ โดยใช้การเปรียบเทียบค่า Crossover Rate และการสุ่มพิกัด ซึ่งพบว่าเป็นวิธีที่มีประสิทธิภาพ

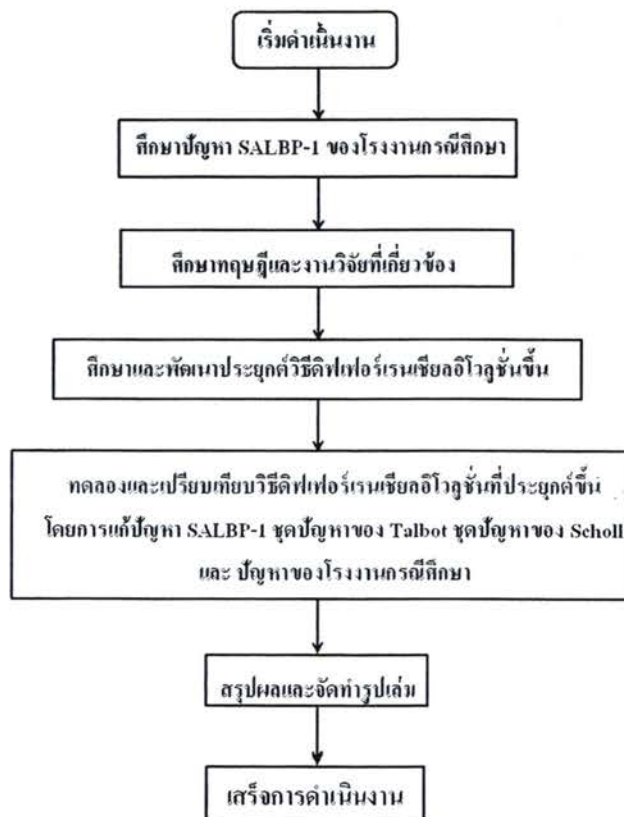
จากการทบทวน งานวิจัยที่เกี่ยวข้องกับวิธีการวิวัฒนาการโดยใช้ผลต่าง จะเห็นได้ว่าวิธีการหาราชคุณของวิธีการวิวัฒนาการโดยใช้ผลต่าง สามารถให้ค่าของคำตอบที่เหมาะสมและใช้ระยะเวลาในการหาราชคุณที่เร็วกว่าวิธีการหาราชคุณอื่นๆ และมีขั้นตอนการหาราชคุณที่ไม่ซับซ้อน สามารถนำไปประยุกต์ใช้กับปัญหาต่างๆ ได้อย่างหลากหลาย ดังนั้นในงานวิจัยในครั้งนี้ผู้วิจัยจึงเลือกและนำหลักการหาราชคุณของวิธีการวิวัฒนาการโดยใช้ผลต่าง มาประยุกต์ใช้การหาราชคุณของงานวิจัยในแก้ปัญหาการจัดสมดุลสายการประกอบแบบเส้นตรงที่มีผลิตภัณฑ์ชนิดเดียว (SALBP) สำหรับชุดปัญหาของ Talbot ชุดปัญหาของ Scholl และปัญหาและของโรงงานกรณีศึกษา

## บทที่ 3

### วิธีการดำเนินงานวิจัย

ในบทนี้จะกล่าวถึงขั้นตอนดำเนินงานวิจัยการจัดสมดุลสายการประกอบแบบเส้นตรง ประเภทที่ 1 ซึ่งเริ่มจากการศึกษาปัญหาในโรงงานกรณีศึกษาและพนว่าปัญหาการจัดสมดุลสายการประกอบที่เป็นกิจกรรมหลักขององค์กรนั้นเป็นปัญหาที่น่าสนใจ จึงได้ทำการศึกษาทฤษฎีและงานวิจัยที่เกี่ยวข้องที่มีลักษณะของปัญหาร่วมถึงวิธีการแก้ไขปัญหาที่สามารถนำมาระบบใช้กับปัญหานี้ได้ จากนั้นได้ศึกษาและพัฒนาประยุกต์ใช้วิธีการวิวัฒนาการ โดยใช้ผลต่างขึ้นแล้วนำมาทดลองกับชุดปัญหาของ Talbot ชุดปัญหาของ Scholl และปัญหากรณีศึกษา เมื่อได้ผลการทดลอง จึงรวมรวมข้อมูลและนำมายังเคราะห์สรุปผลการทดลอง ดังภาพที่ 3.1

#### 3.1 ขั้นตอนการดำเนินงานวิจัย



ภาพที่ 3.1 ลำดับขั้นตอนดำเนินงานวิจัย

### 3.2 ศึกษาปัญหา SALBP-1 ของโรงงานกรณีศึกษา

ผู้วิจัยได้ศึกษาการจัดสมดุลสายการประกอบแบบเส้นตรงประเภทที่ 1 (SALBP-1) กรณีทราบค่ารับอนเวลากำลังผลิต ( $c$ ) และห้ามจำนวนสถานีงาน ( $m$ ) น้อยที่สุด เนื่องจากโรงงานกรณีศึกษาเป็นโรงงานอุตสาหกรรมสิ่งทอส่งออกเสื้อผ้าสำเร็จรูปที่มีสายการผลิตเป็นแบบเส้นตรง และมีผลิตภัณฑ์ชนิดเดียว จึงได้เลือกสายการผลิตที่มีขั้นตอนงาน 52 งาน และมีรับเวลาการผลิตที่ได้จากการคำนวณเป้าหมายที่ฝ่ายวางแผนการผลิต ได้มาจากเป้าหมายของลูกค้า ซึ่งสายการผลิตนี้ มีปัญหาในการผลิตลินค้าไม่ได้ตามเป้าหมายที่ลูกค้าต้องการ งานนี้จึงทำการการเก็บข้อมูลของขั้นตอนงานจากการใช้โปรแกรม SAW EASY ที่คำนวณเวลาการทำงานจากระยะทางในการเย็บ จึงได้ข้อมูลเวลาของแต่ละขั้นตอนเป็นตัวเลขคงที่ และทำการศึกษาขั้นตอนการเย็บเพื่อเก็บข้อมูล ลำดับงานก่อนหลังของแต่ละขั้นตอนงาน ซึ่งรายละเอียดของกรณีศึกษาจะแสดงใน บทที่ 5

### 3.3 ศึกษาทฤษฎีและงานวิจัยที่เกี่ยวข้อง

ผู้วิจัยได้ศึกษางานวิจัยที่เกี่ยวข้องในการจัดสมดุลสายการประกอบแบบเส้นตรงประเภทที่ 1 และงานวิจัยอุตสาหกรรมอื่นๆที่เกี่ยวข้อง โดยเริ่มจากบทความที่ใช้วิธีเชิงปรัชญาในการจัดสมดุลสายการประกอบจากหลายๆบทความที่ใช้วิธีสถิติกพื้นฐานในการจัดสมดุลสายการประกอบจากหลายๆบทความที่ใช้วิธีสถิติก เช่น การปรับปรุงสมดุลสายการผลิตในโรงงานตัดเย็บเสื้อผ้าสำเร็จรูป โดย อัศวิน ลักษณ์ และคณะ (2553) และจากการศึกษาเพิ่มเติมพบว่าวิธีเมต้าเชิร์ลติกเป็นวิธีการที่มีประสิทธิภาพนำไปใช้ได้ง่ายและสามารถประยุกต์ใช้กับปัญหาต่างๆได้อย่างหลากหลาย งานนี้จึงได้ศึกษางานวิจัยที่ใช้วิธีเมต้าเชิร์ลติกวิธีต่างๆในการจัดสมดุลสายการประกอบ เช่น A two-stage heuristic method for balancing mixed-model assembly lines with parallel workstation โดย Pedro M. Vilarinho and Ana Sofia Simaria (2002) รวมถึงบทความอื่นๆที่เกี่ยวข้องทำให้ทราบว่าวิธีที่มีประสิทธิภาพและวิธีที่นิยมนิยมนำมาใช้อย่างแพร่หลาย คือ วิธีเชิงพันธุกรรม และจากศึกษาทฤษฎีจากบทความ A Simple and Global Optimization Algorithm for Engineering โดย Dervis and Selcuk (2004) พบว่าวิธีการวิวัฒนาการ โดยใช้ผลต่าง เป็นอัลกอริทึมที่มีประสิทธิภาพเทียบเท่ากับวิธีเชิงพันธุกรรม แต่จะใช้เวลาเร็วกว่าในการพบคำตอบที่ดีที่สุด ดังนั้นผู้วิจัยเลือกวิธีการวิวัฒนาการ โดยใช้ผลต่าง ในการใช้แก้ปัญหาการจัดสมดุลสายการประกอบและได้ทำการศึกษาทฤษฎีวิธีการปรับปรุงคำตอบของวิธีการวิวัฒนาการ โดยใช้ผลต่างจากบทความของ Andreas C. Nearchou (2005) และบทความของ A.K. Qim, V. L. Huang, and P.N. Suganthan (2009)

### 3.4 ปรับปรุงและพัฒนาวิธีการปรับปรุงคำตอบของวิธีการวิจัยโดยใช้ผลต่าง

จากการศึกษาทฤษฎีและงานวิจัยที่เกี่ยวข้องกับวิธีการวิจัยโดยใช้ผลต่าง ซึ่งพบว่าเป็นวิธีที่มีประสิทธิภาพและใช้เวลารวดเร็วในการหาคำตอบ โดย Andreas C. Nearchou (2005) ได้ออกแบบวิจัยโดยใช้ผลต่าง เพื่อใช้แก้ปัญหาระบบจัดการคุณภาพแบบเส้นตรงประเภทที่ 1 ชุดปัญหาของ Talbot มีขั้นตอนงานตั้งแต่ 7-111 งาน จำนวน 64 ปัญหา ที่มีผู้วิจัยนิยมนำมาใช้อ่านเพื่อทราบ ซึ่งสามารถหาคำตอบที่ดีที่สุดได้เพียง 61 ปัญหา ผู้วิจัยจึงได้พัฒนาและประยุกต์ใช้วิจัยโดยใช้ผลต่าง ให้มีประสิทธิภาพเพิ่มจากที่ Andreas ได้ออกแบบไว้ โดยนำวิธี Mutation 3 วิธี คือ “DE/rand”, “DE/Best/1”, “DE/rand-to-best”/1 มาใช้ร่วมกับวิธี Crossover หรือ Recombination 2 วิธี คือ Binomial crossover และ Exponential crossover 2 position ที่ได้พัฒนาปรับปรุงจากวิธี Exponential crossover เดิมมาใช้กับปัญหาระบบจัดการคุณภาพ ทำให้ได้วิธีการวิจัยโดยใช้ผลต่างที่มีวิธีการปรับปรุงคำตอบ 6 วิธี ดังนี้

“DE/rand” ร่วมกับ Binomial crossover

“DE/Best/1” ร่วมกับ Binomial crossover

“DE/rand-to-best/1” ร่วมกับ Binomial crossover

“DE/rand” ร่วมกับ Exponential crossover 2 position

“DE/Best/1” ร่วมกับ Exponential crossover 2 position

“DE/rand-to-best/1” ร่วมกับ Exponential crossover 2 position

### 3.5 ทดสอบและเปรียบเทียบวิธีการปรับปรุงคำตอบของวิธีการวิจัยโดยใช้ผลต่าง

เมื่อได้วิธีปรับปรุงคำตอบที่ประยุกต์ขึ้นทั้ง 6 วิธี จากนั้นผู้วิจัยจึงได้นำมาเปรียบเทียบกับวิจัยโดยใช้ผลต่างที่ Andreas ได้ออกแบบไว้ โดยใช้ทดลองกับปัญหาเดียวกันคือชุดปัญหาของ Talbot ที่มีขั้นตอนงานตั้งแต่ 7 – 111 งาน ซึ่งพบว่าทั้ง 6 วิธีพบคำตอบที่ดีที่สุดเท่ากันครบถ้วน 64 ปัญหา ดังนั้นผู้วิจัยจึงเปรียบเทียบทั้ง 6 วิธี โดยพิจารณาเวลาที่ใช้กันพนคำตอบที่ดีที่สุด จากนั้นจึงนำวิธี DE ทั้ง 6 วิธีมาทดลองกับชุดปัญหาของ Scholl ที่มีขั้นตอนงานตั้งแต่ 25 – 297 งาน มีความซับซ้อนและขนาดของปัญหาที่เพิ่มขึ้น ซึ่งพบว่าวิธีที่ 1-5 สามารถพนคำตอบที่ดีที่สุดเท่ากัน และวิธีที่ 6 สามารถพนคำตอบที่ดีที่สุดมากกว่า จากนั้นผู้วิจัยจึงเปรียบเทียบทั้ง 6 วิธี โดยพิจารณาจำนวนปัญหาที่มีผลคำตอบที่ดีกว่าในระหว่างทั้ง 6 วิธี เมื่อทดลองกับชุดปัญหาที่มีผู้วิจัยนำไปใช้กันอย่างเพื่อทราบแล้วถือได้ว่าวิจัยโดยใช้ผลต่างที่ประยุกต์ขึ้นเป็นวิธีที่มีประสิทธิภาพวิธีหนึ่ง จากนั้นผู้วิจัยจึงนำมาทดลองกับปัญหาจริง โดยนำมาจัดสมคุลสาขการประกอบกรณีศึกษาที่มี

ขั้นตอนงาน 52 งาน ก็พบว่าสามารถลดสถานีงานจากสายการประกอบปัจจุบันได้เท่ากันทั้ง 6 วิธี ดังนั้นผู้วิจัยจึงเปรียบเทียบทั้ง 6 วิธี โดยพิจารณาเวลาที่ใช้ค้นพบคำตอบที่ดีที่สุด โดยใช้โปรแกรม Bloodhed Dev-C++ 4.9.9.2.

### 3.6 สรุปและวิเคราะห์ผลการทดลอง

นำผลที่ได้จากการทดลองการแก้ปัญหาการจัดสมดุลสายการประกอบแบบเด็นตร์ ประเภทที่ 1 (SALBP-1) จากชุดปัญหาของ Talbot จำนวน 64 ปัญหาที่มีขั้นตอนงานตั้งแต่ 7-111 งาน และชุดปัญหาของ Scholl จำนวน 168 ปัญหาที่มีขั้นตอนงานตั้งแต่ 25-297 งาน ซึ่งนำข้อมูลมา จาก [www.assembly-line-balancing.de](http://www.assembly-line-balancing.de) และปัญหาของโรงงานกรณีศึกษาที่มีขั้นตอนงาน 52 งาน มาสรุปผลและวิเคราะห์กระบวนการทำงานของวิธีปรับปรุงคำตอบทั้ง 6 วิธี ในกรณีนำไปใช้กับ ปัญหาที่มีความซับซ้อนและใช้กับปัญหาที่มีขนาดต่างๆ กันไป

## บทที่ 4

### วิธีการวิวัฒนาการโดยใช้ผลต่าง

#### สำหรับการจัดสมดุลสายการประกอบแบบเส้นตรงประเภทที่ 1

ในบทนี้จะกล่าวถึงการพัฒนาประยุกต์ใช้วิธีการวิวัฒนาการโดยใช้ผลต่าง โดยการนำวิธี Mutation 3 วิธี มาใช้ร่วมกับวิธี Crossover และ Recombination 2 วิธี แล้วนำวิธีใหม่ที่ได้ทั้ง 6 วิธี มาทดสอบกับชุดปัญหาการจัดสมดุลสายการประกอบของ Talbot 64 ปัญหา และทำการทดลองเพิ่มเติมกับชุดปัญหาของ Scholl 168 ปัญหาที่นำข้อมูลมาจาก [www.assembly-line-balancing.de/](http://www.assembly-line-balancing.de/) เพื่อจะนำผลที่ได้จากการทดสอบน้ำวิเคราะห์กระบวนการทำงานและความเหมาะสมของแต่ละวิธี ใน การนำไปใช้กับปัญหาที่มีความซับซ้อนและใช้กับปัญหาที่มีขนาดต่างๆ กันไป โดยจาก การศึกษาความของ A.K. Qim, V. L. Huang, and P.N. Suganthan (2009) ผู้วิจัยได้นำวิธี Mutation 3 วิธี คือ “DE/rand/1”, “DE/Best/1” , “DE/rand-to-best”/1 มาใช้ร่วมกับวิธี Crossover หรือ Recombination 2 วิธีคือ Binomial Crossover และ Exponential Crossover 2 position ที่ได้พัฒนาปรับปรุงจากวิธี Exponential Crossover เดิมมาพัฒนาใช้กับปัญหาการจัดสมดุลสายการประกอบ ทำให้ได้วิธีการวิวัฒนาการโดยใช้ผลต่างที่มีวิธีการปรับปรุงคำตอน 6 วิธี ดังนี้

“DE/rand” ร่วมกับ Binomial Crossover

“DE/Best/1” ร่วมกับ Binomial Crossover

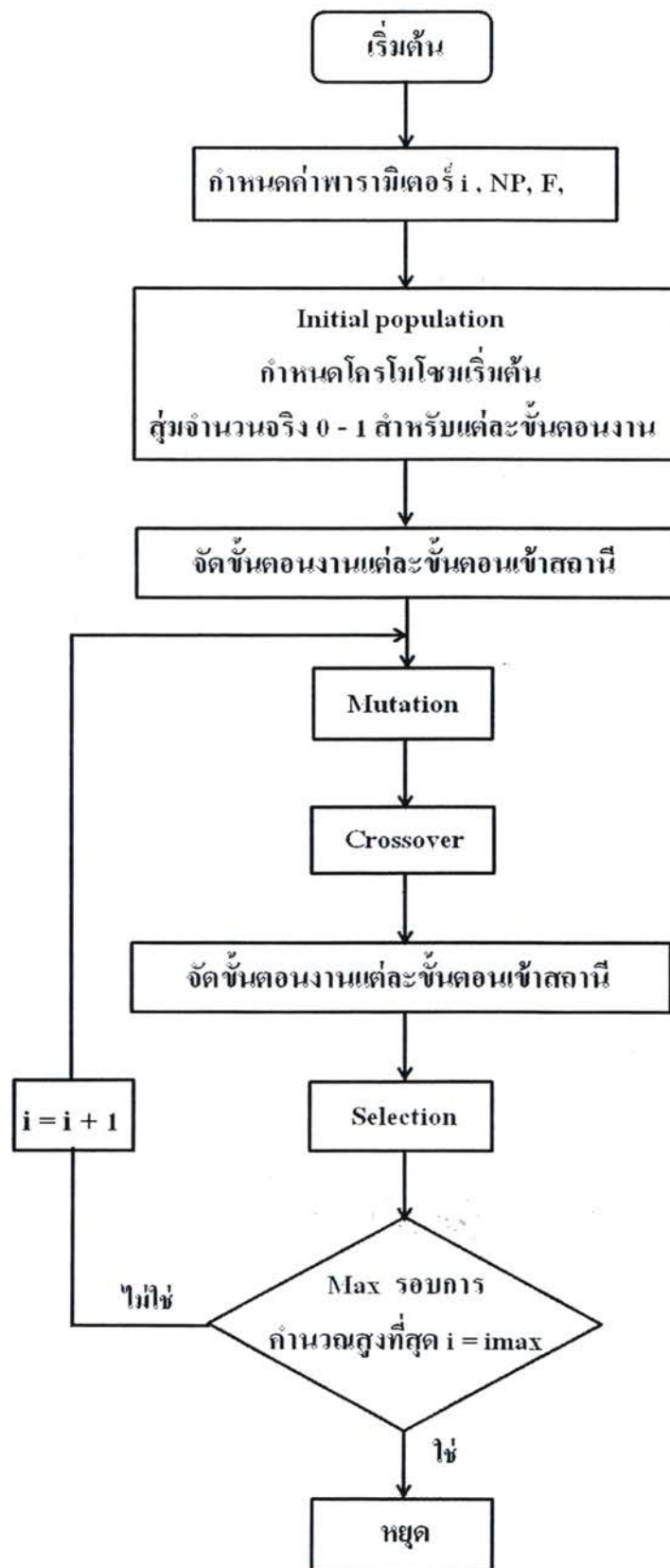
“DE/rand-to-best/1” ร่วมกับ Binomial Crossover

“DE/rand” ร่วมกับ Exponential Crossover 2 Position

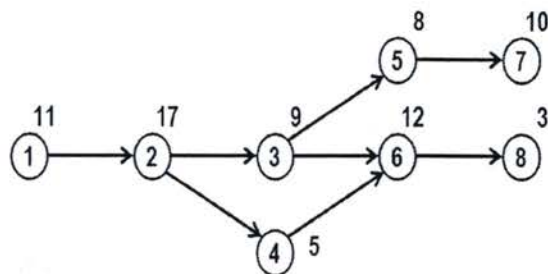
“DE/Best/1” ร่วมกับ Exponential Crossover 2 Position

“DE/rand-to-best/1” ร่วมกับ Exponential Crossover 2 Position

ซึ่งสามารถอธิบายขั้นตอนการทำงานของวิธี Mutation และวิธี Crossover หรือ Recombination ของทั้ง 6 วิธีได้จากตัวอย่างการแก้ปัญหาการจัดสมดุลสายการประกอบจากภาพที่ 4.2 ที่มีขั้นตอนดังนี้



ภาพที่ 4.1 Flow chart ขั้นตอนการทำงานของวิธีการวิวัฒนาการ โดยใช้ผลต่าง



ภาพที่ 4.2 แผนภาพลำดับงานก่อน-หลังของปัญหาตัวอย่าง (Bowman problem, 1960)

จากภาพที่ 4-2 แสดงแผนภาพลำดับงานก่อน-หลังของปัญหาการจัดสมดุลสายการประกอบอย่างง่ายที่มี 9 งาน ตัวเลขในวงกลมแสดงชื่อของแต่ละงาน และตัวเลขบนวงกลมแสดงเวลาของงานนั้นๆ ซึ่งปัญหานี้กำหนดให้มีร่องเวลาการผลิตเท่ากับ 17

#### 4.1 “DE/rand” ร่วมกับ Binomial Crossover

4.1.1 การสร้างค่าตوبเริ่มต้น (Initial population) ก็คือขั้นตอนการสุ่มจำนวนจริง 0-1 ให้กับแต่ละงาน เป็นการสร้างค่า Target Vector หรือค่าตوبเริ่มต้นเพื่อเป็นค่าตัดสินใจในการจัดงานลงสถานีงานและเป็นค่าเริ่มต้นของเวกเตอร์ที่ใช้ในการ Mutation และ Crossover หรือ Recombination ต่อไป ซึ่งแสดงให้เห็นจากปัญหาตัวอย่างภาพที่ 4.2 และตารางที่ 4.1

ตารางที่ 4.1 ผลการสร้างค่าตوبเริ่มต้นของปัญหา โดยกำหนดให้มี 5 เวกเตอร์

| Vector 1 | Station       | 1    | 2    | 3    |      | 4    |      | 5    | 6    |
|----------|---------------|------|------|------|------|------|------|------|------|
|          | Work          | 1    | 2    | 3    | 4    | 6    | 8    | 5    | 7    |
|          | Time          | 11   | 17   | 9    | 5    | 12   | 3    | 8    | 10   |
|          | Target Vector | 0.3  | 0.72 | 0.53 | 0.61 | 0.44 | 0.57 | 0.68 | 0.92 |
| Vector 2 | Station       | 1    | 2    | 3    |      | 4    |      | 5    |      |
|          | Work          | 1    | 2    | 3    | 5    | 7    | 4    | 6    | 8    |
|          | Time          | 11   | 17   | 9    | 8    | 10   | 5    | 12   | 3    |
|          | Target Vector | 0.74 | 0.82 | 0.44 | 0.32 | 0.57 | 0.69 | 0.21 | 0.92 |

ตารางที่ 4.1 ผลการสร้างคำตอบเริ่มต้นของปัญหา โดยกำหนดให้มี 5 เวกเตอร์ (ต่อ)

| Vector 3 | Station       | 1    | 2    | 3    | 4    |      | 5    | 6    |      |
|----------|---------------|------|------|------|------|------|------|------|------|
|          | Work          | 1    | 2    | 3    | 4    | 5    | 6    | 7    | 8    |
|          | Time          | 11   | 17   | 9    | 5    | 8    | 12   | 10   | 3    |
|          | Target Vector | 0.51 | 0.92 | 0.41 | 0.62 | 0.67 | 0.84 | 0.88 | 0.96 |
| Vector 4 | Station       | 1    | 2    | 3    |      | 4    |      | 5    | 6    |
|          | Work          | 1    | 2    | 4    | 3    | 6    | 8    | 5    | 7    |
|          | Time          | 11   | 17   | 5    | 9    | 12   | 3    | 8    | 10   |
|          | Target Vector | 0.13 | 0.64 | 0.21 | 0.42 | 0.69 | 0.26 | 0.81 | 0.58 |
| Vector 5 | Station       | 1    | 2    | 3    | 4    |      | 5    |      | 6    |
|          | Work          | 1    | 2    | 3    | 4    | 6    | 5    | 8    | 7    |
|          | Time          | 11   | 17   | 9    | 5    | 12   | 8    | 3    | 10   |
|          | Target Vector | 0.91 | 0.48 | 0.32 | 0.59 | 0.41 | 0.76 | 0.84 | 0.98 |

จากตารางที่ 4.1 เป็นสร้างค่า Target Vector ให้กับแต่ละงาน เช่นงานที่ 1 Vector ที่ 1 สูงได้ 0.3 เมื่อนำค่า Target Vector ที่สูงได้มาจัดสมดุลสายการประกอบตามเงื่อนไขลำดับงาน ก่อนหลังและเวลารวมแต่ละสถานีงานต้องไม่เกินรอบเวลาผลิต โดยพิจารณา Target Vector ที่มีค่าต่ำกว่า ก่อน ทำให้ได้คำตอบของเวกเตอร์ที่ 1-5 เท่ากับ 6, 5, 6, 6 และ 6 สถานีตามลำดับ

**4.1.2 Mutation** คือ ขั้นตอนการการปรับเปลี่ยนพิกัดให้ได้คำตอบใหม่ที่แปลกแตกต่างไปจากกลุ่มจำนวนประชากรเดิม เรียกว่า Weighting Factor: F หรือ เรียกว่า Mutation Factor: F เพื่อจุดประสงค์ของการผ่านเหล่า โดยคำนวณหา Mutant Vector ( $V_{i,G+1}$ ) ดังสมการที่ (4.1) และสามารถแสดงตัวอย่างการ Mutation ดังตารางที่ 4.2 ดังนี้

$$V_{i,G+1} = X_{r1,G} + F(X_{r2,G} - X_{r3,G}) \quad (4.1)$$

เมื่อ  $F$  = Weighting Factor เป็นจำนวนจริงตั้งแต่ 0-2

$X_{r1,G}, X_{r2,G}, X_{r3,G}$  = Random Vector จากประชากรเริ่มต้น

ตารางที่ 4.2 ผลการ Mutation เวกเตอร์ที่ 1 โดยใช้วิธี “DE/rand”

| Vector                 | Position             | 1     | 2    | 3    | 4     | 5     | 6     | 7    | 8    |
|------------------------|----------------------|-------|------|------|-------|-------|-------|------|------|
| 1                      | <b>Work</b>          | 1     | 2    | 3    | 4     | 6     | 8     | 5    | 7    |
|                        | <b>Target Vector</b> | 0.3   | 0.72 | 0.53 | 0.61  | 0.44  | 0.57  | 0.68 | 0.92 |
| 2                      | <b>Work</b>          | 1     | 2    | 3    | 5     | 7     | 4     | 6    | 8    |
|                        | <b>Target Vector</b> | 0.74  | 0.82 | 0.44 | 0.32  | 0.57  | 0.69  | 0.21 | 0.92 |
| 3                      | <b>Work</b>          | 1     | 2    | 3    | 4     | 5     | 6     | 7    | 8    |
|                        | <b>Target Vector</b> | 0.51  | 0.92 | 0.41 | 0.62  | 0.67  | 0.84  | 0.88 | 0.96 |
| 4                      | <b>Work</b>          | 1     | 2    | 4    | 3     | 6     | 8     | 5    | 7    |
|                        | <b>Target Vector</b> | 0.13  | 0.64 | 0.21 | 0.42  | 0.69  | 0.26  | 0.81 | 0.58 |
| 5                      | <b>Work</b>          | 1     | 2    | 3    | 4     | 6     | 5     | 8    | 7    |
|                        | <b>Target Vector</b> | 0.91  | 0.48 | 0.32 | 0.59  | 0.41  | 0.76  | 0.84 | 0.98 |
| <b>Mutant Vector 1</b> |                      | -0.02 | 1.07 | 0.60 | 0.634 | 0.648 | 0.634 | 0.71 | 0.90 |

จากตารางที่ 4.2 แสดงผลของการ Mutation เวกเตอร์ที่ 1 โดยใช้วิธี “DE/rand” ซึ่งสุ่ม  $X_{r1,G}$ ,  $X_{r2,G}$ ,  $X_{r3,G}$  ได้ เวกเตอร์ที่ 1, 3 และ 5 ตามลำดับ และกำหนดให้ค่า  $F = 0.8$  เช่น พิกัด (Position) ที่ 6  $X_{r1,G} = 0.57$   $X_{r2,G} = 0.84$  และ  $X_{r3,G} = 0.76$  ดังนั้น Mutant Vector ที่ 1 พิกัดที่ 6 จึงเท่ากับ 0.634

**4.1.3 Crossover หรือ Recombination** คือ ขั้นตอนวิธีการแลกเปลี่ยนพิกัดระหว่าง เวกเตอร์ ซึ่งจะได้เวกเตอร์ใหม่ของคำตอบที่มีทั้งดีกว่าและแย่กว่าอย่างหลากราย โดยมีการสร้าง Trial Vector ( $U_{ji,G+1}$ ) ดังสมการที่ (4.2) และทำการเปรียบเทียบพิจารณาในการแลกเปลี่ยนพิกัดดัง สมการที่ (4-3) ซึ่งสามารถแสดงตัวอย่างดังตารางที่ 4.3 และ 4.4 ดังนี้

$$U_{ji,G+1} = (U_{1i,G+1}, U_{2i,G+1}, \dots, U_{Di,G+1}) \quad (4.2)$$

$$U_{ji,G+1} = \begin{cases} V_{ji,G+1} & \text{if } (\text{rand } j [0, 1]) = CR \\ X_{ji,G+1} & \text{if } (\text{rand } (j)) > CR \end{cases} \quad (4.3)$$

เมื่อ  $V_{ji,G+1}$  = Mutant Vector,

$X_{ji,G+1}$  = Target Vector

CR = Crossover Constant จำนวนจริงมีค่า 0 ถึง 1

rand(j [0,1) = สุ่มค่าจริง 0 – 1 ทุกพิกัด , j = 1,2,3,...,G (G = จำนวนพิกัด)

ตารางที่ 4.3 ผลการ Binomial Crossover เวกเตอร์ที่ 1 ที่ใช้ร่วมกับวิธี “DE/rand”

| Vector | Position             | 1     | 2    | 3    | 4     | 5     | 6     | 7    | 8    |
|--------|----------------------|-------|------|------|-------|-------|-------|------|------|
| 1      | <b>Work</b>          | 1     | 2    | 3    | 4     | 6     | 8     | 5    | 7    |
|        | <b>Target Vector</b> | 0.3   | 0.72 | 0.53 | 0.81  | 0.44  | 0.57  | 0.68 | 0.92 |
|        | <b>Mutant Vector</b> | -0.02 | 1.07 | 0.60 | 0.634 | 0.648 | 0.634 | 0.71 | 0.90 |
|        | <b>rand(j)</b>       | 0.2   | 0.82 | 0.79 | 0.34  | 0.680 | 0.930 | 0.43 | 0.86 |
|        | <b>Trial Vector</b>  | -0.02 | 0.72 | 0.60 | 0.634 | 0.648 | 0.57  | 0.71 | 0.92 |

จากตารางที่ 4.3 แสดงผลของการ Binomial Crossover เวกเตอร์ที่ 1 ซึ่งกำหนดให้ค่า CR = 0.8 ดังนี้ Trial Vector ของพิกัดที่ 2, 6 และ 8 จะใช้ค่าของ Target Vector ตัวนั้นแทนที่เหลือจะใช้ค่าของ Mutant Vector

ตารางที่ 4.4 ผลการจัดสมดุลสายการประกอบโดยใช้ค่า Trial Vector จากตารางที่ 4.3

| Vector 1 | Station      | 1     | 2    | 3    |       | 4    |      | 5    | 6    |
|----------|--------------|-------|------|------|-------|------|------|------|------|
|          | Work         | 1     | 2    | 3    | 4     | 6    | 8    | 5    | 7    |
|          | Time         | 11    | 17   | 9    | 5     | 12   | 3    | 8    | 10   |
|          | Trial Vector | -0.02 | 0.72 | 0.60 | 0.634 | 0.71 | 0.57 | 0.71 | 0.92 |

จากตารางที่ 4.4 เมื่อนำค่า Trial Vector ที่ได้มาจัดสมดุลสายการประกอบตามเงื่อนไข ลำดับงานก่อนหลังและเวลารวมแต่ละสถานีงานต้องไม่เกินรอบเวลาผลิต โดยพิจารณา Trial Vector ที่มีค่าต่ำกว่า 0 ทำให้ได้คำตอบ 6 สถานี

**4.1.4 Selection** คือ ขั้นตอนการคัดเลือกประชากรในรุ่นต่อไป ( $G+1$ ) ซึ่งจะคัดเลือกเอา แต่เฉพาะ คำตอบที่ดีกว่า โดยการเปรียบเทียบผลของ Target Vector กับ Trial Vector ในกรณีที่ จำนวนสถานีงานที่ได้ของ Trial Vector ต่ำกว่าหรือเท่ากับ Target Vector ดังนั้นจะเลือก Trial Vector เป็นประชากรในรุ่นต่อไป ดังสมการที่ (4.4)

เนื่องจากหากมีผลเท่ากันแล้วนำมาเปรียบเทียบระหว่างการเลือก Trial Vector หรือ Target Vector เป็นประชากรในรุ่นดั้งไป พบว่าสามารถพับคำตอบที่ดีที่สุดได้เท่ากัน จึงนำมาเปรียบเทียบเวลาที่ใช้ในการพับคำตอบที่ดีที่สุดพบว่า เมื่อเลือก Trial Vector เป็นประชากรในรุ่นต่อไป จะใช้เวลาสั้นกว่าในการค้นพับคำตอบที่ดีที่สุด ซึ่งแสดงให้เห็นจากการทดลองโดยใช้วิธี “DE/rand” ร่วมกับ Binomial Crossover ในการทดลองกับปัญหา Arcus 2 ที่มี 111 งาน มีรอบเวลาการผลิตเท่ากับ 5755 เนื่องจากเป็นปัญหาที่มีขนาดใหญ่ถึงมีความซับซ้อนของปัญหามาก จากการทดลองพบว่าในการเลือกห้องสองค่าเป็นประชากรในรุ่นดั้งไปสามารถพับคำตอบที่ดีที่สุดเท่ากันคือ 23 สถานี จึงทำการทดลองโดยเปรียบเทียบเวลาที่ใช้ในการพับคำตอบที่ดีที่สุด ดังตารางที่ 4.5 ซึ่งจากการหาค่าพารามิเตอร์ที่เหมาะสมกำหนดให้ค่า  $F = 0.8$ ,  $Cr = 0.8$  และ  $NP = 150$

ตารางที่ 4.5 ผลการเปรียบเทียบเวลาที่พับคำตอบที่ดีที่สุดระหว่างการเลือก Trial Vector หรือ Target Vector เป็นประชากรในรุ่นต่อไป

| Selection       | DE/rand            |            |            |            |            |            |            |            |            |             |
|-----------------|--------------------|------------|------------|------------|------------|------------|------------|------------|------------|-------------|
|                 | Binomial Crossover |            |            |            |            |            |            |            |            |             |
|                 | 1<br>(sec)         | 2<br>(sec) | 3<br>(sec) | 4<br>(sec) | 5<br>(sec) | 6<br>(sec) | 7<br>(sec) | 8<br>(sec) | 9<br>(sec) | 10<br>(sec) |
|                 | Target<br>Vector   | 10.65      | 9.54       | 18.95      | 19.12      | 15.24      | 10.55      | 29.17      | 11.52      | 11.66       |
| Trial<br>Vector | 0.68               | 1.50       | 5.07       | 7.53       | 3.74       | 8.728      | 4.74       | 9.49       | 3.90       | 3.88        |

จากตารางที่ 4.5 พบว่าในการทดลอง 10 ครั้ง หากค่า Trial Vector และ Target Vector มีผลเท่ากันแล้วเลือกค่า Trial Vector เป็นประชากรในรุ่นต่อไปจะใช้เวลาที่เร็วกว่าการเลือกค่า Target Vector ในการพับคำตอบที่ดีที่สุด โดยค่า Target Vector ใช้เวลาเฉลี่ยเท่ากับ 15.37 วินาที และค่า Trial Vector ใช้เวลาเฉลี่ยเท่ากับ 4.92 วินาที ซึ่งจากการวิเคราะห์ได้พบว่าเมื่อเลือกค่า Trial Vector เป็นประชากรในรุ่นดั้งไป จะเป็นการปรับปรุงคำตอบให้มีการเปลี่ยนแปลงไปจากคำตอบเดิมทำให้มีโอกาสพับคำตอบที่ดีที่สูงมากกว่าการเลือก Target Vector เป็นประชากรในรุ่นดั้งไป ซึ่งจะทำให้คำตอบไม่เกิดการปรับปรุงเปลี่ยนแปลงจนกว่าค่า Trial Vector จะได้คำตอบที่ดีกว่า

$$X_{i,G+1} = \begin{cases} U_{i,G+1} & \text{if } (U_{i,G+1}) \leq f(X_{i,G+1}) \\ X_{i,G} & \text{Otherwise} \end{cases} \quad (4.4)$$

เมื่อ  $X_{i,G+1}$  = Target Vector ในรุ่นถัดไป,  $i = 1, 2, \dots, n$

ซึ่งเมื่อเปรียบเทียบระหว่าง Target Vector กับ Trial Vector จากตารางที่ 4.1 และตารางที่ 4.4 ของ Vector ที่ 1 พบว่า ผลของค่าตอบเท่ากันที่ 6 สถานี ดังนั้นจึงเลือกค่า Trial Vector เป็นประชากรในรุ่นถัดไป

#### 4.2 “DE/Best/1” ร่วมกับ Binomial Crossover

**4.2.1 การสร้างค่าตอบเริ่มต้น (Initial population)** คือ ขั้นตอนการสุ่มจำนวนจริง 0-1 ให้กับแต่ละงาน เป็นการสร้างค่า Target Vector หรือค่าตอบเริ่มต้นเพื่อเป็นค่าตัดสินใจในการจัดงานลงสถานีงานและเป็นค่าเริ่มต้นของเวกเตอร์ที่ใช้ในการ Mutation และ Crossover ต่อไป ซึ่งแสดงให้เห็นจากปัญหาดัวอย่างภาพที่ 4.2 และตารางที่ 4.1

**4.2.2 Mutation** คือ ขั้นตอนการการปรับเปลี่ยนพิกัดให้ได้ค่าตอบใหม่ที่เปลกแตกต่างไปจากกลุ่มจำนวนประชากรเดิม เรียกว่า Weighting Factor: F หรือ เรียกว่า Mutation Factor: F เพื่อจุดประสงค์ของการผ่าเหล่า โดยคำนวณหา Mutant Vector ( $V_{i,G+1}$ ) ดังสมการ ที่ (4.5) และสามารถแสดงตัวอย่างการ Mutation ดังตารางที่ 4.6 ดังนี้

$$V_{i,G+1} = X_{best,G} + F(X_{r1,G} - X_{r2,G}) \quad (4.5)$$

เมื่อ  $F$  = Weighting Factor เป็นจำนวนจริงตั้งแต่ 0-2  
 $X_{best,G}$  = Target Vector โดยที่  $best = 1, 2, 3, \dots, N$  ของเวกเตอร์ที่ให้ค่าตอบที่ดีที่สุดในแต่ละรุ่น ( $N =$ จำนวนงาน)  
 $X_{r1,G}, X_{r2,G}$  = Random Vector จากประชากรเริ่มต้น

ตารางที่ 4.6 ผลการ Mutation เวกเตอร์ที่ 1 โดยใช้วิธี “DE/Best/1”

| Vector                 | Position             | 1     | 2     | 3     | 4     | 5     | 6     | 7     | 8     |
|------------------------|----------------------|-------|-------|-------|-------|-------|-------|-------|-------|
| 1                      | <b>Work</b>          | 1     | 2     | 3     | 4     | 6     | 8     | 5     | 7     |
|                        | <b>Target Vector</b> | 0.3   | 0.72  | 0.53  | 0.61  | 0.44  | 0.57  | 0.68  | 0.92  |
| 2                      | <b>Work</b>          | 1     | 2     | 3     | 5     | 7     | 4     | 6     | 8     |
|                        | <b>Target Vector</b> | 0.74  | 0.82  | 0.44  | 0.32  | 0.57  | 0.69  | 0.21  | 0.92  |
| 3                      | <b>Work</b>          | 1     | 2     | 3     | 4     | 5     | 6     | 7     | 8     |
|                        | <b>Target Vector</b> | 0.51  | 0.92  | 0.41  | 0.62  | 0.67  | 0.84  | 0.88  | 0.96  |
| 4                      | <b>Work</b>          | 1     | 2     | 4     | 3     | 6     | 8     | 5     | 7     |
|                        | <b>Target Vector</b> | 0.13  | 0.64  | 0.21  | 0.42  | 0.69  | 0.26  | 0.81  | 0.58  |
| 5                      | <b>Work</b>          | 1     | 2     | 3     | 4     | 6     | 5     | 8     | 7     |
|                        | <b>Target Vector</b> | 0.91  | 0.48  | 0.32  | 0.59  | 0.41  | 0.76  | 0.84  | 0.98  |
| <b>Mutant Vector 1</b> |                      | 0.420 | 1.172 | 0.512 | 0.344 | 0.778 | 0.754 | 0.242 | 0.904 |

จากตารางที่ 4.6 แสดงผลของการ Mutation เวกเตอร์ที่ 1 โดยใช้วิธี “DE/rand/1” ซึ่งจากตารางที่ 4.1 เวกเตอร์ที่ 2 ให้ผลค่าตอบดีที่สุดที่ 5 สถานี ดังนั้นค่า  $X_{best,G}$  จึงใช้ค่า Target Vector ของเวกเตอร์ที่ 2 และสุ่ม  $X_{r1,G}, X_{r2,G}$  ได้ เวกเตอร์ที่ 3 และ 5 ตามลำดับ โดยกำหนดให้ค่า F = 0.8 เช่น พิกัด (Position) ที่ 6 ค่า  $X_{best,G} = 0.69$ ,  $X_{r1,G} = 0.84$  และ  $X_{r2,G} = 0.76$  ดังนั้น Mutant Vector ที่ 1 พิกัดที่ 6 จึงเท่ากับ 0.754

**4.2.3 Crossover หรือ Recombination** กือ ขั้นตอนการแลกเปลี่ยนพิกัดระหว่างเวกเตอร์ ซึ่งจะได้เวกเตอร์ใหม่ของค่าตอบที่มีทั้งคีกว่าและเยกกว่าอย่างหลากหลาย โดยมีการสร้าง Trial Vector ( $U_{j_i,G+1}$ ) ดังสมการที่ (4.2) และทำการเปรียบเทียบและพิจารณาในการแลกเปลี่ยนพิกัด ดังสมการที่ (4.3) ซึ่งสามารถแสดงตัวอย่างดังตารางที่ 4.7 และ 4.8 ดังนี้

ตารางที่ 4.7 ผลการ Binomial Crossover เวกเตอร์ที่ 1 ที่ใช้ร่วมกับวิธี “DE/best/1”

| Vector | Position      | 1    | 2     | 3     | 4     | 5     | 6     | 7     | 8     |
|--------|---------------|------|-------|-------|-------|-------|-------|-------|-------|
| 1      | Work          | 1    | 2     | 3     | 4     | 6     | 8     | 5     | 7     |
|        | Target Vector | 0.3  | 0.72  | 0.53  | 0.81  | 0.44  | 0.57  | 0.68  | 0.92  |
|        | Mutant Vector | 0.42 | 1.172 | 0.512 | 0.344 | 0.778 | 0.754 | 0.242 | 0.904 |
|        | rand (j)      | 0.2  | 0.82  | 0.79  | 0.34  | 0.680 | 0.930 | 0.43  | 0.86  |
|        | Trial Vector  | 0.42 | 0.72  | 0.512 | 0.344 | 0.778 | 0.57  | 0.242 | 0.92  |

จากตารางที่ 4.7 แสดงผลของการ Binomial Crossover ของเวกเตอร์ที่ 1 ที่ผ่านวิธีการ “DE/best/1” ซึ่งกำหนดให้ค่า CR = 0.8 ดังนั้น Trial Vector ของพิกัดที่ 2, 6 และ 8 จะใช้ค่าของ Target Vector ส่วนตำแหน่งอื่นๆ ที่เหลือจะใช้ค่าของ Mutant Vector

ตารางที่ 4.8 ผลการจัดสมดุลสายการประกอบโดยใช้ค่า Trial Vector จากตารางที่ 4.7

| Vector 1 | Station      | 1    | 2    | 3     |       | 4     | 5     |      | 6    |
|----------|--------------|------|------|-------|-------|-------|-------|------|------|
|          | Work         | 1    | 2    | 4     | 3     | 5     | 6     | 8    | 7    |
|          | Time         | 11   | 17   | 5     | 9     | 8     | 12    | 3    | 10   |
|          | Trial Vector | 0.42 | 0.72 | 0.344 | 0.512 | 0.242 | 0.778 | 0.57 | 0.92 |

จากตารางที่ 4.8 เมื่อนำค่า Trial Vector ที่ได้มาจัดสมดุลสายการประกอบตามเงื่อนไข ลำดับงานก่อนหลังและเวลารวมแต่ละสถานีงานต้องไม่เกินรอบเวลาผลิต โดยพิจารณา Trial Vector ที่มีค่าต่ำกว่า ทำให้ได้คำตอบ 6 สถานี

4.2.4 Selection กือ ขั้นตอนการคัดเลือกประชากรในรุ่นต่อไป ( $G+1$ ) ซึ่งจะคัดเลือกເອົາແຕ່ເພື່ອ คำตอบที่ดีกว่า โดยการเปรียบเทียบผลของ Target Vector กับ Trial Vector ในกรณีที่จำนวนสถานีงานที่ได้ของ Trial Vector ต่ำกว่าหรือเท่ากับ Target Vector ดังนั้นจะเลือก Trial Vector เป็นประชากรในรุ่นต่อไป ดังสมการที่ (4.7)

ซึ่งเมื่อเปรียบเทียบระหว่าง Target Vector กับ Trial Vector จากตารางที่ 4.1 และตารางที่ 4.8 ของ Vector ที่ 1 พบร่วมกันที่ 6 สถานีงาน ดังนั้นจึงเลือกค่า Trial Vector เป็นประชากรในรุ่นถัดไป

### 4.3 “DE/rand-to-best/1” ร่วมกับ Binomial Crossover

**4.3.1 การสร้างคำตอบเริ่มต้น (Initial population)** คือ ขั้นตอนการสุ่มจำนวนจริง 0-1 ให้กับแต่ละงาน เป็นการสร้างค่า Target Vector หรือคำตอบเริ่มต้นเพื่อเป็นค่าตัดสินใจในการจัดงานลงสถานีงานและเป็นค่าเริ่มต้นของเวกเตอร์ที่ใช้ในการ Mutation และ Crossover ต่อไป ซึ่งแสดงให้เห็นจากปัญหาตัวอย่างภาพที่ 4.2 และตารางที่ 4.1

**4.3.2 Mutation** คือ ขั้นตอนการการปรับเปลี่ยนพิกัดให้ได้คำตอบใหม่ที่เปลกแตกต่างไปจากกลุ่มจำนวนประชากรเดิม เรียกว่า Weighting Factor: F หรือ เรียกว่า Mutation Factor: F เพื่อจุดประสงค์ของการผ่าเหล่า โดยคำนวณหา Mutant Vector ( $V_{i,G+1}$ ) ดังสมการ ที่ (4.6) และสามารถแสดงตัวอย่างการ Mutation ดังตารางที่ 4.9 ดังนี้

$$V_{i,G+1} = X_{i,G} + F(X_{best,G} - X_{i,G}) + F(X_{r1,G} - X_{r2,G}) \quad (4.6)$$

เมื่อ  $X_{i,G}$  = Target Vector ของ Vector นั้นๆ โดยที่  $i = 1, 2, 3, \dots, N$

$X_{best,G}$  = Target Vector โดยที่  $best = 1, 2, 3, \dots, N$  ของเวกเตอร์ที่ให้ผล

คำตอบที่ดีที่สุดในแต่ละรุ่น ( $N =$  จำนวนงาน)

$N$  = จำนวนงาน

$F$  = Weighting Factor เป็นจำนวนจริงตั้งแต่ 0-2

$X_{r1,G}, X_{r2,G}$  = Random Vector จากประชากรเริ่มต้นที่ไม่ซ้ำกับ  $X_{i,G}$

ตารางที่ 4.9 ผลการ Mutation เวกเตอร์ที่ 1 โดยใช้วิธี “DE/rand-to-best/1”

| Vector | Position      | 1    | 2    | 3    | 4    | 5    | 6    | 7    | 8    |
|--------|---------------|------|------|------|------|------|------|------|------|
| 1      | Work          | 1    | 2    | 3    | 4    | 6    | 8    | 5    | 7    |
|        | Target Vector | 0.3  | 0.72 | 0.53 | 0.61 | 0.44 | 0.57 | 0.68 | 0.92 |
| 2      | Work          | 1    | 2    | 3    | 5    | 7    | 4    | 6    | 8    |
|        | Target Vector | 0.74 | 0.82 | 0.44 | 0.32 | 0.57 | 0.69 | 0.21 | 0.92 |
| 3      | Work          | 1    | 2    | 3    | 4    | 5    | 6    | 7    | 8    |
|        | Target Vector | 0.51 | 0.92 | 0.41 | 0.62 | 0.67 | 0.84 | 0.88 | 0.96 |

ตารางที่ 4.9 ผลการ Mutation เวกเตอร์ที่ 1 โดยใช้วิธี “DE/rand-to-best/1” (ต่อ)

|   |                        |       |       |       |       |       |       |       |       |
|---|------------------------|-------|-------|-------|-------|-------|-------|-------|-------|
| 4 | <b>Work</b>            | 1     | 2     | 4     | 3     | 6     | 8     | 5     | 7     |
|   | <b>Target Vector</b>   | 0.13  | 0.64  | 0.21  | 0.42  | 0.69  | 0.26  | 0.81  | 0.58  |
| 5 | <b>Work</b>            | 1     | 2     | 3     | 4     | 6     | 5     | 8     | 7     |
|   | <b>Target Vector</b>   | 0.91  | 0.48  | 0.32  | 0.59  | 0.41  | 0.76  | 0.84  | 0.98  |
|   | <b>Mutant Vector 1</b> | 0.332 | 1.152 | 0.530 | 0.402 | 0.752 | 0.730 | 0.336 | 0.904 |

จากตารางที่ 4.9 แสดงผลของการ Mutation Vector ที่ 1 โดยใช้วิธี “DE/rand-to-best/1” ซึ่งจะใช้ค่า  $X_{i,G}$  ของ เวกเตอร์ที่ 1 และจากตารางที่ 4-1 เวกเตอร์ที่ 2 ให้ผลคำตอบดีที่สุดที่ 5 สถานี ดังนั้นค่า  $X_{best,G}$  จึงใช้ค่า Target Vector ของ เวกเตอร์ที่ 2 และสุ่ม  $X_{r1,G}, X_{r2,G}$  ได้ เวกเตอร์ที่ 3 และ 5 ตามลำดับ โดยกำหนดให้ค่า  $F = 0.8$  เช่น พิกัด (Position) ที่ 6 ค่า  $X_{i,G} = 0.57, X_{best,G} = 0.69, X_{r1,G} = 0.84$  และ  $X_{r2,G} = 0.76$  ดังนั้น Mutation Vector ที่ 1 พิกัดที่ 6 จึงเท่ากับ 0.73

**4.3.3 Crossover หรือ Recombination** คือ ขั้นตอนการแลกเปลี่ยนพิกัดระหว่าง เวกเตอร์ ซึ่งจะได้เวกเตอร์ใหม่ของคำตอบที่มีทั้งดีกว่าและแย่กว่าอย่างหลากราย โดยมีการสร้าง Trial Vector ( $U_{j,G+1}$ ) ดังสมการที่ (4.2) และทำการเปรียบเทียบและพิจารณาในการแลกเปลี่ยนพิกัด ดังสมการที่ (4.3) ซึ่งสามารถแสดงตัวอย่างดังตารางที่ 4.10 และ 4.11 ดังนี้

ตารางที่ 4.10 ผลการ Binomial Crossover เวกเตอร์ที่ 1 ที่ใช้ร่วมกับวิธี “DE/rand-to-best/1”

|   |                      |                 |       |       |       |       |       |       |       |   |
|---|----------------------|-----------------|-------|-------|-------|-------|-------|-------|-------|---|
| 1 | <b>Vector</b>        | <b>Position</b> | 1     | 2     | 3     | 4     | 5     | 6     | 7     | 8 |
|   | <b>Work</b>          | 1               | 2     | 3     | 4     | 6     | 8     | 5     | 7     |   |
|   | <b>Target Vector</b> | 0.3             | 0.72  | 0.53  | 0.81  | 0.44  | 0.57  | 0.68  | 0.92  |   |
|   | <b>Mutant Vector</b> | 0.33            | 1.152 | 0.530 | 0.402 | 0.752 | 0.730 | 0.336 | 0.904 |   |
|   | <b>rand(j)</b>       | 0.2             | 0.82  | 0.79  | 0.34  | 0.680 | 0.930 | 0.43  | 0.86  |   |
|   | <b>Trial Vector</b>  | 0.33            | 0.72  | 0.530 | 0.402 | 0.752 | 0.57  | 0.336 | 0.92  |   |

จากตารางที่ 4.10 แสดงผลของการ Binomial Crossover เวกเตอร์ที่ 1 ที่ผ่านวิธี “DE/rand-to-best/1” ซึ่งกำหนดให้ค่า  $CR = 0.8$  ดังนั้น Trial Vector ของพิกัดที่ 2, 6 และ 8 จะใช้ค่าของ Target Vector ส่วนตำแหน่งอื่นๆที่เหลือจะใช้ค่าของ Mutant Vector

ตารางที่ 4.11 ผลการจัดสมดุลสายการประกอบโดยใช้ค่า Trial Vector จากตารางที่ 4.10

|          | Station      | 1     | 2    | 3     |       | 4     | 5     |      | 6    |
|----------|--------------|-------|------|-------|-------|-------|-------|------|------|
| Vector 1 | Work         | 1     | 2    | 4     | 3     | 5     | 6     | 8    | 7    |
|          | Time         | 11    | 17   | 5     | 9     | 8     | 12    | 3    | 10   |
|          | Trial Vector | 0.332 | 0.72 | 0.402 | 0.530 | 0.336 | 0.752 | 0.57 | 0.92 |

จากตารางที่ 4.11 เมื่อนำค่า Trial Vector ที่ได้มาจัดสมดุลสายการประกอบตามเงื่อนไข ลำดับงานก่อนหลังและเวลารวมแต่ละสถานีงานต้องไม่เกินรอบเวลาผลิต โดยพิจารณา Trial Vector ที่มีค่าต่ำกว่า ทำให้ได้คำตอบ 6 สถานี

**4.3.4 Selection** คือ ขั้นตอนการคัดเลือกประชากรในรุ่นต่อไป ( $G+1$ ) ซึ่งจะคัดเลือกเอา แต่เฉพาะคำตอบที่ดีกว่า โดยการเปรียบเทียบผลของ Target Vector กับ Trial Vector ในกรณีที่ จำนวนสถานีงานที่ได้ของ Trial Vector ต่ำกว่าหรือเท่ากับ Target Vector ดังนั้นจะเลือก Trial Vector เป็นประชากรในรุ่นต่อไป ดังสมการที่ (4.7)

ซึ่งเมื่อเปรียบเทียบระหว่าง Target Vector กับ Trial Vector จากตารางที่ 4.1 และ ตารางที่ 4.11 ของ Vector ที่ 1 พบร่วมว่า ผลของคำตอบเท่ากันที่ 6 สถานีงาน ดังนั้นจึงเลือกค่า Trial Vector เป็นประชากรในรุ่นต่อไป

#### 4.4 “DE/rand” ร่วมกับ Exponential Crossover 2 Position

**4.4.1 การสร้างคำตอบเริ่มต้น (Initial population)** คือ ขั้นตอนการสุ่มจำนวนจริง 0-1 ให้กับแต่ละงาน เป็นการสร้างค่า Target Vector หรือคำตอบเริ่มต้นเพื่อเป็นค่าตัวสินใจในการจัดงานลงสถานีงานและเป็นค่าเริ่มต้นของเวกเตอร์ที่ใช้ในการ Mutation และ Crossover ต่อไป ซึ่งแสดงให้เห็นจากปัญหาตัวอย่างภาพที่ 4.2 และตารางที่ 4.1

**4.4.2 Mutation** คือ ขั้นตอนการการปรับเปลี่ยนพิกัดให้ได้คำตอบใหม่ที่เปลกแตกต่างไปจากกลุ่มจำนวนประชากรเดิม เรียกว่า Weighting Factor: F หรือ เรียกว่า Mutation Factor: F เพื่อจุดประสงค์ของการผ่านเหล่า โดยคำนวณหา Mutant Vector ( $V_{i,G+1}$ ) ดังสมการที่ (4.1) และ สามารถแสดงตัวอย่างการ Mutation ดังตารางที่ 4.2 และ 4.3

**4.4.3 Crossover หรือ Recombination** คือ ขั้นตอนการแลกเปลี่ยนพิกัดระหว่าง เวกเตอร์ ซึ่งจะได้เวกเตอร์ใหม่ของคำตอบที่มีที่สืบทอดกว่าและแยกกว่าอย่างหลากหลาย โดยมีการสร้าง Trial Vector ( $U_{ji,G+1}$ ) ดังสมการที่ (4.2) และทำการเปรียบเทียบและพิจารณาในการแลกเปลี่ยนพิกัด ดังสมการที่ (4.7) ซึ่งสามารถแสดงตัวอย่างดังตารางที่ 4.12 และ 4.13 ดังนี้

$$U_{ji,G+1} = \begin{cases} V_{ji,G+1} & \text{if } (\text{rand}(j) = r1, j > r2) \\ X_{ji,G+1} & \text{otherwise} \end{cases} \quad (4.7)$$

เมื่อ  $V_{ji,G+1}$  = Mutant Vector  
 $X_{ji,G+1}$  = Target Vector  
 $\text{rand}(j)$  = การสุ่มตำแหน่งพิกัดในเวกเตอร์,  $j = 1, 2, 3, \dots, G$   
 $(G = \text{จำนวนพิกัด})$  และ  $r1, r2 = \text{พิกัดที่ถูกสุ่มตำแหน่งที่ } 1 \text{ และ } 2$

ตารางที่ 4.12 ผลการ Exponential Crossover 2 Position เวกเตอร์ที่ 1 ที่ใช้ร่วมกับวิธี “DE/rand”

| Vector | Position      | 1     | 2    | 3    | 4     | 5     | 6     | 7    | 8    |
|--------|---------------|-------|------|------|-------|-------|-------|------|------|
| 1      | Work          | 1     | 2    | 3    | 4     | 6     | 8     | 5    | 7    |
|        | Target Vector | 0.3   | 0.72 | 0.53 | 0.81  | 0.44  | 0.57  | 0.68 | 0.92 |
|        | Mutant Vector | -0.02 | 1.07 | 0.60 | 0.634 | 0.648 | 0.634 | 0.71 | 0.90 |
|        | rand(j)       | -     | 2    | -    | -     | -     | 6     | -    | -    |
|        | Trial Vector  | -0.02 | 1.07 | 0.53 | 0.81  | 0.44  | 0.57  | 0.71 | 0.90 |

จากตารางที่ 4.12 แสดงผลของ Exponential Crossover 2 Position เวกเตอร์ที่ 1 ซึ่งสุ่ม พิกัดได้  $r1 = 2$  และ  $r2 = 6$  ดังนั้น Trial Vector ของพิกัดที่ 1 - 2 และ 7 - 8 จะใช้ค่าของ Mutant Vector ส่วนตำแหน่งอื่นๆ ที่เหลือจะใช้ค่าของ Target Vector

ตารางที่ 4.13 ผลการจัดสมดุลสายการประกลบโดยใช้ค่า Trial Vector จากตารางที่ 4.12

| Vector 1 | Station      | 1     | 2    | 3    |      | 4    |      | 5    |      |
|----------|--------------|-------|------|------|------|------|------|------|------|
|          | Work         | 1     | 2    | 3    | 5    | 7    | 4    | 6    | 8    |
|          | Time         | 11    | 17   | 9    | 8    | 10   | 5    | 12   | 3    |
|          | Trial Vector | -0.02 | 1.07 | 0.53 | 0.44 | 0.71 | 0.81 | 0.57 | 0.90 |

จากตารางที่ 4.13 เมื่อนำค่า Trial Vector ที่ได้มาทำการจัดสมดุลสายการประกลบตามเงื่อนไขลำดับงานก่อนหลังและเวลารวมแต่ละสถานีงานต้องไม่เกินรอนเวลาผลิต โดยพิจารณา Trial Vector ที่มีค่าต่ำกว่า 0 ทำให้ได้คำตอบ 5 สถานี

**4.4.4 Selection** คือ ขั้นตอนการคัดเลือกประชากรในรุ่นต่อไป ( $G+1$ ) ซึ่งจะคัดเลือกเอาแต่เฉพาะ คำตอบที่ดีกว่า โดยการเปรียบเทียบผลของ Target Vector กับ Trial Vector ในกรณีที่จำนวนสถานีงานที่ได้ของ Trial Vector ต่ำกว่าหรือเท่ากับ Target Vector ดังนั้นจะเลือก Trial Vector เป็นประชากรในรุ่นต่อไป ดังสมการที่ (4.7)

ซึ่งเมื่อเปรียบเทียบระหว่าง Target Vector กับ Trial Vector จากตารางที่ 4.1 และตารางที่ 4.13 ของ Vector ที่ 1 พบว่า ผลของผลของคำตอบของ Target Vector เท่ากับ 6 สถานี และผลคำตอบของ Trial Vector ให้ผลดีกว่าคือ 5 สถานี ดังนั้นจึงเลือกค่า Trial Vector เป็นประชากรในรุ่นถัดไป

#### 4.5 “DE/Best/1” ร่วมกับ Exponential Crossover 2 Position

**4.5.1 การสร้างคำตอบเริ่มต้น (Initial population)** คือ ขั้นตอนการสุ่มจำนวนจริง 0-1 ให้กับแต่ละงาน เป็นการสร้างค่า Target Vector หรือคำตอบเริ่มต้นเพื่อเป็นค่าตัวสินใจในการจัดงานลงสถานีงานและเป็นค่าเริ่มต้นของเวกเตอร์ที่ใช้ในการ Mutation และ Crossover ต่อไป ซึ่งแสดงให้เห็นจากปัญหาดัวอย่างภาพที่ 4.1 และตารางที่ 4.1

**4.5.2 Mutation** คือ ขั้นตอนการการปรับเปลี่ยนพิกัดให้ได้คำตอบใหม่ที่แปลกแตกต่างไปจากกุ่มจำนวนประชากรเดิม เรียกว่า Weighting Factor: F หรือ เรียกว่า Mutation Factor: F เพื่อจุดประสงค์ของการผ่านหล่า โดยคำนวณหา Mutant Vector ( $V_{i,G+1}$ ) ดังสมการที่ (4.5) และสามารถแสดงดัวอย่างการ Mutation ดังตารางที่ 4.6

**4.5.3 Crossover หรือ Recombination** คือ ขั้นตอนการแลกเปลี่ยนพิกัดระหว่างเวกเตอร์ ซึ่งจะได้เวกเตอร์ใหม่ของคำตอบที่มีทั้งคีกกว่าและแยกกว่าอย่างหลากหลาย โดยมีการสร้าง

Trial Vector ( $U_{j,G+1}$ ) ดังสมการที่ (4.2) และทำการเปรียบเทียบและพิจารณาในการแลกเปลี่ยนพิกัด ดังสมการที่ (4.7) ซึ่งสามารถแสดงตัวอย่างดังตารางที่ 4.14 และ 4.15 ดังนี้

ตารางที่ 4.14 ผลการ Exponential Crossover 2 Position เวกเตอร์ที่ 1 ที่ใช้ร่วมกับวิธี “DE/Best/1”

| Vector | Position             | 1    | 2     | 3     | 4     | 5     | 6     | 7     | 8     |
|--------|----------------------|------|-------|-------|-------|-------|-------|-------|-------|
| 1      | <b>Work</b>          | 1    | 2     | 3     | 4     | 6     | 8     | 5     | 7     |
|        | <b>Target Vector</b> | 0.3  | 0.72  | 0.53  | 0.81  | 0.44  | 0.57  | 0.68  | 0.92  |
|        | <b>Mutant Vector</b> | 0.42 | 1.172 | 0.512 | 0.344 | 0.778 | 0.754 | 0.242 | 0.904 |
|        | <b>rand(j)</b>       | -    | 2     | -     | -     | -     | 6     | -     | -     |
|        | <b>Trial Vector</b>  | 0.42 | 1.172 | 0.53  | 0.81  | 0.44  | 0.57  | 0.242 | 0.904 |

จากตารางที่ 4.14 แสดงผลของ Exponential Crossover เวกเตอร์ที่ 1 ซึ่งสุ่มพิกัดได้  $r_1 = 2$  และ  $r_2 = 6$  ดังนั้น Trial Vector ของพิกัดที่ 1 - 2 และ 7 - 8 จะใช้ค่าของ Mutant Vector ส่วนตำแหน่งอื่นๆ ที่เหลือจะใช้ค่าของ Target Vector

ตารางที่ 4.15 ผลการจัดสมดุลสายการประกอบโดยใช้ค่า Trial Vector จากตารางที่ 4.14

| Vector 1 | Station      | 1    | 2     | 3    |      | 4     |      | 5    |       |
|----------|--------------|------|-------|------|------|-------|------|------|-------|
|          | Work         | 1    | 2     | 3    | 5    | 7     | 4    | 6    | 8     |
|          | Time         | 11   | 17    | 9    | 8    | 10    | 5    | 12   | 3     |
|          | Trial Vector | 0.42 | 1.172 | 0.53 | 0.44 | 0.242 | 0.81 | 0.57 | 0.904 |

จากตารางที่ 4.15 เมื่อนำค่า Trial Vector ที่ได้มาจัดสมดุลสายการประกอบตามเงื่อนไขลำดับงานก่อนหลังและเวลารวมแต่ละสถานีงานด้องไม่เกินรอบเวลาผลิต โดยพิจารณา Trial Vector ที่มีค่าต่ำกว่า ทำให้ได้คำตอบ 5 สถานี

4.5.4 Selection กือ ขั้นตอนการคัดเลือกประชากรในรุ่นต่อไป ( $G+1$ ) ซึ่งจะคัดเลือกเอาแต่เฉพาะ คำตอบที่ดีกว่า โดยการเปรียบเทียบผลของ Target Vector กับ Trial Vector ในกรณีที่จำนวนสถานีงานที่ได้ของ Trial Vector ต่ำกว่าหรือเท่ากับ Target Vector ดังนั้นจะเลือก Trial Vector เป็นประชากรในรุ่นต่อไป ดังสมการที่ (4.7)

ซึ่งเมื่อเปรียบเทียบระหว่าง Target Vector กับ Trial Vector จากตารางที่ 4.1 และ 4.15 ของ Vector ที่ 1 พบว่า ผลของผลของค่าตอบของ Target Vector เท่ากับ 6 สถานี และผลค่าตอบของ Trial Vector ให้ผลต่ำกว่าคือ 5 สถานี ดังนั้นจึงเลือกค่า Trial Vector เป็นประชากรในรุ่นถัดไป

#### 4.6 “DE/rand-to-best/1” ร่วมกับ Exponential Crossover 2 Position

**4.6.1 การสร้างค่าตอบเริ่มต้น (Initial population)** คือ ขั้นตอนการสุ่มจำนวนจริง 0-1 ให้กับแต่ละงาน เป็นการสร้างค่า Target Vector หรือค่าตอบเริ่มต้นเพื่อเป็นค่าตัดสินใจในการจัดงานลงสถานีงานและเป็นค่าเริ่มต้นของเวกเตอร์ที่ใช้ในการ Mutation และ Crossover ต่อไป ซึ่งแสดงให้เห็นจากปัญหาตัวอย่างภาพที่ 4.2 และตารางที่ 4.1

**4.6.2 Mutation** คือ ขั้นตอนการการปรับเปลี่ยนพิกัดให้ได้ค่าตอบใหม่ที่เปลกแตกต่างไปจากกลุ่มจำนวนประชากรเดิม เรียกว่า Weighting Factor: F หรือ เรียกว่า Mutation Factor: F เพื่อจุดประสงค์ของการผ่าเหล่า โดยคำนวณหา Mutant Vector ( $V_{i,G+1}$ ) ดังสมการ ที่ (4.6) และสามารถแสดงตัวอย่างการ Mutation ดังตารางที่ 4.9

**4.6.3 Crossover หรือ Recombination** คือ ขั้นตอนการแยกเปลี่ยนพิกัดระหว่าง เวกเตอร์ ซึ่งจะได้เวกเตอร์ใหม่ของค่าตอบที่มีทั้งคึกว่าและแยกกว่าอย่างหลากหลาย โดยมีการสร้าง Trial Vector ( $U_{j,G+1}$ ) ดังสมการที่ (4.2) และทำการเปรียบเทียบและพิจารณาในการแลกเปลี่ยนพิกัด ดังสมการที่ (4.7) ซึ่งสามารถแสดงตัวอย่างดังตารางที่ 4.16 และ 4.17 ดังนี้

ตารางที่ 4.16 ผลการ Exponential crossover 2 position เวกเตอร์ที่ 1 ที่ใช้ร่วมกับวิธี “DE/rand-to-best/1”

| Vector | Position             | 1    | 2     | 3    | 4     | 5     | 6     | 7     | 8     |
|--------|----------------------|------|-------|------|-------|-------|-------|-------|-------|
| 1      | <b>Work</b>          | 1    | 2     | 3    | 4     | 6     | 8     | 5     | 7     |
|        | <b>Target Vector</b> | 0.3  | 0.72  | 0.53 | 0.81  | 0.44  | 0.57  | 0.68  | 0.92  |
|        | <b>Mutant Vector</b> | 0.33 | 1.152 | 0.53 | 0.402 | 0.752 | 0.730 | 0.336 | 0.904 |
|        | <b>rand(j)</b>       | -    | 2     | -    | -     | -     | 6     | -     | -     |
|        | <b>Trial Vector</b>  | 0.33 | 1.152 | 0.53 | 0.81  | 0.44  | 0.57  | 0.336 | 0.904 |

จากตารางที่ 4.16 แสดงผลของ Exponential Crossover เวกเตอร์ที่ 1 ซึ่งสูมพิกัดได้  $r_1 = 2$  และ  $r_2 = 6$  ดังนั้น Trial Vector ของพิกัดที่ 1 - 2 และ 7 - 8 จะใช้ค่าของ Mutant Vector ส่วนตำแหน่งอื่นๆ ที่เหลือจะใช้ค่าของ Target Vector

ตารางที่ 4.17 ผลการจัดสมดุลสายการประกอบโดยใช้ค่า Trial Vector จากตารางที่ 4.16

| Vector 1 | Station      | 1    | 2     | 3    |       | 4    |      | 5    |       |
|----------|--------------|------|-------|------|-------|------|------|------|-------|
|          | Work         | 1    | 2     | 3    | 5     | 4    | 6    | 8    | 7     |
|          | Time         | 11   | 17    | 9    | 8     | 5    | 12   | 3    | 10    |
|          | Trial Vector | 0.33 | 1.152 | 0.53 | 0.336 | 0.81 | 0.44 | 0.57 | 0.904 |

จากตารางที่ 4.17 เมื่อนำค่า Trial Vector ที่ได้มาจัดสมดุลสายการประกอบตามเงื่อนไข ลำดับงานก่อนหลังและเวลารวมแต่ละสถานีงานต้องไม่เกินรอบเวลาผลิต โดยพิจารณา Trial Vector ที่มีค่าต่ำกว่า 0.5 สถานี

4.6.4 Selection คือ ขั้นตอนการคัดเลือกประชากรในรุ่นต่อไป ( $G+1$ ) ซึ่งจะคัดเลือกเอา แต่เฉพาะ คำตอบที่ดีกว่า โดยการเปรียบเทียบผลของ Target Vector กับ Trial Vector ในกรณีที่ จำนวนสถานีงานที่ได้ของ Trial Vector ต่ำกว่าหรือเท่ากับ Target Vector ดังนั้นจะเลือก Trial Vector เป็นประชากรในรุ่นต่อไป ดังสมการที่ (4.7)

ซึ่งเมื่อเปรียบเทียบระหว่าง Target Vector กับ Trial Vector จากตารางที่ 4.1 และตารางที่ 4.17 ของ Vector ที่ 1 พนว่า ผลของผลของคำตอบของ Target Vector เท่ากับ 6 สถานี และผล คำตอบของ Trial Vector ให้ผลดีกว่าคือ 5 สถานี ดังนั้นจึงเลือกค่า Trial Vector เป็นประชากรในรุ่น ถัดไป

## 4.7 ผลการทดลองวิธีการวิวัฒนาการโดยใช้ผลต่างสำหรับปัญหาการจัดสมดุลสายการประกอบแบบเส้นตรงประเภทที่ 1

### 4.7.1 ชุดปัญหาของ Talbot

จากการศึกษางานวิจัยที่เกี่ยวข้องของ Andreas C. Nearchou (2005) ที่นำวิธีการวิวัฒนาการโดยใช้ผลต่างนาไปใช้จัดสมดุลสายการประกอบชุดปัญหาของ Talbot ที่มีปัญหาของ Mertens , Bowman , Jaeshke , Mansoor , Jackson , Mitchell , Heskiaoff , Sawyer , Kilbridge , Tonge , Arcus1 , Arcus2 มีจำนวนงานตั้งแต่ 7 – 11 งาน ซึ่งสามารถตอบคำตอบที่ดีที่สุด 61 ปัญหา จาก 64 ปัญหา ผู้วิจัยจึงใช้วิธีการวิวัฒนาการโดยใช้ผลต่าง ที่ประยุกต์ขึ้นกับชุดปัญหาเดียวกัน เพื่อเปรียบเทียบผลคำตอบและเปรียบเทียบระหว่างวิธีการวิวัฒนาการโดยใช้ผลต่างทั้ง 6 วิธีที่ประยุกต์ขึ้น โดยมีจำนวนสถานีงาน, รอบเวลาการผลิตและคำตอบที่ดีที่สุดที่นำข้อมูลมาจาก <http://www.assembly-line-balancing.de/> ซึ่งใช้โปรแกรม Bloodhed Dev-C++ 4.9.9.2. และกำหนดค่า  $N_p = 150$  ,  $F = 0.8$  และ  $Cr = 0.8$  ที่ได้จากการหาค่าพารามิเตอร์ที่เหมาะสม ซึ่งจากการประยุกต์นำวิธี Mutation 3 วิธีมาใช้ร่วมกับวิธี Crossover 2 วิธี จะทำให้ได้วิธีปรับปรุงคำตอบ 6 วิธี ดังนี้

“DE/rand” ร่วมกับ Binomial Crossover

“DE/Best/1” ร่วมกับ Binomial Crossover

“DE/rand-to-best/1” ร่วมกับ Binomial Crossover

“DE/rand” ร่วมกับ Exponential Crossover 2 Position

“DE/Best/1” ร่วมกับ Exponential Crossover r 2 Position

“DE/rand-to-best/1” ร่วมกับ Exponential Crossover 2 Position

จากการทดลองพบว่าทั้ง 6 วิธีสามารถตอบคำตอบที่ดีที่สุดทุกวิธี ดังนั้นผู้วิจัยจึงนำมาเปรียบเทียบโดยพิจารณาเวลาที่พนคำตอบที่ดีที่สุด ซึ่งจากการทดลองเปรียบเทียบทั้ง 6 วิธี พบร่ว่าสามารถตอบคำตอบที่ดีที่สุดในเวลาที่เร็วที่สุดจำนวน 27, 34, 31, 45, 59 และ 54 ปัญหา ตามลำดับดังตารางที่ 4.18

ตารางที่ 4.18 ผลเปรียบเทียบระหว่างทั้ง 6 วิธี สำหรับชุดปัญหาของ Talbot

| Problem   | n  | CT  | DE    |       |       |       |       |       |
|-----------|----|-----|-------|-------|-------|-------|-------|-------|
|           |    |     | 1     | 2     | 3     | 4     | 5     | 6     |
| Mertens   | 7  | 6   | 0.002 | 0.002 | 0.002 | 0.002 | 0.002 | 0.002 |
|           |    | 7   | 0.002 | 0.002 | 0.002 | 0.002 | 0.002 | 0.002 |
|           |    | 8   | 0.002 | 0.002 | 0.002 | 0.002 | 0.002 | 0.002 |
|           |    | 10  | 0.002 | 0.002 | 0.002 | 0.002 | 0.002 | 0.002 |
|           |    | 15  | 0.002 | 0.002 | 0.002 | 0.002 | 0.002 | 0.002 |
|           |    | 18  | 0.002 | 0.002 | 0.002 | 0.002 | 0.002 | 0.002 |
| Bowman    | 8  | 20  | 0.002 | 0.002 | 0.002 | 0.002 | 0.002 | 0.002 |
| Jaeshke   | 9  | 6   | 0.002 | 0.002 | 0.002 | 0.002 | 0.002 | 0.002 |
|           |    | 7   | 0.002 | 0.002 | 0.002 | 0.002 | 0.002 | 0.002 |
|           |    | 8   | 0.002 | 0.002 | 0.002 | 0.002 | 0.002 | 0.002 |
|           |    | 10  | 0.002 | 0.002 | 0.002 | 0.002 | 0.002 | 0.002 |
|           |    | 18  | 0.002 | 0.002 | 0.002 | 0.002 | 0.002 | 0.002 |
| Mansoor   | 11 | 48  | 0.002 | 0.002 | 0.002 | 0.002 | 0.002 | 0.002 |
|           |    | 62  | 0.002 | 0.002 | 0.002 | 0.002 | 0.002 | 0.002 |
|           |    | 94  | 0.002 | 0.002 | 0.002 | 0.002 | 0.002 | 0.002 |
| Jackson   | 11 | 7   | 0.002 | 0.002 | 0.002 | 0.002 | 0.002 | 0.002 |
|           |    | 9   | 0.002 | 0.002 | 0.002 | 0.002 | 0.002 | 0.002 |
|           |    | 10  | 0.002 | 0.002 | 0.002 | 0.002 | 0.002 | 0.002 |
|           |    | 13  | 0.002 | 0.002 | 0.002 | 0.002 | 0.002 | 0.002 |
|           |    | 14  | 0.002 | 0.002 | 0.002 | 0.002 | 0.002 | 0.002 |
|           |    | 21  | 0.002 | 0.002 | 0.002 | 0.002 | 0.002 | 0.002 |
| Mitchell  | 21 | 14  | 0.008 | 0.007 | 0.008 | 0.008 | 0.006 | 0.007 |
|           |    | 15  | 0.007 | 0.007 | 0.007 | 0.006 | 0.006 | 0.007 |
|           |    | 21  | 0.007 | 0.006 | 0.007 | 0.006 | 0.006 | 0.006 |
|           |    | 26  | 0.007 | 0.006 | 0.007 | 0.006 | 0.006 | 0.006 |
|           |    | 35  | 0.007 | 0.006 | 0.007 | 0.007 | 0.006 | 0.006 |
|           |    | 39  | 0.007 | 0.006 | 0.006 | 0.006 | 0.006 | 0.006 |
| Heskiaoff | 28 | 138 | 0.003 | 0.003 | 0.004 | 0.003 | 0.003 | 0.003 |
|           |    | 205 | 0.004 | 0.003 | 0.003 | 0.003 | 0.003 | 0.003 |
|           |    | 216 | 0.004 | 0.003 | 0.003 | 0.003 | 0.003 | 0.003 |
|           |    | 256 | 0.003 | 0.003 | 0.003 | 0.003 | 0.003 | 0.003 |
|           |    | 324 | 0.003 | 0.003 | 0.004 | 0.003 | 0.002 | 0.003 |
|           |    | 342 | 0.003 | 0.003 | 0.003 | 0.003 | 0.003 | 0.003 |

ตารางที่ 4.18 ผลเปรียบเทียบระหว่างห้อง 6 วิธี สำหรับชุดปัญหาของ Talbot (ต่อ)

| Problem   | n   | CT    | DE    |       |       |       |       |       |
|-----------|-----|-------|-------|-------|-------|-------|-------|-------|
|           |     |       | 1     | 2     | 3     | 4     | 5     | 6     |
| Sawyer    | 30  | 25    | 0.1   | 0.007 | 0.004 | 0.005 | 0.006 | 0.004 |
|           |     | 27    | 0.003 | 0.003 | 0.003 | 0.003 | 0.004 | 0.003 |
|           |     | 30    | 0.004 | 0.004 | 0.004 | 0.003 | 0.003 | 0.003 |
|           |     | 36    | 0.004 | 0.004 | 0.004 | 0.003 | 0.004 | 0.004 |
|           |     | 41    | 0.004 | 0.003 | 0.003 | 0.003 | 0.003 | 0.003 |
|           |     | 54    | 0.003 | 0.003 | 0.003 | 0.003 | 0.003 | 0.003 |
|           |     | 75    | 0.003 | 0.003 | 0.003 | 0.004 | 0.003 | 0.003 |
| Kilbridge | 45  | 57    | 0.017 | 0.016 | 0.016 | 0.015 | 0.015 | 0.015 |
|           |     | 79    | 0.015 | 0.015 | 0.015 | 0.014 | 0.014 | 0.015 |
|           |     | 92    | 0.015 | 0.015 | 0.015 | 0.014 | 0.014 | 0.015 |
|           |     | 110   | 0.016 | 0.015 | 0.015 | 0.016 | 0.014 | 0.014 |
|           |     | 138   | 0.016 | 0.015 | 0.015 | 0.015 | 0.014 | 0.014 |
|           |     | 184   | 0.016 | 0.016 | 0.015 | 0.015 | 0.014 | 0.014 |
| Tonge     | 70  | 176   | 0.218 | 0.16  | 0.207 | 0.096 | 0.012 | 0.014 |
|           |     | 364   | 0.056 | 0.056 | 0.056 | 0.054 | 0.053 | 0.053 |
|           |     | 410   | 0.056 | 0.055 | 0.056 | 0.054 | 0.051 | 0.052 |
|           |     | 468   | 0.056 | 0.056 | 0.058 | 0.053 | 0.051 | 0.051 |
|           |     | 527   | 0.055 | 0.055 | 0.055 | 0.052 | 0.052 | 0.052 |
| Arcus1    | 83  | 5048  | 0.036 | 0.036 | 0.035 | 0.033 | 0.034 | 0.032 |
|           |     | 5853  | 0.036 | 0.036 | 0.035 | 0.033 | 0.032 | 0.032 |
|           |     | 6842  | 0.039 | 0.036 | 0.037 | 0.034 | 0.032 | 0.032 |
|           |     | 7571  | 0.036 | 0.035 | 0.035 | 0.033 | 0.033 | 0.033 |
|           |     | 8412  | 0.035 | 0.036 | 0.034 | 0.034 | 0.033 | 0.034 |
|           |     | 8898  | 0.035 | 0.036 | 0.035 | 0.033 | 0.032 | 0.033 |
|           |     | 10816 | 0.042 | 0.037 | 0.036 | 0.033 | 0.032 | 0.032 |
| Arcus2    | 111 | 5755  | 4.22  | 0.23  | 0.12  | 0.21  | 0.2   | 0.1   |
|           |     | 8847  | 0.116 | 0.11  | 0.11  | 0.1   | 0.1   | 0.1   |
|           |     | 10027 | 0.11  | 0.11  | 0.11  | 0.1   | 0.1   | 0.1   |
|           |     | 10743 | 0.11  | 0.11  | 0.11  | 0.1   | 0.1   | 0.1   |
|           |     | 11378 | 0.11  | 0.11  | 0.11  | 0.1   | 0.1   | 0.1   |
|           |     | 17067 | 0.11  | 0.11  | 0.11  | 0.1   | 0.1   | 0.1   |
| Total     |     |       | 27    | 34    | 31    | 45    | 59    | 54    |

จากผลการทดลองในตารางที่ 4.18 แสดงปัญหาทั้ง 64 ปัญหาที่มีตั้งแต่ 7-111 งาน (n) และมีร่องเวลาการผลิต (CT) ของแต่ละปัญหา โดยตัวเลขในตารางคือเวลาที่พนคำตอบที่ดีที่สุดของแต่ละวิธี และตัวเลขในตารางที่มีสีเทิน หมายถึง เวลาของวิธีที่สามารถตอบคำตอบที่ดีที่สุด ในเวลาที่เร็วที่สุด เมื่อเปรียบเทียบระหว่างทั้ง 6 วิธี วิธี เช่น ปัญหา Arcus 83 งาน ที่ร่องเวลาการผลิต 10816 จะมีเพียงวิธีที่ 5 และวิธีที่ 6 ที่ใช้วิธี “DE/Best/1” ร่วมกับ Exponential Crossover 2 Position และ “DE/rand-to-best/1” ร่วมกับ Crossover 2 Position ที่พนคำตอบที่ดีที่สุดในเวลาที่เร็วที่สุดเท่ากัน ส่วนวิธีที่ 1-4 ที่นั้นจะพนคำตอบที่ดีที่สุดในเวลาที่ช้ากว่า

จากผลการทดลองเมื่อเปรียบเทียบระหว่างขั้นตอนวิธีการ Mutation ทั้ง 3 วิธี พนว่าวิธี “DE/Best/1” ใช้เวลาในการหาคำตอบน้อยที่สุดและ วิธี “DE/rand” ใช้เวลาในการหาคำตอบมากที่สุด เนื่องจาก วิธี “DE/rand” จะเป็นการกระจายสุ่มหาคำตอบทั่วทุกพื้นที่ของคำตอบที่เป็นไปได้ ซึ่งหมายความว่าในแต่ละรุ่นเข้ามาร่วมหาคำตอบ โดยพิกัด best นี้จะเป็นตัวนำไปหาคำตอบในบริเวณพื้นที่ที่พนคำตอบที่ดี ส่วนวิธี “DE/rand-to-best/1” จะเป็นการนำพิกัดของเวกเตอร์ที่ดีที่สุดของประชากรในแต่ละรุ่นเข้ามาร่วมหาคำตอบ โดยพิกัด best นี้จะเป็นตัวนำไปหาคำตอบในบริเวณพื้นที่ที่พนคำตอบที่ดี ส่วนวิธี “DE/Best/1” จะเป็นการนำพิกัดของเวกเตอร์ที่ดีที่สุดของประชากรในแต่ละรุ่นเข้ามาร่วมหาคำตอบ โดยพิกัด best นี้จะเป็นตัวนำไปหาคำตอบในบริเวณพื้นที่ที่พนคำตอบที่ดีแต่อาจจะไม่ใช่พื้นที่ที่มีคำตอบที่ดีที่สุด ทำให้คำตอบจะวนอยู่ในบริเวณนั้นและมีโอกาสที่จะพนคำตอบที่ดีที่สุด ลดลง เมื่อนำมาใช้ร่วมกับวิธี “DE/rand” จะเป็นการช่วยให้มีการหาคำตอบออกจากพื้นที่คำตอบที่ดีที่อาจจะไม่ใช่พื้นที่ที่มีคำตอบที่ดีที่สุด ไปยังพื้นที่อื่นที่เป็นไปได้ ทำให้มีโอกาสพนคำตอบที่ดีที่สุดมากขึ้น เช่น ปัญหา Arcus 83 งาน ที่ร่องเวลาการผลิต 5048 และ ปัญหา Arcus 111 งาน ที่ร่องเวลาการผลิต 5755 ซึ่งเป็นร่องเวลาการผลิต ที่ต่ำมีจำนวนคำตอบที่ดีที่สุดสำหรับทั้ง 2 ปัญหานี้น้อยจะพนว่าวิธี “DE/rand-to-best/1” ที่ใช้ร่วมกับ Exponential Crossover 2 Position จะใช้เวลาในการหาคำตอบน้อย แต่จะใช้เวลาในการคำนวณมากกว่าทั้ง 2 วิธีสำหรับชุดปัญหาของ Talbot ที่มีขนาดเล็ก และจำนวนคำตอบที่ดีที่สุดมาก

#### 4.7.2 ชุดปัญหาของ Scholl

จากการศึกษางานวิจัยที่เกี่ยวข้องของ Pedro M. Vilarinho and Ana Sofia Simaria (2002) ที่นำวิธีเลียนแบบการอบอ่อนนาใช้จัดสมดุลสาขการประกอบแบบชุดปัญหาของ Scholl ที่มีปัญหาของ Rosenberg , Buxey , Lutz 1 , Gunther , Hahn , Warnecke , Lutz 2 , Lutz 3 , Mukherjee , Bartholdi 2 และ Svholl ที่มีจำนวนงานตั้งแต่ 25 – 297 งานซึ่งสามารถตอบคำตอบที่ดีที่สุด 76 ปัญหา จาก 168 ปัญหา ผู้วิจัยจึงใช้วิธีการวิวัฒนาการโดยใช้ผลต่างที่ประยุกต์ขึ้นกับชุดปัญหาเดียวกัน

เพื่อเปรียบเทียบผลคำตอบและเปรียบเทียบระหว่างวิธีการวิวัฒนาการโดยใช้ผลต่างของทั้ง 6 วิธี ที่ประยุกต์ขึ้น กับปัญหาที่มีขนาดและความซับซ้อนของปัญหาเพิ่มขึ้นจากชุดปัญหาของ Talbot ดังตารางที่ 4.19 โดยมีจำนวนสถานีงาน ( $n$ ) รอบเวลาการผลิต (CT) และคำตอบที่ดีที่สุด ( $m^*$ ) ที่นำข้อมูลมาจากการ <http://www.assembly-line-balancing.de/> ซึ่งใช้โปรแกรม Bloodhed Dev-C++ 4.9.9.2. และกำหนดค่า  $N_p = 150$ ,  $F = 0.8$  และ  $Cr = 0.8$  ที่ได้จากการหาค่าพารามิเตอร์ที่เหมาะสม

ตารางที่ 4.19 ผลการจัดจัดสมดุลสายการประกอบชุดปัญหาของ Scholl ของทั้ง 6 วิธี

| Problem   | n  | CT   | $m^*$ | DE |    |    |    |    |    |
|-----------|----|------|-------|----|----|----|----|----|----|
|           |    |      |       | 1  | 2  | 3  | 4  | 5  | 6  |
| Rosenberg | 25 | 14   | 10    | 10 | 10 | 10 | 10 | 10 | 10 |
|           |    | 16   | 8     | 8  | 8  | 8  | 8  | 8  | 8  |
|           |    | 18   | 8     | 8  | 8  | 8  | 8  | 8  | 8  |
|           |    | 21   | 6     | 6  | 6  | 6  | 6  | 6  | 6  |
|           |    | 25   | 6     | 6  | 6  | 6  | 6  | 6  | 6  |
|           |    | 32   | 4     | 4  | 4  | 4  | 4  | 4  | 4  |
| Buxey     | 29 | 27   | 13    | 13 | 13 | 13 | 13 | 13 | 13 |
|           |    | 30   | 12    | 12 | 12 | 12 | 12 | 12 | 12 |
|           |    | 33   | 11    | 11 | 11 | 11 | 11 | 11 | 11 |
|           |    | 36   | 10    | 10 | 10 | 10 | 10 | 10 | 10 |
|           |    | 41   | 8     | 8  | 8  | 8  | 8  | 8  | 8  |
|           |    | 47   | 7     | 7  | 7  | 7  | 7  | 7  | 7  |
|           |    | 54   | 7     | 7  | 7  | 7  | 7  | 7  | 7  |
| Lutz 1    | 32 | 1414 | 11    | 11 | 11 | 11 | 11 | 11 | 11 |
|           |    | 1572 | 10    | 10 | 10 | 10 | 10 | 10 | 10 |
|           |    | 1768 | 9     | 9  | 9  | 9  | 9  | 9  | 9  |
|           |    | 2020 | 9     | 9  | 9  | 9  | 9  | 9  | 9  |
|           |    | 2357 | 7     | 7  | 7  | 7  | 7  | 7  | 7  |
|           |    | 2828 | 6     | 6  | 6  | 6  | 6  | 6  | 6  |
| Gunther   | 35 | 41   | 14    | 14 | 14 | 14 | 14 | 14 | 14 |
|           |    | 44   | 12    | 12 | 12 | 12 | 12 | 12 | 12 |
|           |    | 49   | 11    | 11 | 11 | 11 | 11 | 11 | 11 |
|           |    | 54   | 9     | 9  | 9  | 9  | 9  | 9  | 9  |
|           |    | 61   | 9     | 9  | 9  | 9  | 9  | 9  | 9  |
|           |    | 69   | 8     | 8  | 8  | 8  | 8  | 8  | 8  |
|           |    | 81   | 7     | 7  | 7  | 7  | 7  | 7  | 7  |

ตารางที่ 4.19 ผลการจัดขั้นคุณคุณภาพการประกอบชุดปั๊มของ Scholl ของทั้ง 6 วิธี (ต่อ)

| Problem  | n  | CT   | m* | DE |    |    |    |    |    |
|----------|----|------|----|----|----|----|----|----|----|
|          |    |      |    | 1  | 2  | 3  | 4  | 5  | 6  |
| Hahn     | 53 | 2004 | 8  | 8  | 8  | 8  | 8  | 8  | 8  |
|          |    | 2338 | 7  | 7  | 7  | 7  | 7  | 7  | 7  |
|          |    | 2806 | 6  | 6  | 6  | 6  | 6  | 6  | 6  |
|          |    | 3507 | 5  | 5  | 5  | 5  | 5  | 5  | 5  |
|          |    | 4676 | 4  | 4  | 4  | 4  | 4  | 4  | 4  |
| Warnecke | 58 | 54   | 32 | 32 | 32 | 32 | 32 | 32 | 32 |
|          |    | 56   | 29 | 30 | 30 | 30 | 30 | 30 | 30 |
|          |    | 58   | 29 | 29 | 29 | 29 | 29 | 29 | 29 |
|          |    | 60   | 27 | 28 | 28 | 28 | 28 | 28 | 28 |
|          |    | 62   | 27 | 28 | 28 | 28 | 28 | 28 | 28 |
|          |    | 65   | 25 | 26 | 26 | 26 | 26 | 26 | 26 |
|          |    | 68   | 24 | 25 | 25 | 25 | 25 | 25 | 25 |
|          |    | 71   | 23 | 23 | 23 | 23 | 23 | 23 | 23 |
|          |    | 74   | 22 | 22 | 22 | 22 | 22 | 22 | 22 |
|          |    | 78   | 21 | 21 | 21 | 21 | 21 | 21 | 21 |
|          |    | 82   | 20 | 20 | 20 | 20 | 20 | 20 | 20 |
|          |    | 86   | 19 | 19 | 19 | 19 | 19 | 19 | 19 |
|          |    | 92   | 17 | 18 | 18 | 18 | 18 | 18 | 18 |
|          |    | 97   | 17 | 17 | 17 | 17 | 17 | 17 | 17 |
|          |    | 104  | 15 | 16 | 16 | 16 | 16 | 16 | 16 |
| Wee-Mag  | 75 | 28   | 63 | 63 | 63 | 63 | 63 | 63 | 63 |
|          |    | 29   | 63 | 63 | 63 | 63 | 63 | 63 | 63 |
|          |    | 30   | 62 | 62 | 62 | 62 | 62 | 62 | 62 |
|          |    | 31   | 62 | 62 | 62 | 62 | 62 | 62 | 62 |
|          |    | 32   | 61 | 61 | 61 | 61 | 61 | 61 | 61 |
|          |    | 33   | 61 | 61 | 61 | 61 | 61 | 61 | 61 |
|          |    | 34   | 61 | 61 | 61 | 61 | 61 | 61 | 61 |
|          |    | 35   | 60 | 60 | 60 | 60 | 60 | 60 | 60 |
|          |    | 36   | 60 | 60 | 60 | 60 | 60 | 60 | 60 |
|          |    | 37   | 60 | 60 | 60 | 60 | 60 | 60 | 60 |
|          |    | 38   | 60 | 60 | 60 | 60 | 60 | 60 | 60 |
|          |    | 39   | 60 | 60 | 60 | 60 | 60 | 60 | 60 |
|          |    | 40   | 60 | 60 | 60 | 60 | 60 | 60 | 60 |
|          |    | 41   | 59 | 59 | 59 | 59 | 59 | 59 | 59 |
|          |    | 42   | 55 | 55 | 55 | 55 | 55 | 55 | 55 |

ตารางที่ 4.19 ผลการจัดขั้นคุณภาพการประกอบชุดปัญหาของ Scholl ของทั้ง 6 วิธี (ต่อ)

| Problem | n  | CT  | m* | DE |    |    |    |    |    |
|---------|----|-----|----|----|----|----|----|----|----|
|         |    |     |    | 1  | 2  | 3  | 4  | 5  | 6  |
| Wee-Mag | 75 | 43  | 50 | 50 | 50 | 50 | 50 | 50 | 50 |
|         |    | 45  | 38 | 38 | 38 | 38 | 38 | 38 | 38 |
|         |    | 46  | 34 | 36 | 36 | 36 | 36 | 36 | 35 |
|         |    | 47  | 33 | 33 | 33 | 33 | 33 | 33 | 33 |
|         |    | 49  | 32 | 32 | 32 | 32 | 32 | 32 | 32 |
|         |    | 50  | 32 | 32 | 32 | 32 | 32 | 32 | 32 |
|         |    | 52  | 31 | 31 | 31 | 31 | 31 | 31 | 31 |
|         |    | 54  | 31 | 31 | 31 | 31 | 31 | 31 | 31 |
|         |    | 56  | 30 | 30 | 30 | 30 | 30 | 30 | 30 |
| Lutz 2  | 89 | 11  | 49 | 50 | 50 | 50 | 50 | 50 | 50 |
|         |    | 12  | 44 | 46 | 46 | 46 | 45 | 45 | 45 |
|         |    | 13  | 40 | 41 | 41 | 41 | 41 | 41 | 41 |
|         |    | 14  | 37 | 39 | 39 | 39 | 39 | 38 | 38 |
|         |    | 15  | 34 | 34 | 34 | 34 | 34 | 34 | 34 |
|         |    | 16  | 31 | 33 | 33 | 32 | 32 | 32 | 32 |
|         |    | 17  | 29 | 30 | 30 | 30 | 30 | 30 | 30 |
|         |    | 18  | 28 | 28 | 28 | 28 | 28 | 28 | 28 |
|         |    | 19  | 26 | 27 | 27 | 27 | 27 | 27 | 27 |
|         |    | 20  | 25 | 26 | 26 | 26 | 26 | 26 | 25 |
|         |    | 21  | 24 | 24 | 24 | 24 | 24 | 24 | 24 |
| Lutz 3  | 89 | 75  | 23 | 23 | 23 | 23 | 23 | 23 | 23 |
|         |    | 79  | 22 | 22 | 22 | 22 | 22 | 22 | 22 |
|         |    | 83  | 21 | 21 | 21 | 21 | 21 | 21 | 21 |
|         |    | 87  | 20 | 20 | 20 | 20 | 20 | 20 | 20 |
|         |    | 92  | 19 | 19 | 19 | 19 | 19 | 19 | 19 |
|         |    | 97  | 18 | 18 | 18 | 18 | 18 | 18 | 18 |
|         |    | 103 | 17 | 17 | 17 | 17 | 17 | 17 | 17 |
|         |    | 110 | 15 | 15 | 15 | 15 | 15 | 15 | 15 |
|         |    | 118 | 14 | 14 | 14 | 14 | 14 | 14 | 14 |
|         |    | 127 | 14 | 14 | 14 | 14 | 14 | 14 | 14 |
|         |    | 137 | 13 | 13 | 13 | 13 | 13 | 13 | 13 |
|         |    | 150 | 12 | 12 | 12 | 12 | 12 | 12 | 12 |

ตารางที่ 4.19 ผลการจัดจำแนกการประกอบชุดปัญหาของ Scholl ของทั้ง 6 วิธี (ต่อ)

| Problem        | n   | CT  | m* | DE |    |    |    |    |    |
|----------------|-----|-----|----|----|----|----|----|----|----|
|                |     |     |    | 1  | 2  | 3  | 4  | 5  | 6  |
| Mukherjee      | 94  | 176 | 25 | 25 | 25 | 25 | 25 | 25 | 25 |
|                |     | 183 | 24 | 24 | 24 | 24 | 24 | 24 | 24 |
|                |     | 192 | 23 | 23 | 23 | 23 | 23 | 23 | 23 |
|                |     | 201 | 22 | 23 | 23 | 23 | 23 | 23 | 23 |
|                |     | 211 | 21 | 21 | 21 | 21 | 21 | 21 | 21 |
|                |     | 222 | 20 | 20 | 20 | 20 | 20 | 20 | 20 |
|                |     | 234 | 19 | 19 | 19 | 19 | 19 | 19 | 19 |
|                |     | 248 | 18 | 18 | 18 | 18 | 18 | 18 | 18 |
|                |     | 263 | 17 | 17 | 17 | 17 | 17 | 17 | 17 |
|                |     | 281 | 16 | 16 | 16 | 16 | 16 | 16 | 16 |
|                |     | 301 | 15 | 15 | 15 | 15 | 15 | 15 | 15 |
|                |     | 324 | 14 | 14 | 14 | 14 | 14 | 14 | 14 |
|                |     | 351 | 13 | 13 | 13 | 13 | 13 | 13 | 13 |
| Bartholdi<br>1 | 148 | 403 | 14 | 14 | 14 | 14 | 14 | 14 | 14 |
|                |     | 434 | 13 | 13 | 13 | 13 | 13 | 13 | 13 |
|                |     | 470 | 12 | 12 | 12 | 12 | 12 | 12 | 12 |
|                |     | 513 | 11 | 11 | 11 | 11 | 11 | 11 | 11 |
|                |     | 564 | 10 | 10 | 10 | 10 | 10 | 10 | 10 |
|                |     | 626 | 9  | 9  | 9  | 9  | 9  | 9  | 9  |
|                |     | 705 | 8  | 8  | 8  | 8  | 8  | 8  | 8  |
|                |     | 805 | 7  | 7  | 7  | 7  | 7  | 7  | 7  |
|                |     | 84  | 51 | 53 | 53 | 53 | 53 | 53 | 53 |
|                |     | 85  | 51 | 52 | 52 | 52 | 52 | 52 | 52 |
|                |     | 87  | 49 | 51 | 51 | 51 | 51 | 51 | 51 |
|                |     | 89  | 48 | 50 | 50 | 50 | 50 | 50 | 50 |
| Bartholdi<br>2 | 148 | 91  | 47 | 48 | 48 | 48 | 48 | 48 | 48 |
|                |     | 93  | 46 | 47 | 47 | 47 | 47 | 47 | 47 |
|                |     | 95  | 45 | 46 | 46 | 46 | 46 | 46 | 46 |
|                |     | 97  | 44 | 46 | 46 | 46 | 46 | 46 | 46 |
|                |     | 99  | 43 | 45 | 45 | 45 | 45 | 45 | 45 |
|                |     | 101 | 42 | 43 | 43 | 43 | 43 | 43 | 43 |
|                |     | 104 | 41 | 42 | 42 | 42 | 42 | 42 | 42 |
|                |     | 106 | 40 | 42 | 42 | 42 | 42 | 42 | 42 |
|                |     | 109 | 39 | 40 | 40 | 40 | 40 | 40 | 40 |
|                |     | 112 | 38 | 39 | 39 | 39 | 39 | 39 | 39 |

ตารางที่ 4.19 ผลการจัดจำแนกการประ同胞ชุดปัญหาของ Scholl ของทั้ง 6 วิธี (ต่อ)

| Problem        | n   | CT   | m* | DE |    |    |    |    |    |
|----------------|-----|------|----|----|----|----|----|----|----|
|                |     |      |    | 1  | 2  | 3  | 4  | 5  | 6  |
| Bartholdi<br>2 | 148 | 115  | 37 | 38 | 38 | 38 | 38 | 38 | 38 |
|                |     | 118  | 36 | 37 | 37 | 37 | 37 | 37 | 37 |
|                |     | 121  | 35 | 36 | 36 | 36 | 36 | 36 | 36 |
|                |     | 125  | 34 | 35 | 35 | 35 | 35 | 35 | 35 |
|                |     | 129  | 33 | 34 | 34 | 34 | 34 | 34 | 34 |
|                |     | 133  | 32 | 33 | 33 | 33 | 33 | 33 | 33 |
|                |     | 137  | 31 | 32 | 32 | 32 | 32 | 32 | 32 |
|                |     | 142  | 30 | 31 | 31 | 31 | 31 | 31 | 31 |
|                |     | 146  | 29 | 30 | 30 | 30 | 30 | 30 | 30 |
|                |     | 152  | 28 | 29 | 29 | 29 | 29 | 29 | 29 |
|                |     | 157  | 27 | 28 | 28 | 28 | 28 | 28 | 28 |
|                |     | 163  | 26 | 27 | 27 | 27 | 27 | 27 | 27 |
|                |     | 170  | 25 | 26 | 26 | 26 | 26 | 26 | 26 |
| Scholl         | 297 | 1394 | 50 | 52 | 52 | 52 | 52 | 52 | 52 |
|                |     | 1422 | 50 | 51 | 51 | 51 | 51 | 51 | 51 |
|                |     | 1452 | 48 | 50 | 50 | 50 | 50 | 50 | 50 |
|                |     | 1483 | 48 | 49 | 49 | 49 | 49 | 49 | 49 |
|                |     | 1515 | 47 | 48 | 48 | 48 | 48 | 48 | 48 |
|                |     | 1548 | 46 | 47 | 47 | 47 | 47 | 47 | 47 |
|                |     | 1584 | 44 | 46 | 46 | 46 | 46 | 46 | 46 |
|                |     | 1620 | 44 | 45 | 45 | 45 | 45 | 45 | 45 |
|                |     | 1659 | 43 | 43 | 43 | 43 | 43 | 43 | 43 |
|                |     | 1699 | 42 | 43 | 43 | 43 | 43 | 43 | 43 |
|                |     | 1742 | 40 | 41 | 41 | 41 | 41 | 41 | 41 |
|                |     | 1787 | 40 | 40 | 40 | 40 | 40 | 40 | 40 |
|                |     | 1834 | 38 | 39 | 39 | 39 | 39 | 39 | 39 |
|                |     | 1883 | 37 | 38 | 38 | 38 | 38 | 38 | 38 |
|                |     | 1935 | 36 | 37 | 37 | 37 | 37 | 37 | 37 |
|                |     | 1991 | 35 | 36 | 36 | 36 | 36 | 36 | 36 |
|                |     | 2049 | 34 | 35 | 35 | 35 | 35 | 35 | 35 |
|                |     | 2111 | 33 | 34 | 34 | 34 | 34 | 34 | 34 |
|                |     | 2177 | 32 | 33 | 33 | 33 | 33 | 33 | 33 |
|                |     | 2247 | 31 | 32 | 32 | 32 | 32 | 32 | 32 |
|                |     | 2322 | 30 | 31 | 31 | 31 | 31 | 31 | 31 |
|                |     | 2402 | 29 | 30 | 30 | 30 | 30 | 30 | 30 |

ตารางที่ 4.19 ผลการจัดจัดสมดุลสายการประกอบชุดปั๊มหางของ Scholl ของทั้ง 6 วิธี (ต่อ)

| Problem | n   | CT   | m* | DE |    |    |    |    |    |
|---------|-----|------|----|----|----|----|----|----|----|
|         |     |      |    | 1  | 2  | 3  | 4  | 5  | 6  |
| Scholl  | 297 | 2488 | 28 | 29 | 29 | 29 | 29 | 29 | 29 |
|         |     | 2580 | 27 | 28 | 28 | 28 | 28 | 28 | 28 |
|         |     | 2680 | 26 | 27 | 27 | 27 | 27 | 27 | 27 |
|         |     | 2787 | 25 | 26 | 26 | 26 | 26 | 26 | 26 |

จากตารางที่ 4.19 แสดงผลของการจัดจัดสมดุลสายการประกอบชุดปั๊มหางของ Scholl โดยใช้ทั้ง 6 วิธีที่ประยุกต์ขึ้น ซึ่งวิธีที่ 1-5 สามารถพับคำตอบที่ดีที่สุดเท่ากันจำนวน 99 ปั๊มห้า และวิธีที่ 6 สามารถพับคำตอบที่ดีที่สุด 100 ปั๊มห้า จาก 168 ปั๊มห้า ดังนั้นผู้วิจัยจึงได้เปรียบเทียบเพิ่มเติม โดยพิจารณาจำนวนปั๊มห้าที่มีผลคำตอบที่ดีกว่าในระหว่างทั้ง 6 วิธี ได้จำนวน 163, 163, 164, 165, 166 และ 168 ปั๊มห้าตามลำดับ ยกตัวอย่างเช่น ปั๊มห้า Lutz2 ที่รอบเวลาการผลิต 14 คำตอบที่ดีที่สุดคือ 37 แต่ทั้ง 6 วิธีพับคำตอบ 39, 39, 39, 39, 38 และ 38 ตามลำดับ ดังนั้นวิธีที่ 5 และ 6 จะถือว่าผลคำตอบที่ดีกว่าในระหว่าง 6 วิธีเป็นต้น โดยชุดปั๊มหางของ Scholl มีจำนวนสถานีงาน (n) , รอบเวลาการผลิต (CT) , คำตอบที่ดีที่สุด (m\*) ที่นำข้อมูลมาจาก [www.assembly-line-balancing.de/](http://www.assembly-line-balancing.de/) ของแต่ละปั๊มห้า โดยใช้โปรแกรม Bloodhed Dev-C++ 4.9.9.2. และกำหนดค่า  $N_p = 30$ ,  $F = 0.8$ ,  $i = 1000$  และ  $Cr = 0.8$

จากการผลการทดลองเบรียบเทียบ โดยพิจารณาจำนวนปั๊มห้าที่มีผลคำตอบที่ดีกว่าในระหว่างทั้ง 6 วิธี เมื่อเปรียบเทียบระหว่างวิธี Mutation ทั้ง 3 วิธี พนว่าวิธี “DE/rand-to-best/1” มีจำนวนมากที่สุด และ วิธี “DE/rand” มีจำนวนน้อยที่สุด และเมื่อเปรียบเทียบระหว่างการ Crossover ทั้ง 2 วิธี พนว่าวิธี Exponential Crossover 2 Position มีประสิทธิภาพมากกว่าวิธี Binomial Crossover เนื่องจากวิธี Binomial Crossover นี้ใช้เวลาในการสุ่มค่าให้กับทุกพิกัดเพื่อเบรียบเทียบกับค่า CR ใน การแลกเปลี่ยนพิกัดระหว่างเวกเตอร์แต่วิธี Exponential Crossover 2 Position จะมีการสุ่มพิกัดเพียง 2 ตำแหน่ง เพื่อใช้ในการแลกเปลี่ยนพิกัดระหว่างเวกเตอร์ ดังนั้นจากการทดลองใช้แก๊ชุดปั๊มหางของ Scholl 168 ปั๊มห้าจะพบว่า เมื่อเปรียบเทียบระหว่างทั้ง 6 วิธี วิธีที่ 6 ที่ใช้วิธี “DE/rand-to-best/1” ร่วมกับ Exponential Crossover 2 Position สามารถแก้ปั๊มห้า การจัดจัดสมดุลสายการประกอบโดยมีจำนวนปั๊มห้าที่มีผลคำตอบที่ดีกว่าในระหว่าง 6 วิธีมากที่สุดคือ 168 ปั๊มห้า ซึ่งผลการเบรียบเทียบจะคล้ายกับชุดปั๊มหางของ Talbot แต่จะพนว่าวิธีที่ 6 นั้นดีกว่าวิธีที่ 5 เนื่องจากชุดปั๊มหางของ Scholl นั้นมีขนาดและความซับซ้อนของปั๊มหามากกว่า สังเกตได้จากไม่

สามารถพับคำตอบที่ดีที่สุดของปัญหาถึง 68 ปัญหา จาก 168 ปัญหา ซึ่งในปัญหาลักษณะนี้จะมีคำตอบที่ดีที่สุดจำนวนน้อย แต่ในชุดปัญหาของ Talbot ที่สามารถพับคำตอบที่ดีที่สุดของปัญหาครบทั้ง 64 ปัญหาและเปรียบเทียบการใช้เวลาในการพับคำตอบที่ดีที่สุดนั้นพบว่าใช้เวลาเร็วมากในการพับคำตอบที่ดีที่สุด ซึ่งในปัญหาลักษณะนี้จะมีความซับซ้อนน้อยจำนวนคำตอบที่ดีที่สุดมีจำนวนมาก มีเพียงปัญหา Arcus2 ที่มีขนาดใหญ่และมีความซับซ้อนของปัญหามากสำหรับปัญหาที่มีรอบเวลาผลิตเท่ากับ 5755 ซึ่งทำให้วิธีที่ใช้ “DE/rand” ร่วมกับ Binomial crossover ใช้เวลามากที่สุด 4.22 วินาที

## บทที่ 5

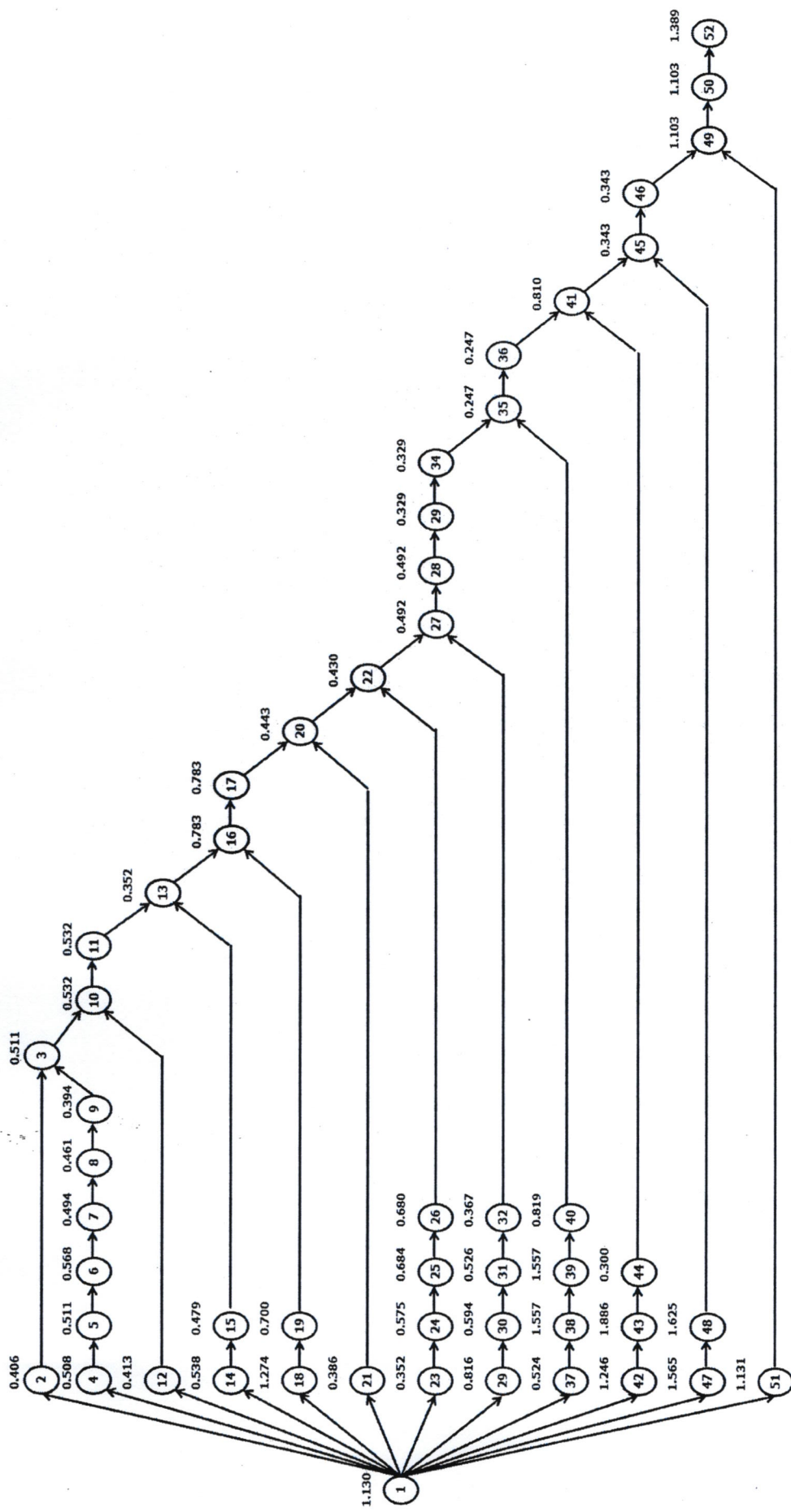
### วิธีการวิวัฒนาการโดยใช้ผลต่าง

#### สำหรับการจัดสมดุลสายการประกอบกรณีศึกษา

ในบทนี้ผู้วิจัยได้นำวิธีการปรับปรุงคำตอบทั้ง 6 วิธี มาทำการจัดสมดุลสายการประกอบของโรงงานกรณีศึกษา โดยมีขั้นตอนและรายละเอียดดังนี้

##### 5.1 กรณีศึกษา

จากการศึกษากรณีศึกษาโรงงานตัดเย็บเสื้อผ้าแห่งหนึ่งใน จ.อุบลราชธานี พบว่า กิจกรรมหลักขององค์กรที่ก่อให้เกิดมูลค่าคือสายการผลิตเย็บเสื้อผ้า จึงได้เลือกสายการประกอบในการเย็บเสื้อผ้ารุ่น 660284 ที่มีลักษณะรูปแบบเป็นเสื้อแจ็คเก็ตเด็กนิ่นหัวใจและกระเพาสอดมือ ด้านหน้า เมื่อจากเป็นสายการประกอบเย็บที่มีขั้นตอนงานจำนวนมาก มีขั้นตอนการเย็บตามลำดับ งานก่อน-หลังในการประกอบเย็บของแต่ละชิ้นส่วนดังภาพที่ 5.1 และปัจจุบันมีประสิทธิภาพ สายการผลิตอยู่ในระดับที่ดี ซึ่งใช้วิธีการจัดสมดุลสายการประกอบโดยใช้ประสบการณ์ของ หัวหน้างานและพิจารณาจากความยากง่ายของขั้นตอนงานและความต้องเนื่องของลำดับงาน เพื่อลด ความซับซ้อนของขั้นตอนการประกอบเย็บงาน โดยมีขั้นตอนงาน 52 ขั้นตอนงาน ซึ่งเวลาของแต่ ละขั้นตอนงาน ได้จากโปรแกรม SEW EASY ที่คำนวณเวลาการทำงานจากความยาวในการเย็บ จึงได้ ค่าเวลาการทำงานของแต่ละขั้นตอนเป็นค่าคงที่ดังตารางที่ 5.1 และมีสถานีงานปัจจุบัน 19 สถานี ดังตารางที่ 5.2 โดยใช้พนักงาน 19 คน มีรอบเวลาการผลิต (Cycle Time) ที่ได้จากฝ่ายวางแผนการ ผลิตที่มีเป้าหมายการผลิต 170 ตัวต่อวัน มีเวลาทำงาน 8 ชั่วโมงต่อวัน ซึ่งได้เพื่อเวลาที่อาจเกิดจาก การสูญเสียต่างๆ ทำให้รอบเวลาการผลิต ของผลิตภัณฑ์นี้เท่ากับ 2.95 นาที ซึ่งรูปแบบของ สายการผลิตนี้ จัดเป็นปัญหาการจัดสมดุลสายการประกอบแบบเส้นตรงประเภทที่ 1 (Simple Assembly Line Balancing Problem Type 1: SALBP-1)



ภาพที่ 5.1 แผนภาพลำดับงานก่อหนี้ของปัญหาการจัดซื้อดุลตามรายการประกอบกรณีศึกษา

จากภาพที่ 5.1 แสดงแผนภาพลำดับงานก่อนหลังที่มี 52 งาน โดยตัวเลขค้านในแสดงชื่อของแต่ละขั้นตอนงาน ส่วนตัวเลขค้านบนแสดงเวลาการทำงานและลูกศรแสดงลำดับการทำงานของแต่ละงาน

ตารางที่ 5.1 เวลาและลำดับงานก่อนหลังแต่ละขั้นตอนงานของสายการผลิตกรณีศึกษา

| งาน | เวลา<br>ผลิต<br>(นาที) | P.C.  |
|-----|------------------------|-------|-----|------------------------|-------|-----|------------------------|-------|-----|------------------------|-------|
| 1   | 1.130                  | -     | 14  | 0.538                  | 1     | 27  | 0.492                  | 22,32 | 40  | 0.819                  | 39    |
| 2   | 0.406                  | 1     | 15  | 0.479                  | 14    | 28  | 0.492                  | 27    | 41  | 0.810                  | 36,44 |
| 3   | 0.511                  | 2,9   | 16  | 0.783                  | 13,19 | 29  | 0.816                  | 1     | 42  | 1.246                  | 1     |
| 4   | 0.508                  | 1     | 17  | 0.783                  | 16    | 30  | 0.594                  | 29    | 43  | 1.886                  | 42    |
| 5   | 0.511                  | 4     | 18  | 1.274                  | 1     | 31  | 0.526                  | 30    | 44  | 0.300                  | 43    |
| 6   | 0.568                  | 5     | 19  | 0.700                  | 18    | 32  | 0.367                  | 31    | 45  | 0.343                  | 41,48 |
| 7   | 0.494                  | 6     | 20  | 0.443                  | 17,19 | 33  | 0.329                  | 28    | 46  | 0.343                  | 45    |
| 8   | 0.461                  | 7     | 21  | 0.386                  | 1     | 34  | 0.329                  | 33    | 47  | 1.565                  | 1     |
| 9   | 0.394                  | 8     | 22  | 0.430                  | 20,26 | 35  | 0.247                  | 34,40 | 48  | 1.625                  | 47    |
| 10  | 0.532                  | 3,12  | 23  | 0.352                  | 1     | 36  | 0.247                  | 35    | 49  | 1.103                  | 46,51 |
| 11  | 0.532                  | 10    | 24  | 0.575                  | 23    | 37  | 0.524                  | 1     | 50  | 1.103                  | 49    |
| 12  | 0.413                  | 1     | 25  | 0.684                  | 24    | 38  | 1.557                  | 37    | 51  | 1.131                  | 1     |
| 13  | 0.352                  | 11,15 | 26  | 0.680                  | 25    | 39  | 1.557                  | 38    | 52  | 1.389                  | 50    |

จากตารางที่ 5.1 แสดงรายละเอียดของแต่ละงาน โดยมีเวลาและลำดับงานก่อน - หลัง (Precedence diagram: P.C.) ยกตัวอย่างเช่น งานที่ 1 ใช้เวลา 1.13 นาที ไม่มีลำดับงานก่อนหน้า ส่วนงานขั้นตอนที่ 3 ใช้เวลาในการทำงาน 0.511 นาที ซึ่งจะต้องทำงานที่ 2 และ 9 ก่อน จึงจะสามารถทำงานขั้นตอนที่ 3 ได้

ตารางที่ 5.2 สถานีงานของสายการประกอบกรณีศึกษาก่อนปรับปรุง

| สถานีงาน | งาน               | เวลารวม<br>(นาที) | I. D.<br>(นาที) | สถานีงาน | งาน              | เวลารวม<br>(นาที) | I. D.<br>(นาที) |
|----------|-------------------|-------------------|-----------------|----------|------------------|-------------------|-----------------|
| 1        | 1 , 2 , 4         | 2.044             | 0.906           | 11       | 27 , 28 , 33, 34 | 1.641             | 1.309           |
| 2        | 5 , 6 , 7         | 1.573             | 1.377           | 12       | 43 , 44          | 2.186             | 0.764           |
| 3        | 3 , 8 , 9         | 1.366             | 1.584           | 13       | 37 , 38          | 2.081             | 0.870           |
| 4        | 10 , 11 , 12 , 21 | 1.863             | 1.087           | 14       | 39 , 40          | 2.376             | 0.575           |
| 5        | 14 , 15 , 13      | 1.369             | 1.591           | 15       | 35 , 36 , 41     | 1.304             | 1.646           |
| 6        | 18 , 19           | 1.974             | 0.976           | 16       | 47 , 51          | 2.696             | 0.254           |
| 7        | 16 , 17           | 1.565             | 1.385           | 17       | 45 , 46 , 48     | 2.311             | 0.639           |
| 8        | 20 , 24 , 25      | 2.054             | 0.896           | 18       | 49 , 50          | 2.206             | 0.744           |
| 9        | 22 , 26 , 29 , 30 | 2.520             | 0.430           | 19       | 46               | 1.389             | 1.561           |
| 10       | 31 , 32 , 42      | 2.139             | 0.811           | รวม      |                  | 36.656            | 19.395          |

จากตารางที่ 5.2 แต่ละสถานีงานจะมีขั้นตอนงานย่ออยู่ โดยไม่ขัดต่อเงื่อนไขลำดับงานก่อนหลัง เวลาทำงานรวมทั้งหมด 36.656 นาที คิดประสิทธิภาพเป็น 65.39 % และเกิดเวลาว่างงาน (Idle Time; ID) 19.395 นาที

## 5.2 ผลการทดลองวิธีการวิจัยการโดยใช้ผลต่างสำหรับปัญหาการจัดสมดุลสายการประกอบกรณีศึกษา

จากการทดลองนำวิธีวิจัยการโดยใช้ผลต่าง มาทดสอบแก้ปัญหาจัดสมดุลสายการประกอบ กรณีศึกษา โดยใช้การประยุกต์นำวิธี Mutation 3 วิธีมาใช้ร่วมกับวิธี Crossover 2 วิธี จะทำให้ได้วิธีปรับปรุงคำตอบ 6 วิธี ดังนี้

- “DE/rand” ร่วมกับ Binomial Crossover
- “DE/Best/1” ร่วมกับ Binomial Crossover
- “DE/rand-to-best/1” ร่วมกับ Binomial Crossover
- “DE/rand” ร่วมกับ Exponential Crossover 2 Position
- “DE/Best/1” ร่วมกับ Exponential Crossover 2 Position
- “DE/rand-to-best/1” ร่วมกับ Exponential Crossover 2 Position

เมื่อนำมาแก้ปัญหาการจัดสมดุลสายการประกอบกรณีศึกษา ที่มีขั้นตอนงาน 52 งาน พบว่าสามารถให้คำตอบที่เหมาะสมเท่ากัน 13 สถานี ทั้ง 6 วิธี ซึ่งสามารถยกตัวอย่างคำตอบที่ได้ดัง ตารางที่ 5.3 และนำมาเปรียบเทียบระหว่างทั้ง 6 วิธี โดยพิจารณาเวลาที่พบคำตอบที่เหมาะสมในการ รันโปรแกรม Bloodhed Dev-C++ 4.9.9.2 จำนวน 5 ครั้ง ดังตารางที่ 5.4 และภาพที่ 5.2

**ตารางที่ 5.3 ผลการจัดสมดุลสายการประกอบกรณีศึกษาด้วยวิธีการวิจัยการวิจัยการ โดยใช้ผลต่าง**

| สถานีงาน | งาน | เวลา<br>(นาที) | I.D.<br>(นาที) | สถานีงาน | งาน | เวลา<br>(นาที) | I.D.<br>(นาที) |  |
|----------|-----|----------------|----------------|----------|-----|----------------|----------------|--|
| 1        | 1   | 1.1300         | 0.0500         | 6        | 24  | 0.5750         | 0.0240         |  |
|          | 42  | 1.2460         |                |          | 25  | 0.6840         |                |  |
|          | 37  | 0.5240         |                |          | 26  | 0.6800         |                |  |
| 2        | 12  | 0.4130         | 0.0630         |          | 15  | 0.4790         | 0.0970         |  |
|          | 14  | 0.5380         |                |          | 4   | 0.5080         |                |  |
|          | 29  | 0.8160         |                |          | 7   | 0.5110         |                |  |
|          | 30  | 0.5940         |                |          | 6   | 0.5680         |                |  |
|          | 31  | 0.5260         |                |          | 7   | 0.4940         |                |  |
| 3        | 43  | 1.8860         | 0.0450         |          | 40  | 0.8190         | 0.2230         |  |
|          | 44  | 0.3000         |                |          | 8   | 0.4610         |                |  |
|          | 32  | 0.3670         |                |          | 9   | 0.3940         |                |  |
|          | 23  | 0.3520         |                |          | 2   | 0.4060         |                |  |
| 4        | 38  | 1.5565         | 0.1195         |          | 3   | 0.5110         | 0.2230         |  |
|          | 18  | 1.2740         |                |          | 10  | 0.5320         |                |  |
| 5        | 39  | 1.5565         | 0.3075         |          | 11  | 0.5320         |                |  |
|          | 19  | 0.7000         |                |          | 13  | 0.3520         |                |  |
|          | 21  | 0.3860         |                |          |     |                |                |  |

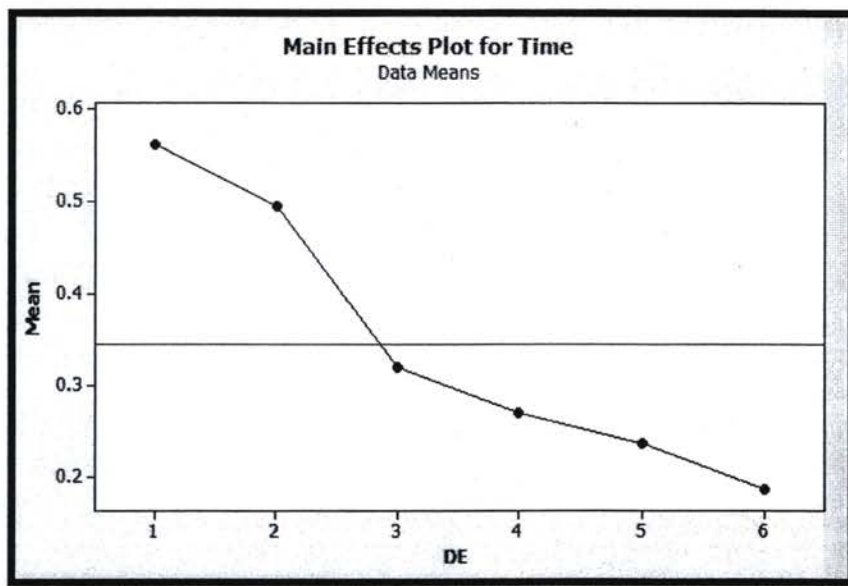
ตารางที่ 5.3 ผลการจัดสมดุลสายการประกอบกรณีศึกษาด้วยวิธีการวิจัยและการทดสอบโดยใช้ผลต่าง (ต่อ)

| สถานีงาน | งาน | เวลา<br>(นาที) | I.D.<br>(นาที) | สถานีงาน | งาน    | เวลา<br>(นาที) | I.D.<br>(นาที) |  |
|----------|-----|----------------|----------------|----------|--------|----------------|----------------|--|
| 9        | 16  | 0.7825         | 0.0205         | 11       | 48     | 1.6250         | 0.0210         |  |
|          | 17  | 0.7825         |                |          | 35     | 0.2470         |                |  |
|          | 20  | 0.4430         |                |          | 36     | 0.2470         |                |  |
|          | 22  | 0.4300         |                |          | 41     | 0.8100         |                |  |
|          | 27  | 0.4915         |                | 12       | 45     | 0.3430         | 0.0300         |  |
| 10       | 28  | 0.4915         | 0.2355         |          | 46     | 0.3430         |                |  |
|          | 33  | 0.3290         |                |          | 51     | 1.1310         |                |  |
|          | 34  | 0.3290         |                |          | 49     | 1.1030         |                |  |
|          | 47  | 1.5650         | 13             | 50       | 1.1030 | 0.4580         |                |  |
|          |     |                |                |          | 52     |                | 1.3890         |  |
|          |     |                |                | รวม      |        | 36.656         | 1.694          |  |

จากตารางที่ 5.3 แสดงตัวอย่างผลคำตอบจากกรณีศึกษาด้วยวิธีการวิจัยและการทดสอบโดยใช้ผลต่าง โดยไม่ขัดต่อเงื่อนไขของกรณีศึกษา เช่น สถานีที่ 2 มีขั้นตอนงาน 12,14,29,30 และ 31 และมีเวลาว่างงาน (Idle Time) 0.063 นาที ซึ่งสามารถลดสถานีงานจากสายการผลิตปัจจุบันที่มี 19 สถานีงาน เหลือ 13 สถานีงาน เพิ่มประสิทธิภาพจาก 65.39 % เป็น 95.58 % และลดเวลาว่างงานจาก 19.395 นาที เหลือ 1.694 นาที

ตารางที่ 5.4 ผลเปรียบเทียบเวลาระหว่าง 6 วิธี ที่พับคำตอบที่เหมาะสม

| Problem    | n  | CT<br>(min) | DE         |            |            |            |            |            |
|------------|----|-------------|------------|------------|------------|------------|------------|------------|
|            |    |             | 1<br>(sec) | 2<br>(sec) | 3<br>(sec) | 4<br>(sec) | 5<br>(sec) | 6<br>(sec) |
| Case Study | 52 | 2.95        | 0.852      | 0.681      | 0.15       | 0.358      | 0.52       | 0.101      |
|            |    |             | 0.355      | 0.302      | 0.596      | 0.259      | 0.14       | 0.071      |
|            |    |             | 0.667      | 0.374      | 0.113      | 0.256      | 0.205      | 0.325      |
|            |    |             | 0.373      | 0.312      | 0.397      | 0.162      | 0.094      | 0.198      |
|            |    |             | 0.564      | 0.806      | 0.34       | 0.309      | 0.215      | 0.227      |
| $\bar{X}$  |    |             | 0.5622     | 0.495      | 0.3192     | 0.2688     | 0.2348     | 0.1844     |



ภาพที่ 5.2 กราฟแสดงเวลาที่พบคำตอบที่ดีที่สุดสำหรับปัญหากรณีศึกษาของทั้ง 6 วิธี

จากผลการทดลองในตารางที่ 5.4 และภาพที่ 5.2 แสดงปัญหากรณีศึกษาที่มีขั้นตอนงาน 52 งาน (n) และมีรับเวลาการผลิต (CT) 2.95 นาที โดยใช้วิธีการวิพากษณาการ โดยใช้ผลต่าง ทั้ง 6 วิธี ในการจัดสมดุลสายการประกอบ ซึ่งจากการทดลองหาก้าพารามิเตอร์ที่เหมาะสมในบทที่ 4 จึงใช้ค่า  $F = 0.8$ ,  $Cr = 0.8$  และ  $NP = 150$  โดยเวลาในตารางหมายถึง เวลาที่พบคำตอบที่ 13 สถานีและ เมื่อเปรียบเทียบระหว่างทั้ง 6 วิธี พนว่าวิธีที่ 6 ที่ใช้ “DE/rand-to-best” ร่วมกับ Exponential Crossover 2 Position ใช้เวลาเฉลี่ย ( $\bar{X}$ ) น้อยที่สุดในการพบคำตอบที่เหมาะสม

จากผลการทดลองเมื่อเปรียบเทียบระหว่างวิธี Mutation ทั้ง 3 วิธี พนว่าวิธี “DE/rand-to-best/1” ใช้เวลาพบคำตอบที่เหมาะสมสั้นที่สุด และ วิธี “DE/rand” ใช้เวลาในการพบคำตอบที่เหมาะสมมากที่สุด ซึ่งเมื่อเปรียบเทียบระหว่างวิธี Crossover ทั้ง 2 วิธี พนว่าวิธี Exponential crossover 2 position ใช้เวลาในการพบคำตอบที่เหมาะสมสั้นกว่าวิธี Binomial crossover จากการทดลองใช้แก้ปัญหากรณีศึกษา พนว่าเมื่อเปรียบเทียบระหว่างทั้ง 6 วิธี วิธีที่ 6 ที่ใช้วิธี “DE/rand-to-best/1” ร่วมกับ Exponential Crossover 2 Position สามารถแก้ปัญหาการจัดสมดุลสายการประกอบ โดยใช้เวลาที่พบคำตอบที่เหมาะสมสั้นที่สุด ซึ่งการจัดสมดุลสายการประกอบกรณีศึกษานี้เมื่อเปรียบเทียบทั้ง 6 วิธี จะให้ผลการทดลองเหมือนกับชุดปัญหาของ Scholl ที่มีความซับซ้อนของปัญหามากทำให้วิธีที่ 6 เป็นวิธีที่เหมาะสมกับปัญหากรณีศึกษานี้มากที่สุด

## บทที่ 6

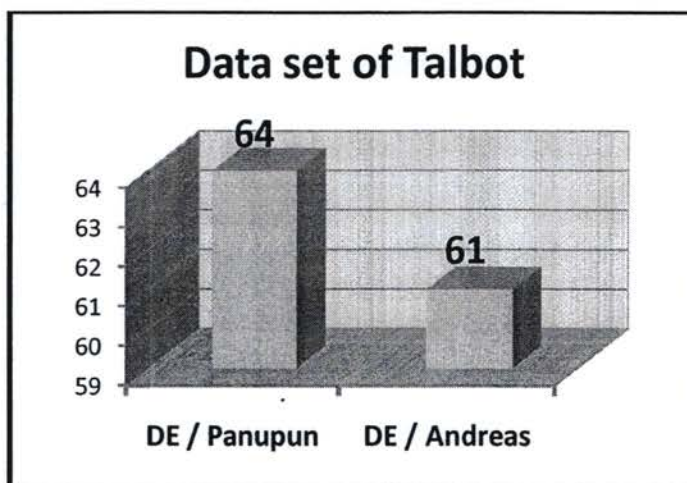
### สรุปผลการวิจัย

ในบทนี้ผู้วิจัยได้นำเสนอสรุปผลการเปรียบเทียบของวิธีการวิวัฒนาการโดยใช้ผลต่าง ( Differential Evolution Algorithm: DE ) ที่ประยุกต์ขึ้น 6 วิธี คือ

- “DE/rand” ร่วมกับ Binomial Crossover
- “DE/Best/1” ร่วมกับ Binomial Crossover
- “DE/rand-to-best/1” ร่วมกับ Binomial Crossover
- “DE/rand” ร่วมกับ Exponential Crossover 2 Position
- “DE/Best/1” ร่วมกับ Exponential Crossover 2 Position
- “DE/rand-to-best/1” ร่วมกับ Exponential Crossover 2 Position

#### 6.1 เปรียบเทียบวิธีการวิวัฒนาการโดยใช้ผลต่างที่ประยุกต์ขึ้นโดยทดลองกับชุดปัญหาของ Talbot

จากการทดลองจัดสมดุลสายการประกอบชุดปัญหาของ Talbot พบว่าวิธีที่ประยุกต์ขึ้นทั้ง 6 วิธี สามารถพนิคต์ตอบที่ดีที่สุดได้ครบทั้ง 64 ปัญหา ซึ่งให้ผลที่ดีกว่าวิธีการวิวัฒนาการโดยใช้ผลต่างที่ Andreas C. Nearchou (2005) ออกแบบไว้ โดยสามารถพนิคต์ตอบที่ดีที่สุดเพียง 61 ปัญหา ดังภาพที่ 6.1

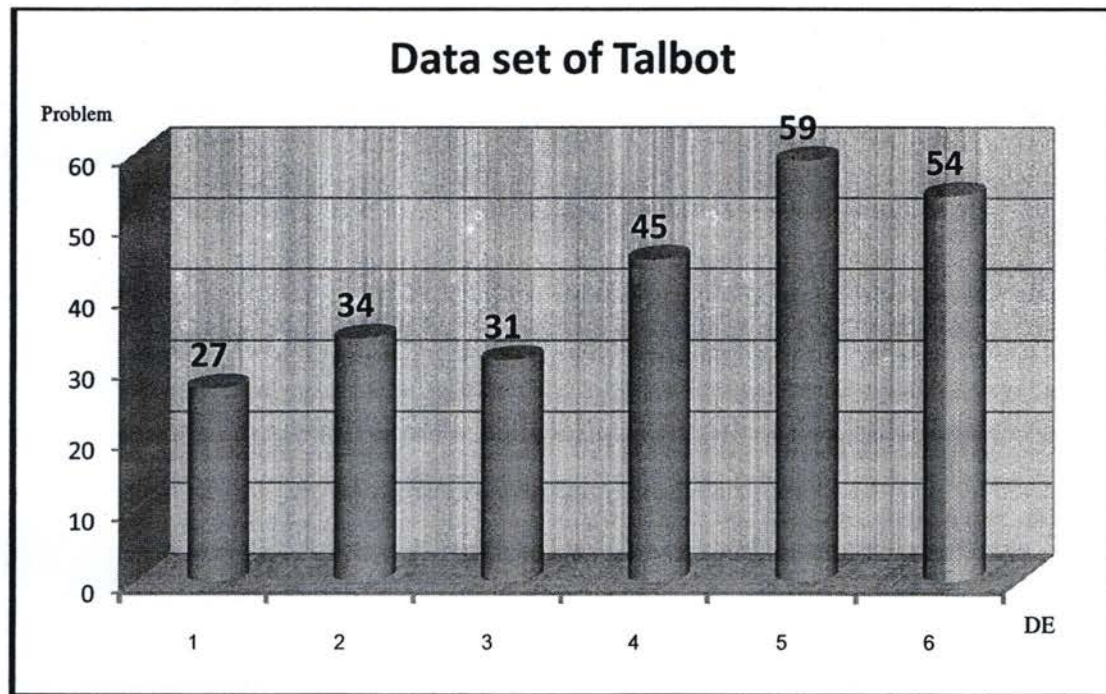


ภาพที่ 6.1 เปรียบเทียบผลกระทบวิธีการวิวัฒนาการโดยใช้ผลต่างที่ผู้วิจัย กับ Andreas นำเสนอสำหรับชุดปัญหาของ Talbot

ดังนั้นผู้วิจัยจึงนำมาเปรียบเทียบระหว่างทั้ง 6 วิธี โดยพิจารณาเวลาที่พบค่าตอบที่ดีที่สุด ซึ่งพบว่าสามารถพบค่าตอบที่ดีที่สุดในเวลาที่เร็วที่สุดจำนวน 27, 34, 31, 45, 59 และ 54 ปั้ญหา ตามลำดับตารางที่ 6.1 และภาพที่ 6.2

ตารางที่ 6.1 จำนวนปั้ญหาที่พบค่าตอบที่ดีที่สุดในเวลาที่เร็วที่สุดระหว่างทั้ง 6 วิธี

| Problem            | Binomial Crossover |           |                   | Exponential Crossover 2 Position |           |                   |
|--------------------|--------------------|-----------|-------------------|----------------------------------|-----------|-------------------|
|                    | DE/rand            | DE/best/1 | DE/rand-to-best/1 | DE/rand                          | DE/best/1 | DE/rand-to-best/1 |
| Data Set of Talbot | 27                 | 34        | 31                | 45                               | 59        | 54                |

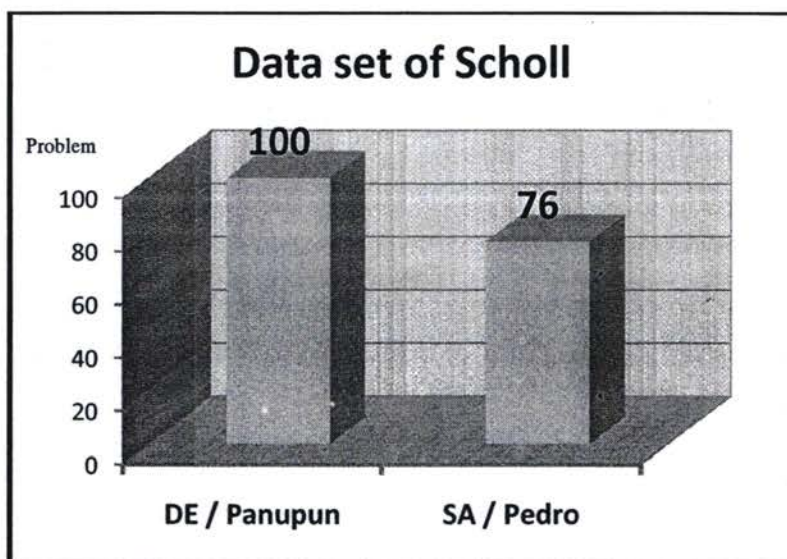


ภาพที่ 6.2 เปรียบเทียบจำนวนปั้ญหาที่พบค่าตอบที่ดีที่สุดในเวลาที่เร็วที่สุดระหว่างทั้ง 6 วิธี

จากตารางที่ 6.1 และภาพที่ 6.2 พบว่าวิธีที่ 5 ที่ใช้วิธี “DE/Best/1” ร่วมกับ Exponential crossover 2 position มีประสิทธิภาพมากที่สุดสำหรับชุดปั้ญหาของ Talbot โดยมีจำนวนปั้ญหาที่พบค่าตอบที่ดีที่สุดในเวลาเร็วที่สุดมากที่สุด 59 ปั้ญหา

## 6.2 เปรียบเทียบวิธีการวิจัยการโดยใช้ผลต่างที่ประยุกต์ขึ้นโดยทดลองกับชุดปัญหาของ Scholl

จากการทดลองขั้นสมดุลสายการประกลบชุดปัญหาของ Scholl พบว่าวิธีการวิจัยการโดยใช้ผลต่างที่ประยุกต์ขึ้นวิธีที่ 1-5 สามารถพนค่าตอบที่ดีที่สุดเท่ากันจำนวน 99 ปัญหา และวิธีที่ 6 สามารถพนค่าตอบที่ดีที่สุด 100 ปัญหา จาก 168 ปัญหา ซึ่งให้ผลที่ดีกว่าวิธีเดิมแบบการอบอ่อนที่ Pedro M. Vilarinho and Ana Sofia Simaria (2002) ออกแบบไว้ โดยสามารถพนค่าตอบที่ดีที่สุดเพียง 76 ปัญหา ดังภาพที่ 6.3

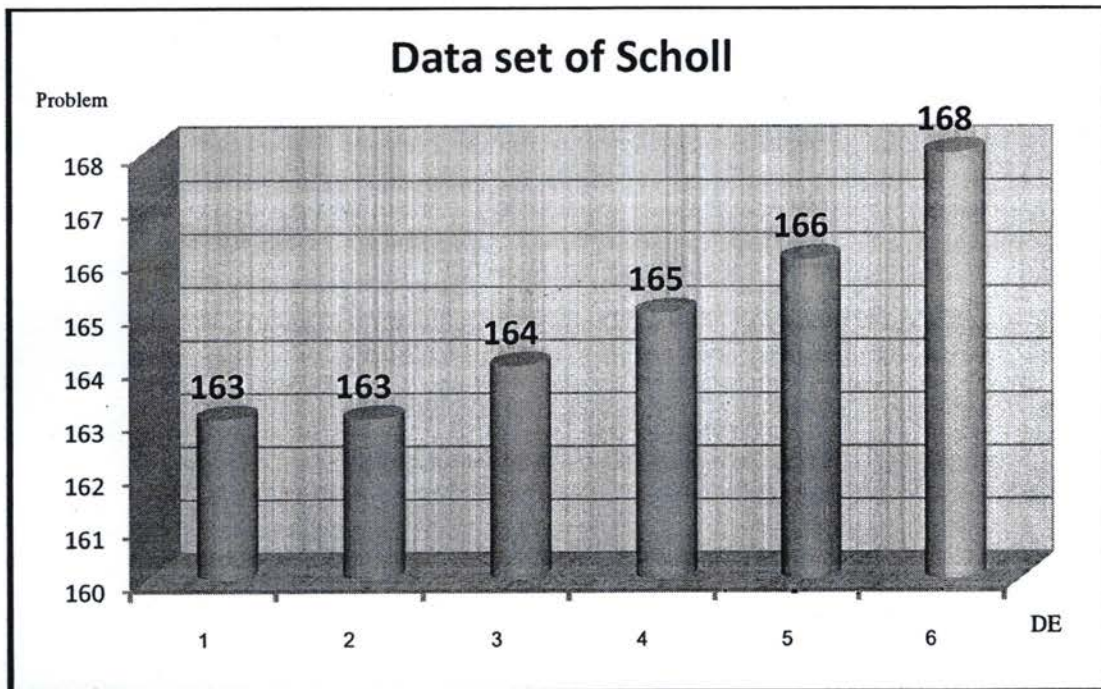


ภาพที่ 6.3 เปรียบเทียบผลกระทบวิธีการวิจัยการโดยใช้ผลต่างของผู้วิจัยกับวิธีเดิมแบบการอบอ่อนที่ Predro นำเสนอสำหรับชุดปัญหาของ Scholl

ดังนั้นผู้วิจัยจึงได้เปรียบเทียบเพิ่มเติม โดยพิจารณาจำนวนปัญหาที่มีผลค่าตอบที่ดีกว่าในระหว่างทั้ง 6 วิธี ได้จำนวน 163, 163, 164, 165, 166 และ 168 ปัญหาตามลำดับ ดังตารางที่ 6.2 และภาพที่ 6.4

ตารางที่ 6.2 จำนวนปัญหาที่มีผลค่าตอบที่ดีกว่าในระหว่างทั้ง 6 วิธี

| Problem            | Binomial Crossover |           |                   | Exponential Crossover 2 Position |           |                   |
|--------------------|--------------------|-----------|-------------------|----------------------------------|-----------|-------------------|
|                    | DE/rand            | DE/best/1 | DE/rand-to-best/1 | DE/rand                          | DE/best/1 | DE/rand-to-best/1 |
| Data Set of Scholl | 163                | 163       | 164               | 165                              | 166       | 168               |

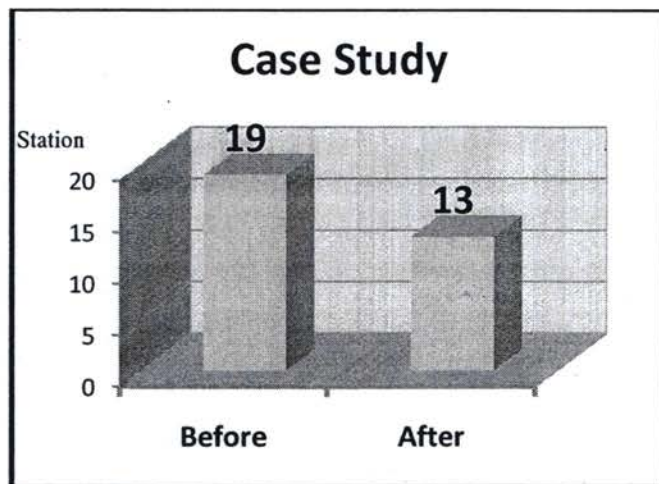


ภาพที่ 6.4 เปรียบเทียบจำนวนปัญหาที่มีผลคำตอบที่ดีกว่าในระหว่างทั้ง 6 วิธี

จากตารางที่ 6.2 และภาพที่ 6.4 พบว่าวิธีที่ 6 ที่ใช้วิธี “DE/rand-to-best/1” ร่วมกับ Exponential crossover 2 position มีประสิทธิภาพมากที่สุดสำหรับชุดปัญหาของ Scholl โดยมีจำนวนปัญหาที่พบคำตอบที่ดีกว่าในระหว่างทั้ง 6 วิธีมากที่สุด 168 ปัญหา

### 6.3 เปรียบเทียบวิธีการวิจัยณาการโดยใช้ผลต่างที่ประยุกต์ขึ้นโดยทดลองกับปัญหารณีศึกษา

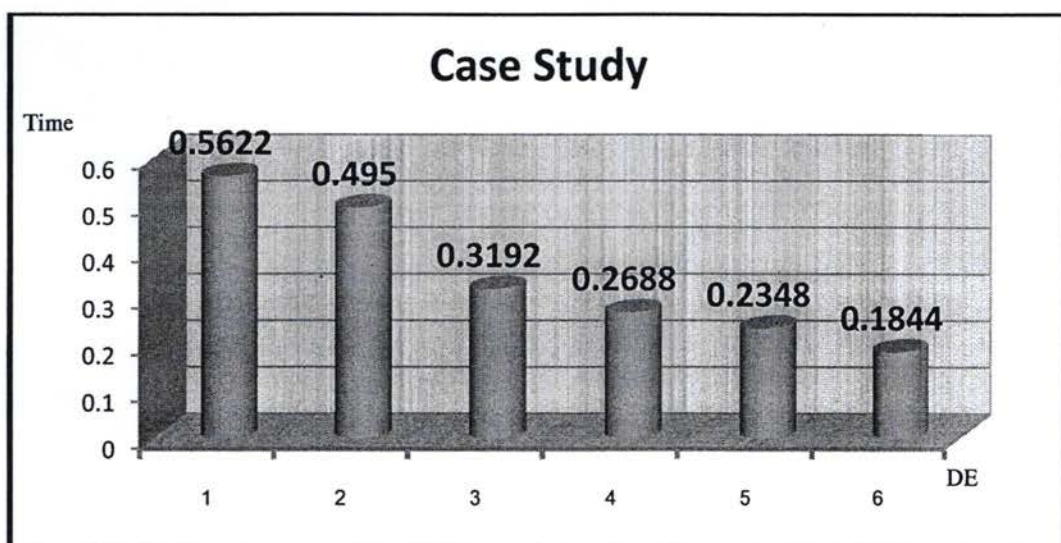
จากการทดลองจัดสมดุลสายการประกอบกรณีศึกษา พบว่าวิธีการวิจัยณาการโดยใช้ผลต่างที่ประยุกต์ขึ้นทั้ง 6 วิธีให้ผลคำตอบเท่ากันคือสามารถลดสถานีงานสายการประกอบปัจจุบันได้จาก 19 สถานีเหลือ 13 สถานี ดังภาพที่ 6.5 เพิ่มประสิทธิภาพจาก 65.39% เป็น 95.58% และลดเวลาทำงานจาก 19.395 นาที เหลือ 1.694 นาที ผู้วิจัยจึงนำมาเปรียบเทียบโดยพิจารณาเวลาที่พบคำตอบที่ 13 สถานี ซึ่งจากการทดลองเปรียบเทียบทั้ง 6 วิธี พบว่าใช้เวลาเฉลี่ย ( $\bar{X}$ ) 0.5622, 0.495, 0.3192, 0.2688, 0.2348 และ 0.1844 วินาที ตามลำดับ ตารางที่ 6.3 และภาพที่ 6.6



ภาพที่ 6.5 จำนวนสถานีงานของปั้นหยากรถศึกษาก่อนและหลังการปรับปรุงด้วยวิธีการวิจัยและการทดลองค่าต่างๆ

ตารางที่ 6.3 เวลาเฉลี่ยที่พับคำตอบที่ 13 สถานี ระหว่างทั้ง 6 วิธี

| Problem    | Binomial Crossover |                    |                            | Exponential Crossover 2 Position |                    |                            |
|------------|--------------------|--------------------|----------------------------|----------------------------------|--------------------|----------------------------|
|            | DE/rand<br>(sec)   | DE/best/1<br>(sec) | DE/rand-to-best/1<br>(sec) | DE/rand<br>(sec)                 | DE/best/1<br>(sec) | DE/rand-to-best/1<br>(sec) |
| Case study | 0.5622             | 0.495              | 0.3192                     | 0.2688                           | 0.2348             | 0.1844                     |



ภาพที่ 6.6 เปรียบเทียบเวลาเฉลี่ยที่พับคำตอบที่ 13 สถานี ระหว่างทั้ง 6 วิธี

จากตารางที่ 6.3 และภาพที่ 6.6 พบร่วมกับ “DE/rand-to-best/1” ร่วมกับ Exponential crossover 2 position มีประสิทธิภาพมากที่สุดสำหรับชุดปัญหาสายการประกอบกรณีศึกษา โดยใช้เวลาเฉลี่ยที่พนค่าตอบที่ 13 สถานีสั้นที่สุด 0.1844 วินาที

#### 6.4 สรุปผลการวิจัย

จากการประยุกต์ใช้วิธี การวิจัยและการโดยใช้ผลต่างในงานวิจัยนี้ได้ค้นพบวิธีการใหม่สำหรับการจัดสมดุลสายการประกอบแบบเส้นตรงประเภทที่ 1 (Simple Assembly Line Balancing Problem Type 1: SALBP-1) และสามารถนำวิธีที่ประยุกต์ขึ้นทั้ง 6 วิธี ไปใช้กับปัญหาการจัดสมดุลสายการประกอบได้อย่างมีประสิทธิภาพ โดยสามารถสรุปการวิจัยได้ดังนี้

6.4.1 วิธีการวิจัยและการโดยใช้ผลต่างนั้นยังไม่เป็นที่นิยมในการศึกษาและวิจัยสำหรับแก้ปัญหาการจัดสมดุลสายการประกอบมากนัก โดยจากการศึกษานักความวิจัยที่เกี่ยวข้องพบว่า Andreas C. Nearchou (2005) ได้ใช้วิธีการวิจัยและการโดยใช้ผลต่างที่มีการใช้ค่า Sub-rage (SR) ในการปรับปรุงคำตอบ ซึ่งสามารถจัดสมดุลสายการประกอบชุดปัญหาของ Talbot พนค่าตอบที่ดีที่สุด 61 ปัญหา จาก 64 ปัญหา และจากการศึกษาวิธีการวิจัยและการโดยใช้ผลต่างที่ Andreas นำเสนอนั้นพบว่าจะมีโอกาสทำให้คำตอบเริ่มต้นเป็นคำตอบที่ไม่เป็นจริงและต้องมีการพัฒนาซ่อนแซนคำตอบในภายหลัง ดังนั้นผู้วิจัยจึงพัฒนาวิธีการวิจัยและการโดยใช้ผลต่าง เพื่อให้มีประสิทธิภาพมากขึ้น โดยมีการสร้างคำตอบที่เป็นจริงตั้งแต่คำตอบเริ่มต้นทำให้ไม่ต้องมีการซ่อนแซนคำตอบในภายหลัง ซึ่งผู้วิจัยได้ประยุกต์ใช้วิธี Mutation 3 วิธีคือ “DE/rand”, “DE/Best/1”, “DE/rand-to-best” มาใช้ร่วมกับวิธี Crossover 2 วิธีคือ Binomial Crossover และ Exponential Crossover 2 Position ที่ได้พัฒนาปรับปรุงจากวิธี Exponential Crossover เดิมมาพัฒนาใช้กับปัญหาการจัดสมดุลสายการประกอบแบบเส้นตรงประเภทที่ 1 ทำให้ได้วิธีการวิจัยและการโดยใช้ผลต่างที่มีวิธีการปรับปรุงคำตอบ 6 วิธี ดังนี้

“DE/rand/1” ร่วมกับ Binomial Crossover

“DE/Best/1” ร่วมกับ Binomial Crossover

“DE/rand-to-best/1” ร่วมกับ Binomial Crossover

“DE/rand/1” ร่วมกับ Exponential Crossover 2 Position

“DE/Best/1” ร่วมกับ Exponential Crossover 2 Position

“DE/rand-to-best/1” ร่วมกับ Exponential Crossover 2 Position

6.4.2 เมื่อนำวิธีการวิวัฒนาการโดยใช้ผลต่างที่ประยุกต์ขึ้นมาแก่ปัญหาการจัดสมดุลสายการประกอบชุดปัญหาของ Talbot พบว่าทั้ง 6 วิธีสามารถพับคำตอบที่ดีที่สุดได้ครบเท่ากันทั้ง 64 ปัญหา จึงถือได้ว่าวิธีที่ประยุกต์ขึ้นเป็นวิธีที่มีประสิทธิภาพเมื่อเปรียบเทียบกับวิธีการวิวัฒนาการโดยใช้ผลต่างที่ Andreas C. Nearchou (2005) นำเสนอที่พับคำตอบที่ดีที่สุดเพียง 61 ปัญหาเท่านั้น และเมื่อเปรียบเทียบจำนวนปัญหาที่พับคำตอบที่ดีที่สุดในเวลาที่สั้นที่สุดระหว่างวิธีที่ประยุกต์ขึ้นทั้ง 6 วิธี พบร่วมกับ “DE/Best/1” ร่วมกับ Exponential Crossover 2 Position สามารถพับคำตอบที่ดีที่สุดในเวลาที่สั้นที่สุดจำนวนมากที่สุดคือ 59 ปัญหา

6.4.3 ผู้วิจัยได้ใช้วิธีการวิวัฒนาการโดยใช้ผลต่างที่ประยุกต์ขึ้นมาทดลองเพิ่มเติมกับปัญหาที่มีความซับซ้อนและขนาดของปัญหาเพิ่มขึ้น โดยนำมาแก่ปัญหาการจัดสมดุลสายการประกอบชุดปัญหาของ Scholl พบว่าวิธีที่ 1-5 สามารถพับคำตอบที่ดีที่สุดเท่ากันจำนวน 99 ปัญหา และวิธีที่ 6 สามารถพับคำตอบที่ดีที่สุด 100 ปัญหา จาก 168 ปัญหา จึงถือได้ว่าวิธีที่ประยุกต์ขึ้นเป็นวิธีที่มีประสิทธิภาพเมื่อเปรียบเทียบ วิธีเดียวกันนี้ Pedra M. Vilarinho and Ana Sofia Simaria (2002) ออกแบบไว้ โดยสามารถพับคำตอบที่ดีที่สุดเพียง 76 ปัญหาเท่านั้น จากนั้นผู้วิจัย จึงได้เปรียบเทียบเพิ่มเติม โดยพิจารณาจำนวนปัญหาที่มีผลคำตอบที่ดีกว่าในระหว่างทั้ง 6 วิธี พบร่วมกับ “DE/rand-to-best/1” ร่วมกับ Exponential crossover 2 position สามารถพับคำตอบที่ดีกว่าในระหว่างทั้ง 6 วิธีจำนวนมากที่สุดคือ 168 ปัญหา

6.4.4 ผู้วิจัยได้ใช้วิธีการวิวัฒนาการโดยใช้ผลต่างที่ประยุกต์ขึ้นมาทดลองใช้กับปัญหาจริง โดยนำมาแก่ปัญหาการจัดสมดุลสายการประกอบกรณีศึกษาพบว่าทั้ง 6 วิธีให้ผลคำตอบเท่ากัน คือสามารถลดสถานีงานสายการประกอบปัจจุบันได้จาก 19 สถานีเหลือ 13 สถานี เพิ่มประสิทธิภาพจากจาก 65.39% เป็น 95.58% และลดเวลาทำงานจาก 19.395 นาที เหลือ 1.694 นาที ผู้วิจัยจึงนำมาเปรียบเทียบโดยพิจารณาเวลาที่ใช้ในการค้นพับคำตอบที่ 13 สถานี พบร่วมกับ “DE/rand-to-best/1” ร่วมกับ Exponential crossover 2 position สามารถพับคำตอบที่ดีที่สุดโดยใช้เวลาเฉลี่ยที่สั้นที่สุด 0.1844 วินาที

6.4.5 จากการทดลองวิธีการวิวัฒนาการโดยใช้ผลต่างที่ประยุกต์ขึ้นของทั้ง 6 วิธีกับชุดปัญหาของ Talbot , Scholl และปัญหาระบบศึกษา เมื่อเปรียบเทียบระหว่าง 6 วิธีนั้นสามารถอธิบายได้ว่าวิธีที่ 6 ที่ใช้ “DE/rand-to-best/1” ร่วมกับ Exponential crossover 2 position มีประสิทธิภาพมากที่สุดสำหรับปัญหาที่มีขนาดใหญ่มีความซับซ้อนของปัญหามากและมีคำตอบที่ดีที่สุดน้อยเมื่อเทียบกับจำนวนของคำตอบที่เป็นไปได้ เนื่องจากวิธี “DE/rand-to-best/1” จะเป็นการหาคำตอบโดยใช้วิธี “DE/rand” ร่วมกับวิธี “DE/Best/1” ที่มีการหาคำตอบในพื้นที่ที่พับคำตอบที่ดีในแต่ละรุ่นของประชากรร่วมอยู่กับการสุ่มหาคำตอบทั่วทุกพื้นที่ของคำตอบที่เป็นไปได้ จะทำให้มีโอกาสพบ

คำตอบที่ดีที่สุดที่มีจำนวนน้อยมากกว่าวิธี “DE/rand” และ “DE/Best/1” ส่วนวิธี “DE/rand” นั้น  
เหมาะกับปัญหาที่มีขนาดเล็กมีคำตอบที่ดีที่สุดจำนวนมากเมื่อเทียบกับจำนวนคำตอบที่เป็นไปได้  
และวิธี “DE/Best/1” จะเหมาะสมกับปัญหาทุกขนาดและมีคำตอบที่ดีที่สุดจำนวนมากเมื่อเทียบกับ  
จำนวนคำตอบที่เป็นไปได้ ซึ่งจะใช้เวลาในการค้นพบคำตอบที่ดีที่สุดเร็วกว่าวิธี “DE/rand-to-  
best/1” สำหรับปัญหาลักษณะนี้ และในส่วนของวิธี Crossover หรือ Recombination นั้นวิธี  
Exponential Crossover 2 Position จะมีประสิทธิภาพมากกว่าวิธี Binomial Crossover เนื่องจากวิธี  
Binomial Crossover นั้นจะใช้เวลามากกว่าในการสุ่มค่าให้กับทุกพิกัดเพื่อเปรียบเทียบกับค่า CR  
ในการแลกเปลี่ยนพิกัดระหว่างเวกเตอร์ แต่วิธี Exponential Crossover 2 Position จะมีการสุ่มพิกัด  
เพียง 2 ตำแหน่ง เพื่อใช้ในการแลกเปลี่ยนพิกัดระหว่างเวกเตอร์

เอกสารอ้างอิง

## เอกสารอ้างอิง

กมิคิค แสงเดือน และคณะ. “การเพิ่มผลิตภาพด้วยเทคนิคการจัดสมดุลสายการประกอบโดยวิธีการทางพื้นฐานรูปแบบ”, ใน การประชุมวิชาการข่ายงานวิศวกรรมอุตสาหการ. น.619-624.

ภูเก็ต : โรงแรมรอยัล ภูเก็ต ชิตี้, 2550.

จงกล เอี่ยมนิ. การประยุกต์ใช้เงินเนติกอัลกอริทึมในการจัดสมดุลสายการประกอบแบบผลิตภัณฑ์ พสมบ. วิทยานิพนธ์ปริญญาวิศวกรรมศาสตรมหาบัณฑิต : จุฬาลงกรณ์มหาวิทยาลัย, 2543.

เดชา พวงดวงเรือง และสุภากรณ์ สุวรรณรังสี. “การจัดสมดุลสายงานการประกอบโดยใช้วิธี M-COMSOAL”, ใน การประชุมวิชาการข่ายงานวิศวกรรมอุตสาหการ. น.54-59.

ขอนแก่น : มหาวิทยาลัยขอนแก่น, 2552.

ธีราพรรณ แซ่เท่าว และคณะ. “การประยุกต์ใช้ระบบมดแบบ เม็ก - มิน ในการจัดสมดุลสายการประกอบ”, วารสารวิศวกรรมศาสตร์ มหาวิทยาลัยเชียงใหม่. 17 (2) : 48-54, 2553.

นุชตรา เกรียงกรղู. วิธีการเมต้าชิวิสติกสำหรับปัญหาการจัดสมดุลสายการประกอบ.

วิทยานิพนธ์ปริญญาปรัชญาดุษฎีบัณฑิต : มหาวิทยาลัยอุบลราชธานี, 2550.

นุชตรา เกรียงกรղู และคณะ. “การปรับปรุงสายการผลิตในโรงงานตัดเย็บเสื้อผ้าสำเร็จรูป”, ใน การประชุมทางวิชาการมหาวิทยาลัยเกียกกายศาสตร์ ครั้งที่ 48. น.268-272.

อุบลราชธานี : โรงแรมสุนីแกรนด์ แอนด์ คอนเวนชันเซ็นเตอร์, 2553.

นรินทร์ จึงจำรัสกิจ และสมเกียรติ ตั้งจิตสิตเจริญ. “การจัดสมดุลสายการผลิตแบบหลายผลิตภัณฑ์ ภายใต้เงื่อนไขเวลาไม่คงที่ในการผลิตเสื้อผ้าสำเร็จรูป”, ใน การประชุมทางวิชาการมหาวิทยาลัยเกียกกายศาสตร์ ครั้งที่ 48. น.466-473. กรุงเทพฯ : มหาวิทยาลัยเกียกกายศาสตร์, 2553.

ปรมฤก ชุดみな และคณะ. “การประยุกต์ใช้ขั้นตอนวิธีการบรรจุภัณฑ์สำหรับปัญหาการจัดลำดับ ผลิตภัณฑ์ที่มีหลายวัตถุประสงค์คุณสมบัติ”, ใน การประชุมทางวิชาการมหาวิทยาลัยเกียกกายศาสตร์ครั้งที่ 47. น.57-66. กรุงเทพฯ : มหาวิทยาลัยเกียกกายศาสตร์, 2552.

วิลาสินี ศิริธร และสุธินี พันธุจิต. การผลิตแบบลีนเพื่อลดความสูญเสียจากการเคลื่อนไหว ที่ไม่จำเป็นในโรงงานตัดเย็บเสื้อผ้าสำเร็จรูป. วิทยานิพนธ์ปริญญาวิศวกรรมศาสตรบัณฑิต : มหาวิทยาลัยอุบลราชธานี, 2552.

### เอกสารอ้างอิง (ต่อ)

- สุภารณ์ สุวรรณรังสี และคณะ. “การแก้ปัญหาการจัดสมดุลสายการประกอบโดยวิธี TSGA”, ใน การประชุมวิชาการข่ายงานวิศวกรรมอุตสาหการ. น.485-490. ภูเก็ต : โรงแรมรอยัลภูเก็ตซิตี้, 2550.
- “การจัดสมดุลสายงานการประกอบโดยใช้จีนแนติกอลกอริทึมร่วมกับเทคนิคการสลับที่แบบสุ่ม : กรณีศึกษาสายงานการประกอบรถมอเตอร์ไซด์”, ใน การประชุมวิชาการทางวิศวกรรมศาสตร์มหาวิทยาลัยสงขลานครินทร์ ครั้งที่ 6. น.493-497. สงขลา : คณะวิศวกรรมศาสตร์ มหาวิทยาลัยสงขลานครินทร์, 2551(ก).
- “การจัดสมดุลสายงานการประกอบโดยใช้การค้นหาแบบต盲目เชิงปรับตัวร่วมกับเทคนิคการสลับที่แบบสุ่ม”, ใน การประชุมวิชาการข่ายงานวิศวกรรมอุตสาหการ. น.77-82. สงขลา : คณะวิศวกรรมศาสตร์ มหาวิทยาลัยสงขลานครินทร์, 2551(ข).
- อัศวิน ลักษณ์ และคณะ. “การปรับปรุงสมดุลสายการผลิตในโรงงานตัดเย็บเสื้อผ้าสำเร็จรูป”, ใน การประชุมวิชาการข่ายงานวิศวกรรมอุตสาหการ. น.268-272. อุบลราชธานี : โรงแรมสุนីย์แกรนด์ แอนด์ คอนเวนชัน เซ็นเตอร์, 2553.

Andreas C. Nearchou. “A Differential Evolution Algorithm For Simple Assembly Line Balancing”, 16 Int. Federation of Automatic Control (IFAC) World Congress. P.1462-1467. Czech Republic: Prague, 2005.

A. K. Qim, V. L. Huang, and P. N. Suganthan. “Differential Evolution Algorithm With Strategy Adaptation for Global Numerical Optimization”, IEEE Transactions on Evolutionary Computation. 13(2): 398-417, 2009.

Armin Scholl. “Data of Assembly Line Balancing Problem”, Data. <http://www.assembly-line-balancing.de/>. April, 2013

Bowman, E.H. “Assembly Line Balancing by Linear Programming”, Operation Research. 8(3): 385-389, 1960.

Daikin Industries Ltd . “Production System”, Picture. <http://www.daikinthai.com> . March, 2012.

Dervis and Selcuk. “A Simple and Global Optimization Algorithm for Engineering Problems: Differential Evolution Algorithm”, Turkish Journal of Electrical Engineering & Computer Sciences. 12(1): 53-60, 2004.

### ເອກສາຣອ້າງອີງ (ຕ່ອ)

- Dexuan, Zou and et al. "An improved differential evolution algorithm for the task assignment problem", Engineering Applications of Artificial Intelligence. 24(1): 616-624, 2011.
- Gutjahr, A. L., Nemhauser. G.L. "An algorithm for the line balancing problem", Management Science. 11(2): 308-315, 1964.
- Pedro M. Vilarinho and Ana Sofia Simaria . "A two-stage heuristic method for balancing mixed-Model", Taylor and Francis Group . NT. J . PROD.RES. 40(6): 1405-1420, 2002.
- Storn, R. and Price, K. "Differential Evolution A simple and efficient heuristic for global optimization over continuous spaces", Journal Global Optimization. 11(4): 241-354, 1997.
- Talbot, F. B., J.H. Patterson and W.V. Gehrlein. A Comparative Evaluation of Heuristic Line Balancing Techniques. Management Sciences. 32(4): 430-454, 1986.
- Xianhui Zeng , Wai-Keung Wong and Sunney Yung-Sun Leung. "An operator allocation Optimization model for balancing control of the hybrid assembly lines using Pareto utility discrete differential evolution algorithm", Computers & Operations Research. 39(1): 1145-1159, 2012.

## ภาคผนวก

## โปรแกรม MINITAB สำหรับคำนวณค่าพารามิเตอร์ที่เหมาะสม

### การหาค่า Weighting Factor ( F ) ที่เหมาะสม

ผู้วิจัยได้ทดลองหาค่า F ที่เหมาะสมโดยเปรียบเทียบผลคำตอบของวิธีการวิพัฒนาการ โดยใช้ผลต่าง จากการใช้วิธี “DE/rand” ร่วมกับ Binomial Crossover ทดลองกับปัญหา 10 ปัญหา ที่มีรูบเวลาการผลิตของแต่ละปัญหาและมีจำนวนงานตั้งแต่ 70 - 297 งาน ซึ่งเป็นปัญหานาคใหญ่ และมีความซับซ้อนของปัญหามาก โดยกำหนดให้ค่า Cr = 0.8 และ NP = 50 ทดสอบค่า F จำนวน 10 ค่า โดยใช้โปรแกรม Bloodbed Dev-C++ 4.9.9.2. ซึ่งจากการทดลองพบว่าค่า F ที่ใช้ในการเปรียบเทียบสามารถตอบคำตอบที่ดีที่สุดเท่ากันทุกค่า ดังนั้นผู้วิจัยจึงเลือกพิจารณาเวลาที่พบคำตอบที่ดีที่สุดของค่า F แต่ละค่า โดยใช้วิธีการทางสถิติ Two-way ANOVA ดังตารางที่ ผ.1 ภาพที่ ผ.1 และ ผ.2

**ตารางที่ ผ.1 ผลการทดลองหาค่า Weighting Factor ( F ) ที่เหมาะสม**

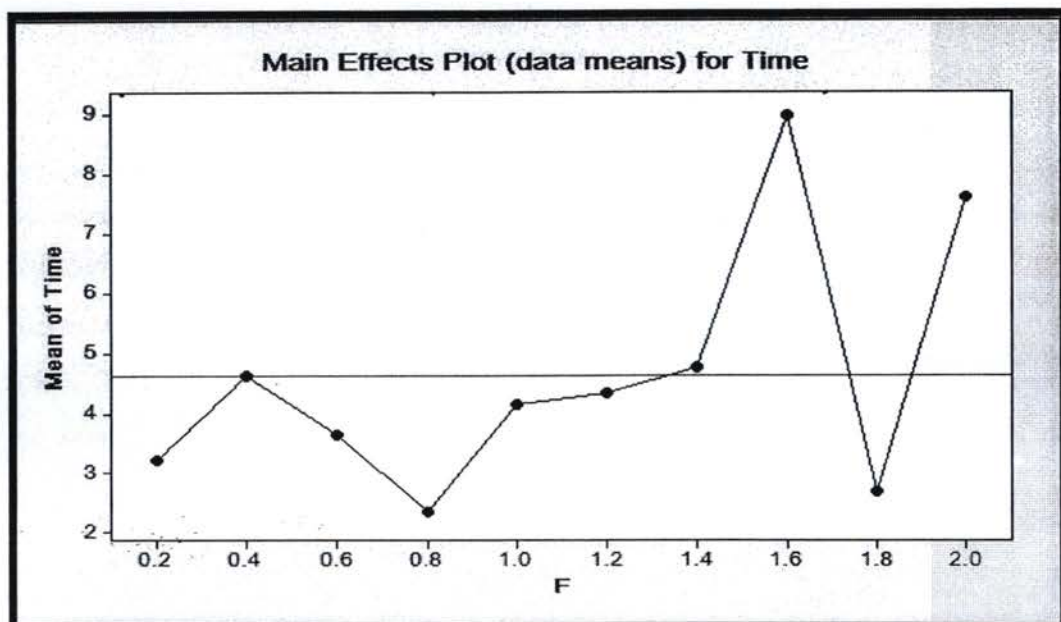
| F             | Problem       |               |               |               |               |               |               |               |               |               |
|---------------|---------------|---------------|---------------|---------------|---------------|---------------|---------------|---------------|---------------|---------------|
|               | Tonge         | Arcus 1       | Arcus 2       | Lutz 2        | Lutz 3        | Mukherjee     | Bartholdi 2   | Scholl        | Scholl        | Scholl        |
|               | CT            |
| 176           | 5048          | 5755          | 11            | 75            | 176           | 84            | 1394          | 1422          | 1452          |               |
| Time<br>(sec) |
| 0.2           | 1.356         | 0.072         | 23.22         | 2.201         | 2.168         | 0.097         | 0.178         | 0.528         | 1.743         | 0.497         |
| 0.4           | 0.682         | 0.07          | 20.82         | 1.781         | 17.81         | 0.283         | 1.636         | 1.116         | 0.503         | 1.515         |
| 0.6           | 1.599         | 0.069         | 22.26         | 5.747         | 0.578         | 0.412         | 0.73          | 2.101         | 2.507         | 0.498         |
| 0.8           | 0.501         | 0.067         | 13.21         | 0.253         | 2.83          | 0.094         | 1.141         | 3.715         | 1.126         | 0.467         |
| 1             | 1.352         | 0.071         | 32.09         | 0.361         | 1.333         | 0.138         | 0.812         | 3.598         | 1.13          | 0.498         |
| 1.2           | 0.713         | 0.072         | 25.02         | 9.572         | 2.145         | 0.145         | 1.963         | 0.81          | 0.498         | 2.416         |
| 1.4           | 1.141         | 0.075         | 28.62         | 9.887         | 1.537         | 0.237         | 1.13          | 2.138         | 2.098         | 0.501         |
| 1.6           | 1.735         | 0.072         | 61.7          | 9.056         | 9.672         | 0.162         | 1.336         | 4.367         | 1.124         | 0.496         |
| 1.8           | 0.554         | 0.071         | 13.41         | 4.643         | 4.662         | 0.145         | 0.619         | 0.493         | 1.434         | 0.813         |
| 2             | 0.547         | 0.074         | 61.2          | 3.043         | 7.77          | 0.326         | 0.402         | 1.138         | 1.119         | 0.498         |

### การวิเคราะห์ผลการทดสอบทางสถิติของค่า F

ผู้วิจัยได้ใช้โปรแกรมทางสถิติ Two-way ANOVA ที่ระดับนัยสำคัญ ( $\alpha$ ) = 0.05 ในการวิเคราะห์ข้อมูลจากตารางที่ ผ.1 ได้ดังภาพที่ ผ.1 และทำการพล็อตกราฟได้ดังภาพที่ ผ.2

| <b>Two-way ANOVA: Time versus F, Problem</b>            |    |         |         |       |       |
|---|----|---------|---------|-------|-------|
| Source  | DF | SS      | MS      | F     | P     |
| F   | 9  | 401.0   | 44.556  | 1.30  | 0.249 |
| Problem   | 9  | 7506.2  | 834.028 | 24.36 | 0.000 |
| Error   | 81 | 2772.8  | 34.232  |       |       |
| Total   | 99 | 10680.1 |         |       |       |
| <b>S = 5.851    R-Sq = 74.04%    R-Sq(adj) = 68.27%</b> |    |         |         |       |       |

ภาพที่ ผ.1 ผลวิธีการทางสถิติ Two-way ANOVA ของการหาค่า F ที่เหมาะสม



ภาพที่ ผ.2 กราฟแสดงเวลาเฉลี่ยของค่า F แต่ละค่า

จากการที่ ผ.1 และ ผ.2 พบว่า ค่า F มีค่า P-Value = 0.249 ซึ่งมากกว่าค่า 0.05 ดังนั้นค่า F ไม่มีผลต่อความเร็วในการพบคำตอบที่ดีที่สุดที่ระดับความเชื่อมั่น 95 % จากกราฟในภาพที่ ผ.2 พบว่าค่า F ที่ 0.8 ใช้เวลาเฉลี่ยต่ำที่สุดผู้วิจัยจึงเลือกค่า F = 0.8 สำหรับงานวิจัยนี้

### การหาค่า Crossover rate (Cr) ที่เหมาะสม

ผู้วิจัยได้ทดลองหาค่า Cr ที่เหมาะสม โดยเปรียบเทียบผลคำตอบของวิธีการวิจัยในการโดยใช้ผลต่าง จากการใช้วิธี “DE/rand” ร่วมกับ Binomial Crossover ทดลองกับปัญหา 10 ปัญหา ที่มีร่องเวลาการผลิตของแต่ละปัญหาและมีจำนวนงานตั้งแต่ 70 - 297 งาน ซึ่งเป็นปัญหานำค่าใหญ่ และมีความซับซ้อนของปัญหามาก โดยกำหนดให้ค่า F = 0.8 และ NP = 50 ทดสอบค่า Cr จำนวน 10 ค่า โดยใช้โปรแกรม Bloodhed Dev-C++ 4.9.9.2. ซึ่งจากการทดลองพบว่าค่า Cr ที่ใช้ในการเปรียบเทียบสามารถพนิพันคำตอบที่ดีที่สุดเท่ากันทุกค่า ดังนั้นผู้วิจัยจึงเลือกพิจารณาเวลาที่พนิพันคำตอบที่ดีที่สุดของค่า Cr แต่ละค่า โดยใช้วิธีทางสถิติ Two-way ANOVA ดังตารางที่ ผ.2 ภาพที่ ผ.3 และ ผ.4

ตารางที่ ผ.2 ผลการทดลองหาค่า Crossover rate (Cr) ที่เหมาะสม

|     | Problem       |               |               |               |               |               |               |               |               |               |
|-----|---------------|---------------|---------------|---------------|---------------|---------------|---------------|---------------|---------------|---------------|
|     | Tonge         | Arcus 1       | Arcus 2       | Lutz 2        | Lutz 3        | Mukherjee     | Bartholdi 2   | Scholl        | Scholl        | Scholl        |
| Cr  | CT            |
|     | 176           | 5048          | 5755          | 11            | 75            | 176           | 84            | 1394          | 1422          | 1452          |
|     | Time<br>(sec) |
| 0.1 | 1.032         | 0.068         | 15.796        | 1.348         | 0.199         | 0.142         | 2.893         | 4.865         | 0.501         | 0.505         |
| 0.2 | 1.524         | 0.074         | 19.636        | 1.394         | 0.88          | 0.094         | 1.475         | 1.773         | 2.44          | 2.701         |
| 0.3 | 0.112         | 0.087         | 27.193        | 1.197         | 0.278         | 0.094         | 1.932         | 1.82          | 0.501         | 0.503         |
| 0.4 | 0.644         | 0.071         | 6.49          | 4.175         | 2.21          | 0.095         | 1.336         | 1.796         | 3.338         | 1.769         |
| 0.5 | 0.333         | 0.069         | 37.391        | 4.533         | 4.378         | 0.094         | 0.808         | 3.058         | 1.157         | 0.806         |
| 0.6 | 1.822         | 0.068         | 7.913         | 2.204         | 2.997         | 0.1           | 0.605         | 2.415         | 0.499         | 0.811         |
| 0.7 | 1.036         | 0.07          | 21.588        | 0.208         | 3.064         | 0.14          | 1.008         | 3.037         | 1.14          | 0.512         |
| 0.8 | 0.755         | 0.068         | 2.393         | 1.027         | 0.438         | 0.093         | 0.424         | 0.507         | 0.515         | 0.557         |
| 0.9 | 1.684         | 0.073         | 18.867        | 3.098         | 3.518         | 0.193         | 1.58          | 3.64          | 0.505         | 0.482         |
| 1   | 1.855         | 0.07          | 8.139         | 2.298         | 5,881         | 0.09          | 0.622         | 1.432         | 0.494         | 1.12          |

### การวิเคราะห์ผลการทดลองทางสถิติของค่า Cr

ผู้วิจัยได้ใช้โปรแกรมทางสถิติ Two-way ANOVA ที่ระดับนัยสำคัญ ( $\alpha$ ) = 0.05 ในการวิเคราะห์ข้อมูลจากตารางที่ ผ.2 ได้ดังภาพที่ ผ.3 และทำการพลีอตกราฟได้ดังภาพที่ ผ.4

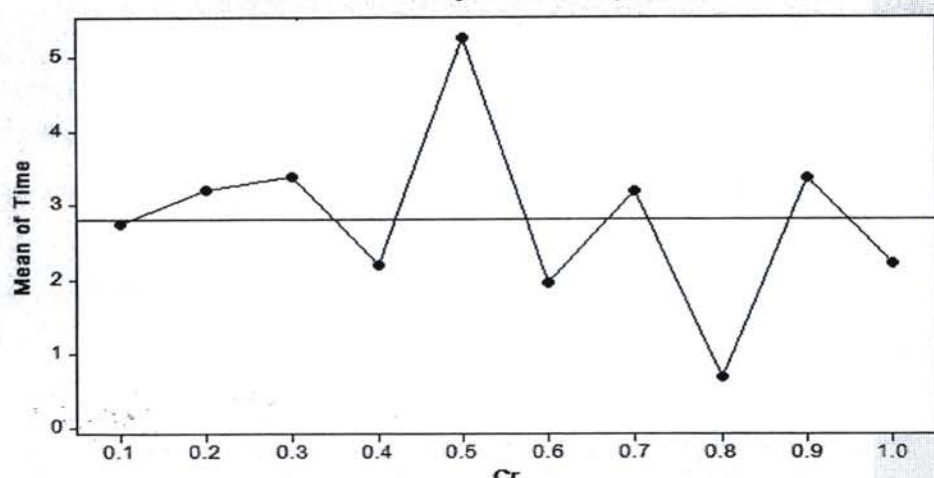
#### Two-way ANOVA: Time versus Cr, Problem

| Source  | DF | SS      | MS      | F     | P     |
|---------|----|---------|---------|-------|-------|
| Cr      | 9  | 129.69  | 14.410  | 1.17  | 0.323 |
| Problem | 9  | 2156.74 | 239.638 | 19.52 | 0.000 |
| Error   | 81 | 994.42  | 12.277  |       |       |
| Total   | 99 | 3280.85 |         |       |       |

$$S = 3.504 \quad R-Sq = 69.69\% \quad R-Sq(adj) = 62.95\%$$

ภาพที่ ผ.3 ผลวิธีการทางสถิติ Two-way ANOVA ของการหาค่า Cr ที่เหมาะสม

Main Effects Plot (data means) for Time



ภาพที่ ผ.4 กราฟแสดงเวลาเฉลี่ยของค่า Cr แต่ละค่า

จากภาพที่ ผ.3 และ ผ.4 พบร่วมกันว่า ค่า Cr มีค่า P-Value = 0.323 ซึ่งมากกว่าค่า 0.05 ดังนั้นค่า Cr ไม่มีผลต่อความเร็วในการพบคำตอบที่ดีที่สุดที่ระดับความเชื่อมั่น 95 % ดังนั้นจากกราฟในภาพที่ ผ.4 พบร่วมกันว่า ค่า Cr ที่ 0.8 ใช้เวลาเฉลี่ยต่ำที่สุดผู้วิจัยจึงเลือกค่า Cr = 0.8 สำหรับงานวิจัยนี้

### การหาค่า Number population ( Np ) ที่เหมาะสม

ผู้วิจัยได้ทดลองหาค่า Np ที่เหมาะสมโดยเปรียบเทียบผลคำตอบของวิธีการวิจัยนาการโดยใช้ผลต่าง จากการใช้วิธี “DE/rand” ร่วมกับ Binomial Crossover ทดลองกับปัญหา 10 ปัญหา ที่มีร่องเวลาการผลิตของแต่ละปัญหาและมีจำนวนงานตั้งแต่ 70 - 297 งาน ซึ่งเป็นปัญหานำมาให้กลุ่ม และมีความซับซ้อนของปัญหามาก โดยกำหนดให้ค่า  $F = 0.8$  และ  $C_r = 0.8$  ทดสอบค่า Np จำนวน 10 ค่า โดยใช้โปรแกรม Bloodhed Dev-C++ 4.9.9.2. ซึ่งจากการทดลองพบว่าค่า Np ที่ใช้ในการเปรียบเทียบสามารถพบรคำตอบที่ดีที่สุดเท่ากันทุกค่า ดังนั้นผู้วิจัยจึงเลือกพิจารณาเวลาที่พบรคำตอบที่ดีที่สุดของค่า Np แต่ละค่า โดยใช้วิธีการทางสถิติ Two-way ANOVA ดังตารางที่ ผ.3 ภาพที่ ผ.5 และ ผ.6

ตารางที่ ผ.3 ผลการทดลองหาค่า Number population ( Np ) ที่เหมาะสม

| Np            | Problem       |               |               |               |               |               |               |               |               |               |
|---------------|---------------|---------------|---------------|---------------|---------------|---------------|---------------|---------------|---------------|---------------|
|               | Tonge         | Arcus 1       | Arcus 2       | Lutz 2        | Lutz 3        | Mukherjee     | Bartholdi 2   | Scholl        | Scholl        | Scholl        |
|               | CT            |
| 176           | 5048          | 5755          | 11            | 75            | 176           | 84            | 1394          | 1422          | 1452          |               |
| Time<br>(sec) |
| 10            | 6.303         | 0.017         | 13.25         | 3.92          | 5.332         | 0.081         | 13.988        | 2.025         | 3.502         | 1.365         |
| 30            | 15.926        | 0.044         | 1.262         | 0.57          | 10.94         | 0.263         | 0.31          | 1.992         | 0.896         | 1.288         |
| 50            | 0.236         | 0.072         | 10.62         | 1.07          | 2.106         | 0.093         | 2.263         | 2.762         | 1.171         | 2.411         |
| 70            | 1.761         | 0.105         | 4.092         | 5.99          | 3.189         | 0.139         | 0.396         | 2.011         | 0.679         | 2.0           |
| 100           | 0.493         | 0.135         | 14.32         | 5.097         | 0.854         | 0.18          | 0.353         | 2.242         | 0.974         | 2.205         |
| 130           | 0.421         | 0.187         | 3.57          | 10.1          | 4.27          | 0.247         | 0.376         | 3.765         | 1.261         | 2.112         |
| 150           | 0.314         | 0.201         | 6.968         | 1.32          | 1.761         | 0.271         | 1.796         | 1.46          | 2.412         | 1.465         |
| 170           | 3.724         | 0.232         | 1.4           | 5.73          | 0.257         | 0.322         | 2.585         | 1.617         | 2.758         | 1.632         |
| 200           | 0.435         | 0.28          | 5.306         | 3.54          | 0.491         | 0.369         | 3.201         | 1.954         | 3.122         | 1.95          |
| 230           | 2.32          | 0.341         | 17.66         | 10.3          | 0.53          | 0.41          | 2.728         | 2.217         | 2.216         | 2.169         |

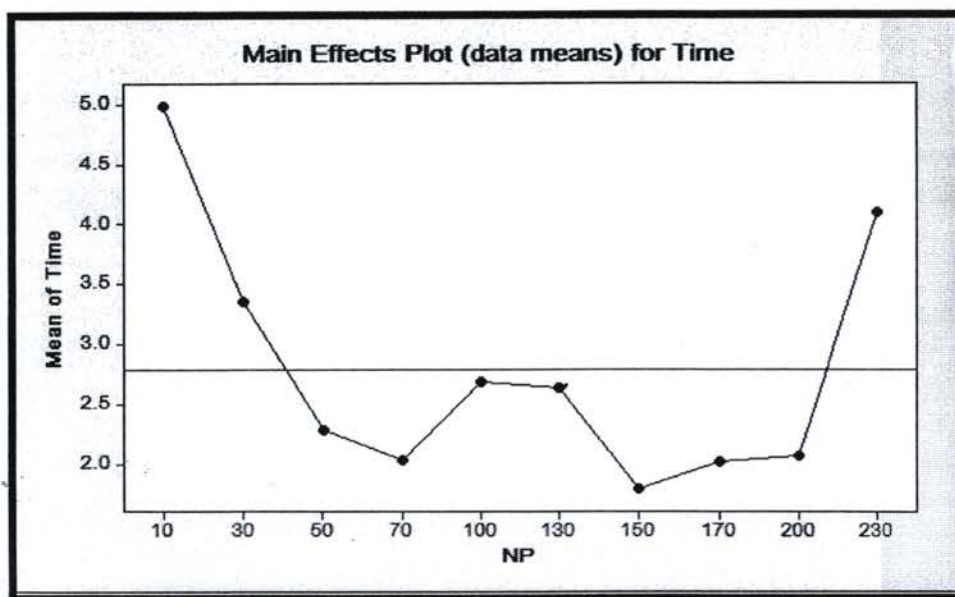
### การวิเคราะห์ผลการทดลองทางสถิติของค่า Np

ผู้วิจัยได้ใช้โปรแกรมทางสถิติ Two-way ANOVA ที่ระดับนัยสำคัญ ( $\alpha$ ) = 0.05 ในการวิเคราะห์ข้อมูลจากตารางที่ ผ.3 ได้ดังภาพที่ ผ.5 และทำการพลีอตกราฟได้ดังภาพที่ ผ.6

| <b>Two-way ANOVA: Time versus NP, Problem</b> |    |         |         |      |       |
|---|----|---------|---------|------|-------|
| Source  | DF | SS      | MS      | F    | P     |
| NP  | 9  | 97.52   | 10.8359 | 1.12 | 0.361 |
| Problem                                       | 9  | 450.65  | 50.0727 | 5.16 | 0.000 |
| Error   | 81 | 785.82  | 9.7015  |      |       |
| Total   | 99 | 1334.00 |         |      |       |

$S = 3.115 \quad R-Sq = 41.09\% \quad R-Sq(adj) = 28.00\%$

ภาพที่ ผ.5 ผลวิธีการทางสถิติ Two-way ANOVA ของการหาค่า Np ที่เหมาะสม



ภาพที่ ผ.6 กราฟแสดงเวลาเฉลี่ยของค่า Np แต่ละค่า

จากการที่ ผ.5 และ ผ.6 พบว่า ค่า Np มีค่า P-Value = 0.361 ซึ่งมากกว่าค่า 0.05 ดังนั้น ค่า Np ไม่มีผลต่อความเร็วในการพนค่าตอบที่ดีที่สุดที่ระดับความเชื่อมั่น 95 % ดังนี้จากการใน ภาพที่ ผ.4 พบว่าค่า Np ที่ 150 ใช้เวลาเฉลี่ยต่ำที่สุดผู้วิจัยเลือกค่า Np = 150 สำหรับงานวิจัยนี้

## ประวัติผู้วิจัย

|                  |  |
|------------------|--|
| ชื่อ             | นายกานุกันต์ ภาระเวช   |
| วัน/เดือน/ปีเกิด | 28 มีนาคม พ.ศ. 2528  |
| ประวัติการศึกษา  | พ.ศ. 2550 วิศวกรรมศาสตรบัณฑิต <sup>1</sup><br>สาขาวิศวกรรมเคมีสิ่งทอ <sup>2</sup><br>มหาวิทยาลัยเทคโนโลยีราชมงคลธัญบุรี <sup>3</sup>   |
| ประวัติการทำงาน  | 23 กรกฎาคม พ.ศ. 2550 ถึง 31 สิงหาคม 2552 <sup>4</sup><br>บริษัท นิวเวลค์อินเตอร์เนชั่นแนล ดำเนินงานปูใหม่ <sup>5</sup><br>อำเภอเมือง จังหวัดสมุทรปราการ <sup>6</sup><br>ตุลาคม พ.ศ. 2552 ถึง 1 ตุลาคม พ.ศ. 2555 <sup>7</sup><br>บริษัท เวอร์เทกซ์แอพอเรล ดำเนินงานผึ้ง <sup>8</sup><br>อำเภอวารินชำราบ จังหวัดอุบลราชธานี <sup>9</sup> |